

بِسْمِ اللّٰهِ الرَّحْمٰنِ الرَّحِيْمِ



## دانشکده مهندسی عمران و معماری

پایان نامه

بررسی عددی و آزمایشگاهی تأثیر شکل لبه دریچه بر هوادهی و توزیع غلظت

هوا در پایین دست دریچه های تحتانی

دانشجو:

حمید رضا نونهال

استاد راهنمای اول :

آقای دکتر احمد احمدی

استاد راهنمای دوم :

آقای دکتر محمدرضا کاویانپور

استاد مشاور:

آقای مهندس رضا روشن

پایان نامه جهت اخذ درجه کارشناسی ارشد عمران- سازه های هیدرولیکی

تیر سال ۱۳۹۱

تصویب نامه

تقدیم اثر:

## تقدیم به خانواده عزیزم

## تشکر و قدردانی

از زحمات اساتید راهنمای محترم آقایان دکتر احمدی و دکتر کاویانپور کمال تشکر را دارم و همچنین از اعضای مرکز تحقیقات آب ایران به ویژه آقایان مهندس روشن و مهندس مقصومی که اینجانب را در انجام آزمایشات راهنمایی نمودند تشکر و قدردانی می نمایم.  
و نیز از دوست عزیزم مهندس محمدجواد منظّمی بسیار سپاسگزارم که همواره از کمک هایش استفاده کرده ام.

## تعهد نامه

اینجانب حمید رضا نونهال دانشجوی دوره کارشناسی ارشد رشته عمران - هیدرولیک دانشکده عمران و معماری دانشگاه صنعتی شاهرود نویسنده پایان نامه بررسی عددی و آزمایشگاهی تاثیر شکل لبه دریچه بر هوادهی و توزیع غلظت هوا در پایین دست دریچه های تحتانی تحت راهنمایی دکتر احمد احمدی به عنوان استاد راهنمای اول و دکتر محمدرضا کاویان پور به عنوان استاد راهنمای دوم متعهد می شوند:

- تحقیقات در این پایان نامه / رساله توسط اینجانب انجام شده و از صحت و اصالت برخوردار است.
- در استفاده از نتایج پژوهشی محققان دیگر به مرجع مورد استفاده استناد شده است.
- مطالب مندرج در پایان نامه / رساله تا کنون توسط خود یا فرد دیگری برای دریافت هیچ نوع مدرکی یا امتیازی در هیچ جا ارائه نشده است.
- کلیه حقوق معنوی این اثر متعلق به دانشگاه صنعتی شاهرود می باشد و مقالات مستخرج با نام <>دانشگاه صنعتی شاهرود<> و یا <>shahrood university of technology<> به چاپ خواهد رسید.
- حقوق معنوی تمام افراد که در به دست آوردن نتایج اصلی پایان نامه / رساله تاثیر گذار بوده اند در مقالات مستخرج از پایان نامه / رساله رعایت شده است.
- در کلیه مراحل انجام این پایان نامه / رساله ، در مواردی که از موجود زنده (یا بافت‌های آنها) استفاده شده است ضوابط و اصول اخلاقی رعایت شده است.
- در کلیه مراحل انجام این پایان نامه / رساله ، در مواردی که به حوزه اطلاعات شخصی افراد دسترسی یافته با استفاده شده است اصل رازداری ، ضوابط و اصول اخلاقی انسانی رعایت شده است.

تاریخ:  
امضای دانشجو

### مالکیت نتایج و حق و نشر

- کلیه حقوق معنوی این اثر و محصولات آن (مقالات مستخرج ، کتاب، برنامه های رایانه ای، نرم افزارها و تجهیزات ساخته شده است) متعلق به دانشگاه صنعتی شاهرود می باشد. این مطلب باید به نحوی مقتضی در تولیدات علمی مربوطه ذکر شود.
- استفاده از اطلاعات و نتایج موجود در پایان نامه / رساله بدون ذکر مرجع مجاز نمی باشد.

\* متن این صفحه نیز باید در ابتدای نسخه های تکثیر شده پایان نامه / رساله وجود داشته باشد.

## چکیده :

با توجه به اهمیت خاصی که سد ها در صنعت آب دارند، کارایی و عملکرد قسمت های مختلف آن نیز باید مورد توجه قرار گیرد. یکی از قسمت های اصلی سدها تخلیه کننده ها و دریچه های تحتانی می باشند. در این سازه ها به علت بالا بودن هد آب، سرعت جريان آب خروجی در هنگام عملکرد یا باز شدن دریچه ها بسیار زیاد بوده و در نتیجه رخداد پدیده کاویتاسیون بسیار محتمل می باشد. برای جلوگیری از خسارات ناشی این پدیده استفاده از هواده برای ورود هوا به درون جريان پس از دریچه راهکاری متداول می باشد. با افزایش غلظت هوا در جريان پس از دریچه از شدت خسارات ناشی از این پدیده کاسته می شود. در این تحقیق به بررسی شکل لبه دریچه تحتانی پرداخته شده است و هدف از آن بررسی تأثیر زاویه لبه دریچه بر میزان غلظت هوا در جريان پس از دریچه و مقدار هوای ورودی از هواده می باشد.

برای مطالعات آزمایشگاهی از مدل سد ژاوه در آزمایشگاه موسسه تحقیقات آب ایران استفاده گردیده است و نتایج حاصل از آن برای قسمت های مختلف دریچه تحتانی در بازشدنی ها و هدهای مختلف بدست آمده است. پس از بدست آوردن نتایج مدل آزمایشگاهی اقدام به ساخت مدل عددی توسط نرم افزار FLUENT شده است. برای مدل سازی جريان دو فازی آب و هوا از روش MIXTURE و برای مدل سازی آشفتگی از مدل RSM استفاده گردیده است. نتایج حاصله از نرم افزار با نتایج آزمایشگاهی بررسی گردیده و خطای این دو روش با یکدیگر اندازه گرفته شده است. سپس با استفاده از نرم افزار FLUENT زاویه های مختلف دیگری برای لبه دریچه مدل سازی شده و مورد مطالعه قرار گرفته و نتایج آن ها با یکدیگر مقایسه شده است.

بررسی صورت گرفته در این تحقیق بر روی زاویه لبه دریچه تحتانی حاکی از آن است که افزایش زاویه لبه دریچه بر میزان غلظت هوا تأثیرات چشمگیری گذاشته است. این تأثیر برای بازشدنی های مختلف دارای روند متفاوت می باشد. با افزایش زاویه لبه دریچه و جهت ثابت ماندن دبی ورودی، هد

آب در مخزن افزایش یافته که این موضوع نشان دهنده آن است که دبی خروجی با افزایش زاویه لبه دریچه کاهش پیدا کرده است. همچنین مشاهده شد که سرعت هوا در هواده برای زاویه های مختلف دارای تغییرات متفاوتی می باشد.

کلمات کلیدی: جریان دوفازی، دریچه تحتانی، شکل لبه دریچه، غلظت هوا در جریان، هواده‌ی

لیست مقالات مستخرج از پایان نامه :

---

1. Numerical and experimental investigation of the effect of gate lip on flow domain downstream of outlet gates -IAHR-APD- South Korea- 2012, August
2. Numerical and experimental study of the gate lip effect on flow aeration downstream of outlet gate- 6<sup>th</sup> International symposium on advances in science and technology-Malaysia- 2012,March

چکنده :	
۱	- فصل اول
۲	۱-۱- مقدمه
۳	۲-۱- اهداف تحقیق
۴	۳-۱- ساختار پایه نامه
۶	۲- فصل دوم : مباری تخلیه کننده تحتاری
۶	۱-۲- اصول طراحی
۷	۲-۲- کاویتاسیون
۸	۳-۲- راهکارهای کنترل کاویتاسیون
۱۰	۴-۲- بررسی نحوه ورود هوا به جریان در مجاری
۱۰	۱-۴-۲- هواگیری طبیعی
۱۳	۲-۴-۲- هواگیری طبیعی در مجاری بسته
۱۶	۳-۴-۲- هواگیری مصنوعی در مجاری بسته
۲۱	۵-۲- تحلیل جریان دو فازی
۲۷	۳- فصل سوم : معرفی مدل آزمایشگاهی
۲۷	۱-۳- اصول طراحی
۳۴	۲-۳- ابزارهای اندازه‌گیری
۳۶	۳-۳- خطاهای اندازه‌گیری در مدل
۳۷	۴-۳- انجام آزمایش
۳۹	۵-۳- ارائه نتایج مدل فیزیکی
۵۳	۴- فصل چهارم : معرفی و کالibrه نمودن مدل عددی
۵۳	۱-۴- مقدمه
۵۴	۲-۴- معادلات حاکم:
۵۸	۳-۴- مدل عددی Fluent
۶۰	۱-۳-۴- پدیدههای انتقال و پخش
۶۲	۲-۳-۴- حل میدان جریان
۶۴	۳-۳-۴- مدلسازی جریان چندفاری
۶۴	۴-۳-۴- روشهاي مدل سازی چند فازی
۶۹	۴-۴- تحلیل اولیه و کالibrاسیون مدل
۷۵	۴-۵- شرایط مدل سازی عددی در نرم افزار
۹۰	۵- فصل پنجم : ارائه و تفسیه نتایج

۹۰	۱-۵	- مقدمه
۹۰	۲-۵	- ارائه نتایج
۱۰۹	۳-۵	- ارائه نتایج سرعت هوا در هواده
۱۱۵	۶	- فصل ششم : جمع بندی و پیشنهادات
۱۱۵	۱-۶	- مقدمه
۱۱۶	۲-۶	- جمع بندی و نتایج گیوی
۱۱۷	۳-۶	- پیشنهادات :
۱۱۹	۷	- مراجع

---

..... ۳	..... شکل ۱-۱: نمای شماتیک دریچه تحتاری و زاویه زیع آن
..... ۱۰	..... شکل ۱-۲: سرعت بحرانی برای ورود هوا در یک جت مدور (ERVIN 1980)
..... ۱۲	..... شکل ۲-۲: نیروهای وارد بر حباب هوا
..... ۱۴	..... شکل ۳-۲: مدل و پارامترهای مورد استفاده در مطالعه تجربی هواده ها در مجاری بسته آزاد (سرریز SIROKA [10])
..... ۱۵	..... شکل ۴-۲: منحنی های تجربی تعیین میزان هوای جریان یافته در هواده
..... ۱۸	..... شکل ۵-۲: هواده هی جریان در تخلیه کننده های تحتانی
..... ۱۹	..... شکل ۶-۲: مقادیر ماکریم اولیه و ثانویه ورود هوا در تاسیسات خروجی تنظیم کننده
..... ۲۸	..... شکل ۷-۳: نمایی از مخزن تامین هد مدل
..... ۲۸	..... شکل ۸-۳: نمایی از دهانه زنگوله ای
..... ۲۹	..... شکل ۹-۳: نمایی از ورودی دهانه زنگوله ای
..... ۲۹	..... شکل ۱۰-۳: نمایی از فلانج ها و اتصالات مدل
..... ۳۵	..... شکل ۱۱-۳: نمایی از مانومتر قائم متصل به مخزن برای اندازه گیری ارتفاع آب مخزن
..... ۳۵	..... شکل ۱۲-۳: نمایی از یک دستگاه HOT WIRE جهت اندازه گیری سرعت هوا
..... ۳۹	..... شکل ۱۳-۳: نمایی قرار گیری پیغومترهای اندازه گیری فشار در مجرای تخلیه کننده تحتاری
..... ۴۰	..... شکل ۱۴-۳: مقادی فشار پیغومتریک اندازه گیری شده در مدل با هد ۲ متر در پیغومترهای ۱۷ الی ۲۷
..... ۴۰	..... شکل ۱۵-۳: مقادی فشار پیغومتریک اندازه گیری شده در مدل با هد ۲ متر در پیغومترهای ۳۲ الی ۳۹
..... ۴۱	..... شکل ۱۶-۳: مقادی فشار پیغومتریک اندازه گیری شده در مدل با هد ۲ متر در پیغومترهای ۴۰ الی ۴۹
..... ۴۱	..... شکل ۱۷-۳: مقادی فشار پیغومتریک اندازه گیری شده در مدل با هد ۲ متر در پیغومترهای ۵۰ الی ۶۰
..... ۴۲	..... شکل ۱۸-۳: مقادی فشار پیغومتریک اندازه گیری شده در مدل با هد ۳ متر در پیغومترهای ۱۷ الی ۲۷
..... ۴۲	..... شکل ۱۹-۳: مقادی فشار پیغومتریک اندازه گیری شده در مدل با هد ۳ متر در پیغومترهای ۳۲ الی ۳۹
..... ۴۳	..... شکل ۲۰-۳: مقادی فشار پیغومتریک اندازه گیری شده در مدل با هد ۳ متر در پیغومترهای ۴۰ الی ۴۹
..... ۴۳	..... شکل ۲۱-۳: مقادی فشار پیغومتریک اندازه گیری شده در مدل با هد ۳ متر در پیغومترهای ۵۰ الی ۶۰
..... ۴۴	..... شکل ۲۲-۳: مقادی فشار پیغومتریک اندازه گیری شده در مدل با هد ۴ متر در پیغومترهای ۱۷ الی ۲۷
..... ۴۴	..... شکل ۲۳-۳: مقادی فشار پیغومتریک اندازه گیری شده در مدل با هد ۴ متر در پیغومترهای ۳۲ الی ۳۹
..... ۴۵	..... شکل ۲۴-۳: مقادی فشار پیغومتریک اندازه گیری شده در مدل با هد ۴ متر در پیغومترهای ۴۰ الی ۴۹
..... ۴۵	..... شکل ۲۵-۳: مقادی فشار پیغومتریک اندازه گیری شده در مدل با هد ۴ متر در پیغومترهای ۵۰ الی ۶۰
..... ۴۶	..... شکل ۲۶-۳: مقادی فشار پیغومتریک اندازه گیری شده در مدل با هد ۵ متر در پیغومترهای ۱۷ الی ۲۷
..... ۴۶	..... شکل ۲۷-۳: مقادی فشار پیغومتریک اندازه گیری شده در مدل با هد ۵ متر در پیغومترهای ۳۲ الی ۳۹
..... ۴۷	..... شکل ۲۸-۳: مقادی فشار پیغومتریک اندازه گیری شده در مدل با هد ۵ متر در پیغومترهای ۴۰ الی ۴۹

شکل ۲۹-۳: مقادی فشار پیزومتریک اندازه گیری شده در مدل با هد ۵ متر در پیزومتر های ۵۰ الی ۶۰	۴۷
شکل ۳۰-۳: نمایی سریز مستطیلی مورد استفاده جهت اندازه گیری دی جریان	۴۹
شکل ۳۱: تغییرات $\Phi$ نسبت به X بر حسب اعداد مختلف	۶۱
شکل ۳۲: حجم کنترل در حالت یک بعدی	۶۲
شکل ۳۳: مش بندی مدل بالمان سه وجهی	۷۰
شکل ۳۴: نمای مش بندی مدل تخلیه کننده و توول بالمان سه وجهی	۷۱
شکل ۳۵: مقایسه فشار در مدل شماره ۱ و مدل شماره ۲	۷۲
شکل ۳۶: نمایی از مشبندی مدل ۱	۷۲
شکل ۳۷: نمایی از مشبندی مدل ۲	۷۳
شکل ۳۸: نمایی از مشبندی مدل ۳	۷۳
شکل ۳۹: مقایسه فشار در مدل شماره ۲ و مدل شماره ۳	۷۴
شکل ۴۰: مقایسه نتایج فشار پیزومتریک تحلیل میدان فشار مدل EXPERIMENTAL و مدل عددی بر اساس روش SIMPLE	۷۹
شکل ۴۱: مقایسه نتایج فشار پیزومتریک تحلیل میدان فشار مدل EXPERIMENTAL و مدل عددی بر اساس روش PISO	۷۹
شکل ۴۲: مقایسه نتایج فشار پیزومتریک مدل عددی و آزمایشگاهی در پیزومترهای ۱۷ الی ۲۵ و بازشدگی ...٪۵۰	۸۱
شکل ۴۳: مقایسه نتایج فشار پیزومتریک مدل عددی و آزمایشگاهی در پیزومترهای ۳۲ الی ۳۸ و بازشدگی ...٪۵۰	۸۲
شکل ۴۴: مقایسه نتایج فشار پیزومتریک مدل عددی و آزمایشگاهی در پیزومترهای ۵۰ الی ۵۶ و بازشدگی ...٪۵۰	۸۲
شکل ۴۵: مقایسه نتایج فشار پیزومتریک مدل عددی و آزمایشگاهی در پیزومترهای ۶۳ الی ۶۶ و بازشدگی ...٪۵۰	۸۲
شکل ۴۶: مقایسه نتایج فشار پیزومتریک مدل عددی و آزمایشگاهی در پیزومترهای ۴۹ الی ۴۹ و بازشدگی ...٪۵۰	۸۳
شکل ۴۷: مقایسه نتایج فشار پیزومتریک مدل عددی و آزمایشگاهی در پیزومترهای ۱۷ الی ۲۵ و بازشدگی ...٪۷۰	۸۴
شکل ۴۸: مقایسه نتایج فشار پیزومتریک مدل عددی و آزمایشگاهی در پیزومترهای ۳۲ الی ۳۸ و بازشدگی ...٪۷۰	۸۵
شکل ۴۹: مقایسه نتایج فشار پیزومتریک مدل عددی و آزمایشگاهی در پیزومترهای ۴۹ الی ۴۹ و بازشدگی ...٪۷۰	۸۵
شکل ۵۰: مقایسه نتایج فشار پیزومتریک مدل عددی و آزمایشگاهی در پیزومترهای ۵۰ الی ۵۶ و بازشدگی ...٪۷۰	۸۵
شکل ۵۱: مقایسه نتایج فشار پیزومتریک مدل عددی و آزمایشگاهی در پیزومترهای ۶۳ الی ۶۶ و بازشدگی ...٪۷۰	۸۶
شکل ۵۲: مقایسه نتایج فشار پیزومتریک مدل عددی و آزمایشگاهی در پیزومترهای ۱۷ الی ۲۷ و بازشدگی ...٪۹۰	۸۷
شکل ۵۳: مقایسه نتایج فشار پیزومتریک مدل عددی و آزمایشگاهی در پیزومترهای ۳۲ الی ۳۸ و بازشدگی ...٪۹۰	۸۷
شکل ۵۴: مقایسه نتایج فشار پیزومتریک مدل عددی و آزمایشگاهی در پیزومترهای ۴۹ الی ۴۹ و بازشدگی ...٪۹۰	۸۷
شکل ۵۵: مقایسه نتایج فشار پیزومتریک مدل عددی و آزمایشگاهی در پیزومترهای ۵۰ الی ۵۶ و بازشدگی ...٪۹۰	۸۸
شکل ۵۶: مقایسه نتایج فشار پیزومتریک مدل عددی و آزمایشگاهی در پیزومترهای ۶۳ الی ۶۶ و بازشدگی ...٪۹۰	۸۸
شکل ۵۷: نمودار تغییرات غلظت در عمق در بازشدگی ...٪۹۰ و فاصله X=2.5CM	۹۱
شکل ۵۸: نمودار بزرگنمایی شده تغییرات غلظت در عمق در بازشدگی ...٪۹۰ و فاصله X=2.5CM	۹۱
شکل ۵۹: نمودار تغییرات غلظت در عمق در بازشدگی ...٪۹۰ و فاصله X=6.5CM	۹۲
شکل ۶۰: نمودار بزرگنمایی شده تغییرات غلظت در عمق در بازشدگی ...٪۹۰ و فاصله X=6.5CM	۹۲
شکل ۶۱: نمودار تغییرات غلظت در عمق در بازشدگی ...٪۹۰ و فاصله X=19.85CM	۹۳
شکل ۶۲: نمودار بزرگنمایی شده تغییرات غلظت در عمق در بازشدگی ...٪۹۰ و فاصله X=19.85CM	۹۳
شکل ۶۳: نمودار تغییرات غلظت در عمق در بازشدگی ...٪۷۰ و فاصله X=2.5CM	۹۴
شکل ۶۴: نمودار بزرگنمایی شده تغییرات غلظت در عمق در بازشدگی ...٪۷۰ و فاصله X=2.5CM	۹۵

- شکل ۹-۵: نمودار تغییرات غلظت در عمق در بازشدگی ۷۰٪ و فاصله  $X=6.5\text{CM}$  ..... ۹۶
- شکل ۱۰-۵: نمودار بزرگنمایی شده تغییرات غلظت در عمق در بازشدگی ۷۰٪ و فاصله  $X=6.5\text{CM}$  ..... ۹۶
- شکل ۱۱-۵: نمودار تغییرات غلظت در عمق در بازشدگی ۷۰٪ و فاصله  $X=19.85\text{CM}$  ..... ۹۶
- شکل ۱۲-۵: نمودار بزرگنمایی شده تغییرات غلظت در عمق در بازشدگی ۷۰٪ و فاصله  $X=19.85\text{CM}$  ..... ۹۷
- شکل ۱۳-۵: نمودار تغییرات غلظت در عمق در بازشدگی ۵۰٪ و فاصله  $X=2.5\text{CM}$  ..... ۹۸
- شکل ۱۴-۵: نمودار بزرگنمایی شده تغییرات غلظت در عمق در بازشدگی ۵۰٪ و فاصله  $X=2.5\text{CM}$  ..... ۹۸
- شکل ۱۵-۵: نمودار تغییرات غلظت در عمق در بازشدگی ۵۰٪ و فاصله  $X=6.5\text{CM}$  ..... ۹۹
- شکل ۱۶-۵: نمودار تغییرات غلظت در عمق در بازشدگی ۵۰٪ و فاصله  $X=6.5\text{CM}$  ..... ۹۹
- شکل ۱۷-۵: نمودار تغییرات غلظت در عمق در بازشدگی ۵۰٪ و فاصله  $X=19.85\text{CM}$  ..... ۹۹
- شکل ۱۸-۵: نمودار تغییرات غلظت در عمق در بازشدگی ۵۰٪ و فاصله  $X=19.85\text{CM}$  ..... ۱۰۰
- شکل ۱۹-۵: نمودار تغییرات عمق نسی آب در طول مجرأ در بازشدگی ..... ۱۰۲
- شکل ۲۰-۵: نمودار تغییرات عمق نسی هوا در طول مجرأ در بازشدگی ..... ۱۰۲
- شکل ۲۱-۵: نمودار تغییرات عمق نسی آب در طول مجرأ در بازشدگی ..... ۱۰۳
- شکل ۲۲-۵: نمودار تغییرات عمق نسی هوا در طول مجرأ در بازشدگی ..... ۱۰۴
- شکل ۲۳-۵: نمودار تغییرات عمق نسی آب در طول مجرأ در بازشدگی ..... ۱۰۵
- شکل ۲۴-۵: نمودار تغییرات عمق نسی هوا در طول مجرأ در بازشدگی ..... ۱۰۵
- شکل ۲۵-۵: نمودار سرعت عمودی جريان آب در بازشدگی ..... ۱۰۶
- شکل ۲۶-۵: نمودار تغییرات عمق نسی هوا در طول مجرأ در بازشدگی ..... ۱۰۷
- شکل ۲۷-۵: نمودار سرعت عمودی جريان آب در بازشدگی ..... ۱۰۷
- شکل ۲۸-۵: نمودار تغییرات عمق نسی هوا در طول مجرأ در بازشدگی ..... ۱۰۸
- شکل ۲۹-۵: تغییرات عمق معادل آب با زاویه لبه دریچه در بازشدگی های مختلف ..... ۱۰۸
- شکل ۳۰-۵: تغییرات عمق معادل هوا با زاویه لبه دریچه در بازشدگی های مختلف ..... ۱۰۹
- شکل ۳۱-۵: تغییرات دبی هوا در هواده با هد و بازشدگی دریچه ..... ۱۱۱
- شکل ۳۲-۵: نتایج عددی تغییرات دبی هوا در هواده دریچه تحتانی با بازشدگی و هد ..... ۱۱۲
- شکل ۳۳-۵: تغییرات دبی هوا در هواده با بازشدگی و زاویه های مشخص شده ..... ۱۱۳

جدول ۱-۲: الگوی پیشنهادی کنترل کاویتاسیون	۸
جدول ۱-۳: مقادی اندازه گیری شده سرعت هوا در هدها و بازشدگی مختلف درجه تحتانی	۴۸
جدول ۲-۳: تغییرات دبی اندازه گیری شده در هدها و بازشدگی مختلف درجه تحتانی	۵۰
جدول ۲-۴: نتایج فشار در مدل شماره ۱ و مدل شماره ۲	۷۱
جدول ۲-۴: نتایج فشار در مدل شماره ۲ و مدل شماره ۳	۷۴
جدول ۳-۴: مقایسه نتایج روش های SIMPLE و PISO در تحلیل میدان	۷۸
جدول ۴-۴: مقایسه نتایج مدل عددی و آزمایشگاهی در بازشدگی ۵۰٪ درجه و هد ۲ متر بالبه ۲۲/۵ درجه	۸۱
جدول ۴-۵: مقایسه نتایج مدل عددی و آزمایشگاهی در بازشدگی ۷۰٪ درجه و هد ۲ متر بالبه ۲۲/۵ درجه	۸۴
جدول ۴-۶: مقایسه نتایج مدل عددی و آزمایشگاهی در بازشدگی ۹۰٪ درجه و هد ۲ متر بالبه ۲۲/۵ درجه	۸۶
جدول ۱-۵: تغییرات نفوذ هوا در داخل آب در بازشدگی و زاویه لبه درجه مختلف	۱۰۰
جدول ۲-۵: تغییرات عمق نسبی آب و هوا در طول مجرأ در بازشدگی ۹۰٪	۱۰۲
جدول ۳-۵: تغییرات عمق نسبی آب و هوا در طول مجرأ در بازشدگی ۷۰٪	۱۰۳
جدول ۴-۵: تغییرات عمق نسبی آب و هوا در طول مجرأ در بازشدگی ۵۰٪	۱۰۴
جدول ۵-۵: تغییرات سرعت و دبی هوا در هواده های تخلیه کننده تحتانی در هد و بازشدگی های مختلف	۱۱۰
جدول ۵-۶: تغییرات دبی هوا در هواده درجه تحتانی با بازشدگی و هد	۱۱۱
جدول ۵-۷: تغییرات دبی هوا در هواده درجه تحتانی با بازشدگی و زاویه های مشخص شده	۱۱۲

# فصل اول

## ۱ - فصل اول

### ۱ + مقدمه

رشد روز افزون جامعه بشری نیاز انسانها را به منابع آبی و استفاده بیشتر از این مایع حیاتی بیشتر و بیشتر کرده است. پیشرفت تکنولوژی و علوم مهندسی مرتبط با آب تا حدی عطش این نیاز را به حالت کنترل درآورده و هر روزه انسانها را در ساخت سازه‌هایی عظیم‌تر و پیچیده‌تر یاری می‌کند. سدها که یکی از عظیم‌ترین سازه‌های ساخت دست بشر می‌باشند، از اهمیت بالایی برخوردارند. کارابی مناسب، ایمنی بالا، اقتصادی بودن طرح از جمله عواملی می‌باشند که یک سد باید دارا باشد.

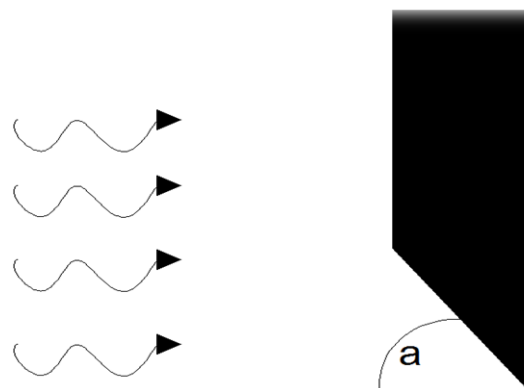
کوچکترین کوتاهی در زمینه‌ی طراحی و اجرای آن باعث بوجود آمدن ضررها غیر قابل جبران می‌گردد. به علت هزینه بالای ساخت این سازه‌ها و اهمیت ایمنی آنها، بایستی مطالعات، آزمایشات و مدلسازی دقیقی قبل از ساخت سازه واقعی انجام شود.<sup>[1]</sup>

امروزه برای پیش‌بینی پدیده‌های مختلفی که بر روی این سازه‌ها اتفاق می‌افتد از دو روش مدلسازی آزمایشگاهی و مدلسازی عددی استفاده می‌گردد. روش‌های آزمایشگاهی با ساخت مدل هیدرولیکی و انجام آزمایشات و اندازه‌گیری های مختلف برای بدست آوردن پارامترهای مورد نیاز و مشخصات هیدرولیکی همراه است. گرچه این روش با توجه به زمان ساخت، هزینه بالای ساخت و بهره‌برداری و خطاهای ناشی از مدلسازی، دارای معایبی است ولی این روش همچنان در طراحی و اجرای پروژه‌ها کاربرد فراوانی دارد. شناخت قوانین حاکم بر حرکت سیال، به کارگیری ریاضیات پیشرفته، تکنیک‌های محاسباتی و کامپیوترهای قدرتمند امروزی، پایه‌ی روش دوم می‌باشد. علیرغم دقت بسیار خوب و هزینه‌ی نسبتاً پایین شبیه‌سازی، اطمینان از صحت نتایج همواره بایستی به اتكای نتایج آزمایشگاهی

و واقعی انجام پذیرد. این موضوع برای همه جریانهای هیدرولیکی بسیار پیچیده و غیر قابل پیش‌بینی از اهمیت بیشتری برخوردار می‌باشد.[2]

## ۱ ۲ - اهداف تحقیق

یکی از قسمت‌های مهم سدها، تخلیه کننده‌های تحتانی می‌باشند که شامل تونل انتقال آب، دریچه سرویس و اضطراری و داکت هوادهی می‌باشند. به علت هد بسیار بالای آب پشت این دریچه‌ها، سرعت خروج آب از آنها نیز بالا بوده و در نتیجه وقوع پدیده کاویتاسیون در آنها به شدت محتمل است. کاویتاسیون صدمات بسیار شدیدی به سازه هیدرولیکی وارد می‌سازد که یکی از راهکارهای مقابله با صدمات حاصل از آن، استفاده از هوادهی جریان آب در قسمت با احتمال رخداد زیاد پدیده می‌باشد که در این خصوص به طور مفصل در فصول بعدی توضیح داده شده است . در مطالعات Speerli and Hager (2000) در هدهای مختلف و همچنین بازشدگی مختلف انجام گرفته است. [3] در این پایان نامه تأثیر زاویه لبه دریچه مطابق شکل بر میزان هوادهی و غلظت و مشخصات جریان در پایین دست دریچه مورد بررسی قرار می‌گیرد.



شکل ۱-۱ : نمای شماتیک دریچه تحتانی و زاویه لبه زیرین آن

به علت آنکه شکل لبه دریچه بر پروفیل جریان بعد از آن تأثیر می گذارد، به نظر می رسد این تأثیر بر میزان هوادهی و غلظت جریان نیز تأثیرات خاصی داشته باشد. لذا در این پایان نامه ابتدا از یک مدل فیزیکی تخلیه کننده تحتانی موجود در آزمایشگاه مؤسسه تحقیقات آب ایران استفاده و پس از انجام تست های مختلف و ثبت نتایج مورد نیاز از آن، اقدام به مدل سازی عددی و بررسی تغییرات لازم با استفاده از نرم افزار FLUENT شد. با استفاده از نتایج مدل فیزیکی، مدل عددی کالیبره و مورد حساسیت سنجی قرار گرفت. سپس شکل مختلف لبه دریچه در مدل عددی مورد بررسی قرار گرفت. با استفاده از نتایج مدل عددی برای لبه دریچه و همچنین بازشدگی مختلف، تأثیر شکل لبه دریچه بر مقدار هوادهی و غلظت جریان در پایین دست آن مورد ارزیابی و جمع بندی قرار گرفت.

### ۱ ۳ - ساختار پایان نامه

در این پایان نامه پس از مقدمه حاضر، اصول طراحی تخلیه کننده های تحتانی، پدیده کاویتاسیون و روش های مقابله با آن مورد بررسی قرار گرفته است. در فصل سوم مدل سازی فیزیکی و معرفی مدل ارائه شده است و در فصل چهارم معرفی مدل عددی و در فصل پنجم ارائه و تفسیر نتایج صورت گرفته است. در فصل پایانی ششم نیز جمع بندی و پیشنهادات لازم جهت ادامه کار ارائه شده است.

# فصل دوم

## ۲ - فصل دوم : مبانی تخلیه کننده تحتانی

### ۴ - اصول طراحی

اهداف مختلفی که معمولاً در ساخت تخلیه‌کننده‌های تحتانی مد نظر می‌باشند شامل تخلیه مخزن در موقع ضروری، پایین بردن تراز مخزن و تخلیه دبی اضافی یا بار سیل از مخزن است. به علت بالا بودن سرعت جریان در تخلیه‌کننده تحتانی که بر اساس رابطه انرژی با صرفنظر از افت به شکل

$$U = \sqrt{2gh}$$

رابطه فوق  $h$  هد موثر آب پشت دریچه و  $g$  شتاب ثقل است. از دیگر مسایل مرتبط با تخلیه‌کننده تحتانی، ارتعاش مخرب دریچه به علت سرعت بالای جریان می‌باشد. ارتعاش دریچه مشکل اساسی تخلیه‌کننده تحتانی است و لذا تخلیه‌کننده‌های تحتانی باید بگونه‌ای طراحی شوند که در تمام شرایط بهره‌برداری بخوبی عمل نمایند. معمولاً دو دریچه شامل دریچه اضطراری یا محافظه و دریچه سرویس یا تنظیم کننده (دریچه اصلی) در آنها پیش‌بینی می‌شود. دریچه سرویس معمولاً بر حسب نیاز باز و دریچه اضطراری نیز معمولاً صرفاً در دو حالت باز یا بسته کامل تعریف می‌شوند.

در مطالعه مشخصات فنی مورد نیاز تخلیه‌کننده تحتانی Giesecke در ۱۹۸۲ توصیه نمود که موارد زیر مورد توجه قرار گیرند. لازم به ذکر است که تخلیه‌کننده تحتانی به علت مشکلات و محدودیت مانند کاویتاسیون، نیروهای هیدرودینامیکی، ارتعاش و سایش بصورت دائمی استفاده نمی‌شود

- جریان خروجی از مجرای کاملاً هموار و در تمامی بازشده‌گی‌ها، مجرای کارایی خوبی داشته باشد.
- استهلاک انرژی مناسب در خروجی سازه مد نظر قرار گیرد.
- نشت جریان در سازه وجود نداشته باشد.
- استفاده از آن آسان، طراحی آن مناسب و اقتصادی و عمر طولانی داشته باشد.

## ۲ - کاویتاسیون

پدیده کاویتاسیون یکی از عوامل موثر بر تخریب سازه‌های هیدرولیکی می‌باشد که در اثر وقوع پدیده انفجار درونی حبابهای هوا در مجاورت سطح بتن و در نتیجه اعمال نیروهای برشی موضعی بر سطح آن و نهایتاً تخریب سطح سازه ایجاد می‌شود. سرعت زیاد آب بر روی سطوح بتنی و وجود ناهمواری و برجستگی این سطوح باعث انحراف خطوط جریان، جدا شدن جریان از سطح و ایجاد مناطق کم فشار در پایین دست این ناهمواریها می‌شود. اگر این کاهش فشار به حد فشار بخار آب رسد، حبابهای بخار پدید آمده که پس از رسیدن به مناطق با فشار بالاتر، پدیده انفجار حبابها رخداده که در ادامه باعث تخریب سطح و در نهایت گسیختگی بتن آن می‌شود. جهت بررسی پتانسیل وقوع کاویتاسیون، از پارامتر بدون بعدی به نام اندیس کاویتاسیون استفاده می‌شود. این پارامتر به صورت زیر نشان داده می‌شود [4]:

$$\sigma = \frac{P_{Atm}/\gamma - P_v/\gamma + h \cos \theta}{V_0^2/(2g)} \quad (1-2)$$

در این رابطه  $P_{Atm}/\gamma$  فشار محیط می‌باشد (در شرایط آزمایشگاه معادل یک اتمسفر)،  $P_v/\gamma$  فشار بخار مایع (در دمای حدود ۲۵ درجه سانتیگراد معادل  $0/33$  متر ارتفاع آب)،  $h \cos \theta$  یا  $V_0^2/(2g)$  ارتفاع نظیر سرعت (برحسب متر) در مقطع فشار نظیر ارتفاع آب اندازه‌گیری شده) و موردنظر می‌باشند. با قراردادن مقادیر فشار و سرعت در هر مقطع در معادله (۱-۲)، اندیس کاویتاسیون در آن مقطع حاصل می‌گردد. برای اینکه پدیده کاویتاسیون رخ ندهد، اندیس کاویتاسیون از یک مقدار بحرانی که معمولاً تابع هندسه جریان، شکل و ارتفاع ناهمواری‌های سطحی و موقعیت نقطه مبناء که در آن فشار و سرعت اندازه‌گیری شده، باید بزرگتر باشد. این مقدار با توجه به امکانات

معمول اجرای بتن در سازه‌های هیدرولیکی، بین  $0/25$  تا  $0/25$  می‌باشد. محاسبه اندکس کاویتاسیون باید به ازای دبی‌های مختلف صورت گیرد، زیرا بحرانی‌ترین حالت لزوماً به ازای دبی حداقل اتفاق نمی‌افتد. جدول (۱-۲) الگوئی جهت جلوگیری از کاویتاسیون در سازه‌های هیدرولیکی ارائه می‌نماید.

جدول ۱-۲: الگوی پیشنهادی کنترل کاویتاسیون

اندیس کاویتاسیون	نیازهای طراحی
$1/8$ بزرگتر از	هیچ نیازی به محافظت از سطح نیست
$1/8 - 0/25$	بستر جریان با اصلاحاتی شامل ساییدن کلیه زبریها قابل اصلاح می‌باشد
$0/25 - 0/17$	بستر جریان با ترکیب تغییرات طراحی و پروفیل تندآب یا توسط هوادهی محافظت گردد
$0/12 - 0/17$	بستر جریان با هوادهی محافظت گردد
کوچکتر از $0/12$	بستر جریان احتمالاً قابل محافظت در مقابل کاویتاسیون نبوده و باید طراحی جدید صورت گیرد.

### ۳ - راهکارهای کنترل کاویتاسیون

راهکارهای مختلفی جهت کنترل این پدیده توسط محققان پیشنهاد گردیده که از این میان می‌توان به تسطیح سطح جریان، افزایش فشار موضعی، کاهش سرعت جریان و افزایش مقاومت مصالح بستر جریان اشاره نمود. راهکارهای همچون افزایش فشار و یا کاهش سرعت جریان در بسیاری موارد چاره ساز و امکانپذیر نمی‌باشد. از طرفی تسطیح سطح جریان و افزایش مقاومت بستر جریان در سرعت بالا کارساز نبوده و لذا در این شرایط هوادهی به عنوان راهی مطمئن و موثر همواره مورد توجه و مطرح نظر قرار گرفته است. این روش جهت جلوگیری از وقوع کاویتاسیون بخصوص در سرعت بالاتر از  $25$

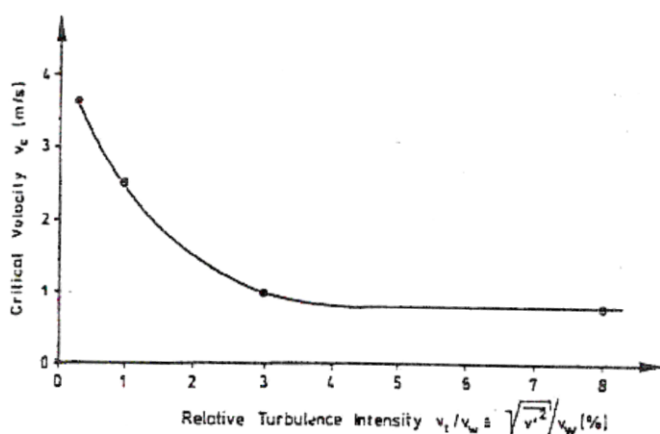
متر در ثانیه بسیار موثر خواهد بود. بحث هوادهی اولین بار توسط Peterka در ۱۹۵۳ مطرح گردید. وی آزمایشاتی بر روی یک ونتوری از جنس بتن با ایجاد شرایط کاویتاسیون انجام داد. مطالعات او نشان داد که با ورود ۱٪-۲٪ هوا به داخل جریان، تخریب ناشی از کاویتاسیون به مقدار زیادی کاهش یافته و با ورود ۶٪-۸٪ هوا به داخل جریان، تخریب ناشی از کاویتاسیون متوقف گردید. پس از انتشار نتایج آزمایش‌های وی، توجه محققان به کاربرد هوادهی در سازه‌های هیدرولیکی منعطف گردید. پس از کاربرد موفقیت آمیز هواده‌ها در سد Yellowtail کاربرد این روش در سازه‌های هیدرولیکی به عنوان یک روش نسبتاً آسان و ارزان مورد توجه بیشتر قرار گرفت.<sup>[5]</sup>

با ورود هوا به داخل جریان، تراکم پذیری آب افزایش یافته و لذا در صورتی که تنش های ناشی از کاویتاسیون بوقوع بپیوندد، انرژی قابل توجهی از آن مض محل گردیده و اثرات کمی از آن به دیواره‌ها خواهد رسید. هوای موجود در کنار بستر همچنین مانع تماس مستقیم سیال به کف و وقوع پدیده جدائی خواهد گردید. مطالعات اخیر نشان داده که تزریق هوا به جریان باعث افزایش میانگین فشار و کاهش شدت نوسانات آن گردیده و لذا پتانسیل وقوع کاویتاسیون با اصلاح میدان فشار کاهش می‌یابد کاویتاسیون می‌شود به دو صورت طبیعی و مصنوعی صورت می‌گیرد. هواگیری طبیعی معمولاً از روی سطح آب اتفاق افتاده و تابع شرایط هیدرولیکی جریان، ولی هوادهی مصنوعی با ایجاد موانع در مسیر جریان بوجود آمده و تابع پارامترهای هندسی و شرایط هیدرولیکی جریان می‌باشد.

## ۴-۲ - بررسی نحوه ورود هوا به جریان در مجاري

### ۴-۴-۱. هواگیری طبیعی

هواگیری طبیعی معمولاً به دو صورت موضعی و سطحی مطرح می‌گردد. اطلاعات موجود در هواگیری موضعی وابسته به شرایط مختلف جریان آب و در محدوده آزمایشگاهی می‌باشد. پارامترهای موثر در هواگیری فوق شامل طول تماس هوا و آب، دانسیته  $\rho_w$ ، شتاب جاذبه و آشفتگی و شرایط هیدرولیکی جریان در محل تماس هوا و آب می‌باشند. ورود هوا در سطوح آشفته آب با ورود حجمهای کوچک هوا توسط گردابه‌های کوچک موجود در سطح آب در سرعت حدی انجام می‌گیرد که در ادامه توسط جریان آب به پایین دست حمل می‌شوند. چنانچه شدت نوسانات آشفتگی با جذر میانگین مربعات نوسانات سرعت معرفی گردد، سرعت حدی جهت ورود هوا به جریان بر اساس مطالعات آزمایشگاهی برای جت‌های سقوطی مطابق نمودار شکل (۱-۲) در محدوده  $0.8-1 \text{ m/s}$  تخمین زده شده است.



شکل ۱-۲: سرعت بحرانی برای ورود هوا در یک جت مدور (Ervin 1980)

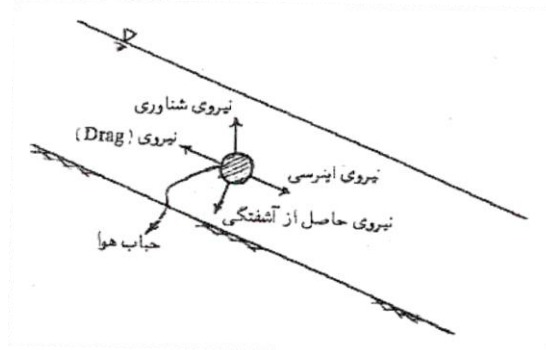
بر اساس مطالعات فوق میزان هوای وارد شده در جریانهای آشفته با اعداد رینولدز بالا مستقل از لزجت سیال بوده و به صورت تابعی از سرعت و چگالی سیال و شتاب جاذبه بیان گردیده و لذا رابطه‌ای بر اساس عمق آب و سرعت حدی در محل ورود هوا به فرم ضریب بی بعد هوادهی  $\beta$  که معرف نسبت دبی هواگیری  $q_{air}$  به دبی آب  $q_w$  می‌باشد ارائه شده است. با فرض ضریب ورودی  $K$  رابطه ارائه شده به فرم معادله (۲-۲) می‌باشد.

$$\frac{q_{air}}{q_w} = \beta = K \cdot Fr^2 \quad (2-2)$$

در بحث هواگیری در سرریز سدها و پرش هیدرولیکی در کانالهای روباز نیز نسبت دبی هوای ورودی به دبی آب به صورت توابعی از اعداد فرود با نماها و ضرایب متفاوت بر اساس نتایج تجربی گزارش گردیده‌اند. در هواگیری سطحی، ورود هوا از سطح آزاد جریان به داخل سیال اتفاق می‌افتد. در جریان آشفته، میزان هوایی که بطور طبیعی وارد جریان می‌شود در تمام مقطع جریان به صورت یکنواخت توزیع نگردیده و با افزایش عمق از غلظت آن کاسته می‌شود. مطالعات تجربی نشان داده است که تامین حدود ۶٪ تا ۸٪ هوا در سطح بستر جریان لازم است تا هواگیری متوسط جریان تا حد ۲۵٪ تا ۳۰٪ صورت پذیرد.

از نقطه نظر هیدرولیکی چنانچه لایه مرزی آشفته به سطح آزاد آب رسیده و انرژی جنبشی ناشی از آشفتگی بر کشش سطحی غلبه نماید، هواگیری سطحی وقوع می‌یابد. پس از ورود حباب هوا به جریان، حرکت آن به طرف پائین تا زمان غلبه نیروی شناوری (Buoyancy) بر نیروی حاصل از آشفتگی جریان ادامه می‌یابد. در راستای جریان نیز دو نیروی اینرسی و مقاوم (drag) بر حباب اثر نموده و همچنین در طول مناسبی از مسیر جریان، با تعادل نیروی شناوری و آشفتگی میزان هوای

ورودی به جریان با مقدار هواخروجی برابر می‌گردد. شکل (۲-۲) نیروهای وارد بر حباب هوا را نشان می‌دهد.



شکل ۲-۲: نیروهای وارد بر حباب هوا

در هوایگیری سطحی، میدان حاصل در جهت عمود بر مسیر جریان در چهار ناحیه قابل طبقه بندی می‌باشد.

منطقه فوقانی (Upper Zone) که در آن سطح آب ناپیوسته و به صورت قطرات آب پراکنده در هوا می‌باشد این قطرات تا فاصله معینی بالای سطح معادل جریان آب بالا رفته که به جهت حجم اندک آب در این ناحیه در ملاحظات مهندسی از آن صرفنظر می‌گردد.

- منطقه اختلاط (Mixing Zone) که در آن سطح آب پیوسته بوده و دارای درصد بالای حباب هوا می‌باشد. میزان هواخروی به جریان و خروجی از آن، از این ناحیه عبور نموده و لذا امواج سطحی در این ناحیه قابل مشاهده می‌باشد. ارتفاع دیواره‌های جانبی کانال‌ها جهت جلوگیری از سرریز یا ریزش آب به بیرون از آن بر اساس ارتفاع حداقل امواج سطحی در ناحیه فوق محاسبه می‌گردد.

- منطقه زیرین (Under Lying Zone) که حبابهای هوا در داخل آب به صورت پراکنده منتشر شده ولی امواج سطحی در آن نفوذ نمی‌نماید. توزیع غلظت هوا در این ناحیه تحت تاثیر

شدت آشفتگی و تغییرات آن در مسیر جریان می‌باشد و با توجه به تعداد و ابعاد حبابهای موجود در ارتفاع‌های مختلف برآورد می‌شود.

- منطقه بدون هوا (Air Free Zone) که در مجاورت کف کanal قرار دارد و هوا به آن نمی‌رسد،

در این تقسیم بندی قرار می‌گیرد.[8]

## ۴.۲. هواگیری طبیعی در مجاری بسته

در مجاری بسته نیمه پر، جریان بصورت آزاد در نظر گرفته شده که هوا در فضای خالی بالای سطح آب جریان دارد و لذا مقدار هوا وارد به جریان از روابط مربوط به جریان روباز قابل برآورد می‌باشد. مقدار هوا جریان یافته در بالای سطح آب، مطابق رابطه (۳-۲) تابع مشخصات جریان آب و مجرای هوا می‌باشد:

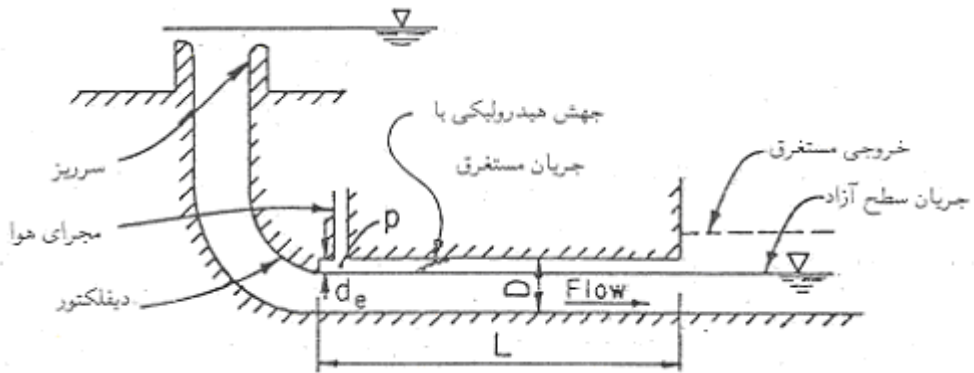
$$Q_a = f(L, V, g, P, y_e) \quad (3-2)$$

در رابطه فوق  $L$  طول مجرای،  $P$  فشار،  $V$  سرعت متوسط آب و  $y_e$  عمق موثر آب (نسبت سطح مقطع جریان به پهنهای بالایی جریان) می‌باشند. با استفاده از آنالیز ابعادی در رابطه (۳-۲) و استفاده از اعداد بی بعد رابطه (۴-۲) بدست می‌آید:

$$\frac{Q_a}{Q_w} = f\left(\frac{L}{y_e}, \frac{1}{Fr^2}, \frac{P/\gamma}{V^2/2g}\right) \quad (4-2)$$

رابطه بین این پارامترها برای هر هندسه مشخص به کمک مطالعات آزمایشگاهی قابل تعیین می‌باشد. تاکنون آزمایشات موفقی که نتایج مشابهی بین مدل و نمونه واقعی ارائه نماید، توسط محققان انجام شده است. عنوان مثال 'Harshbarger' و 'Hecker' و 'Vigander' اندازه‌گیریهایی بر روی نمونه واقعی و مدل آن از یک توپل دریچه دار با جریان سطح آزاد انجام دادند. [9] شکل (۳-۲) مدل آزمایشگاهی مورد استفاده در این تحقیق را نشان می‌دهد. مطالعات فوق نشان داد که برای تخمین میزان جریان هوا با استفاده از مدل، ضروری است که مجرای جریان هوا بالای سطح آب به دقت

مدلسازی گردد. پس از انجام آزمایش‌های متعدد بر روی مدل، منحنی‌های تجربی تعیین میزان هوای جریان یافته در هواده مطابق شکل (۲-۴) که تاثیر ابعاد مجرای هوای را نشان می‌دهد، ارائه گردید. در نمودار ارائه شده سطح مقطع منشور آب  $A_d$ ، سطح مقطع مجرای آب  $A_e$ ، ارتفاع مانع هواده  $d_e$ ، عمق موثر آب  $y_e$ ، سرعت متوسط جریان  $V$  و فشار در انتهای مجرای هوای  $p$  نشان داده شده است.



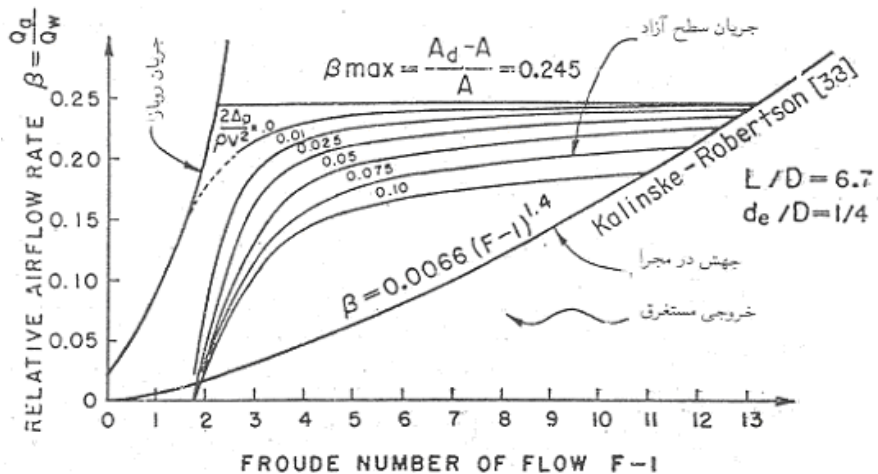
شکل ۲-۳: مدل و پارامترهای مورد استفاده در مطالعه تجربی هواده‌ها در مجاري بسته آزاد (سرریز Siroka [10])

این محققان نشان دادند، چنانچه سرعت هوای در مجرای هواده کمتر از ۱۰۰ متر بر ثانیه بوده و رابطه  $fL / 4d \geq 4$  برقرار باشد، میزان هوای عبوری از مجرای با رابطه (۲-۵) بیان می‌شود:

$$Q_a = A_v \left\{ 2g \frac{\left( \rho_w / \rho_a \right) \left[ \left( P_{atm} / \gamma \right) - \left( P_1 / \gamma \right) + \Delta Z \left( \rho_a / \rho_w \right) \right]}{\sum K_s + fL / 4d} \right\}^{0.5} \quad (2-5)$$

که در آن  $A^1$  سطح مقطع مجرای طول مجرای  $L$ ، سطح مقطع مجرای هوای  $A_v$ ،  $f$  = ضریب دارسی وايسپاخ مجرای هوای  $d$ ، شعاع هیدرولیکی مجرای هوای در واقعیت  $K_e$ ، افت ورودی (معمولاً  $Ke=0.5$ )،  $K_s$  افت موضعی در مجرای (تابع شکل مجرای)،  $P_1$  فشار در خروجی مجرای و  $\Delta Z$  اختلاف ارتفاع بین ورودی و خروجی مجرای می‌باشند.

<sup>۱</sup> واحد پارامترها بر حسب SI می‌باشد.



شکل ۴-۲: منحنی های تجربی تعیین میزان هوای جریان یافته در هواده

همچنین دبی حجمی آب نیز با توجه به ضریب آبگذری مجرای  $C_d$ ، از رابطه ۶-۲ قابل محاسبه خواهد بود.

$$Q_w = C_d \cdot A \cdot \left[ 2g \times V^2 / 2g \right]^{1/2} \quad (6-2)$$

در نتیجه ضریب هوای جریان یافته  $\beta$  (نسبت دبی هوا به دبی آب) با صرفنظر از جمله بصورت رابطه (7-۲) قابل بیان می باشد:

$$\beta = \frac{Q_a}{Q_w} = \frac{A_v}{A} \left\{ \frac{\rho_w / \rho_a}{\sum K_s + fl / 4d} \left[ \frac{\left( P_{atm} / \gamma \right) - \left( P_1 / \gamma \right)}{V^2 / 2g} \right]^{0.5} \right\} \quad (7-2)$$

در این رابطه اولین عبارت سمت راست معرف خواص سیال، افت مجرای و هندسه هواده و دومین عبارت معرف فشار یا فرمی از عدد اولر می باشد. با استفاده از این معادلات، مشخصات مجرای داده

شده، روی نمودارهای جریان هوا و نقطه تقاطع بین دوسر نمودار، نرخ جریان هوا و فشار را برای یک مجري ای ارائه می‌دهد. اگر مقادیر بدست آمده رضایت بخش نباشد، مشخصات مجراء تغییر و مراحل فوق تکرار می‌گردد. [10]

#### ۴.۳. هواگیری مصنوعی در مجاری بسته

جهت کنترل جریان در مجاری بسته از دریچه‌های کشویی و یا شیرهای تحت فشار استفاده می‌شود. شیرها در انواع مختلف شامل پروانه‌ای، سوزنی و غیره ساخته و در مسیر خط مجراء و یا در انتهای آن مستقر می‌شوند. دریچه‌ها نیز که در دو فرم کشوئی و قطاعی مورد استفاده قرار می‌گیرند، عموماً در انتهای و یا میانه تونل قرار داده می‌شوند. در صورت قرار گیری آنها در انتهای تونل، کل مجراء در هنگام بسته بودن دریچه تحت فشاری معادل فشار مخزن قرار گرفته و لذا باید از پوشش فلزی خاص بهره گیرند. بنابراین جریان قبل از دریچه از نظر هیدرولیکی تحت فشار ولی پس از آن به دلیل کاهش فشار و بالا بودن سرعت جریان عموماً آزاد می‌باشد. در این شرایط و جهت جلوگیری از کاویتاسیون از هوادهی جریان استفاده می‌گردد. گذشته از تمهیدات اشاره شده در پائین دست دریچه‌ها، توجه خاص باید به محلهایی که سطح مقطع جریان با تغییرات همراه است، معطوف گردد. در صورت نیاز به تبدل بازشو یا تنگ شو، زاویه تبدیل بر اساس تابعی از عدد فرود تعیین تا خطر وقوع کاویتاسیون منتفی گردد. جهت کاهش ارتعاشات مخرب و کاویتاسیون، توصیه می‌گردد تا لبه بالادست، انحنای و با شیب ۴۵ درجه به لبه پائین دست متصل شود.

یکی از مسائل مهم در طراحی دریچه‌های تونلهای آبگیر، تامین هوای مورد نیاز جریان در پائین دست آنها است، زیرا جریان خروجی از زیر دریچه به علت بار آبی زیاد از سرعت بالایی برخوردار خواهد بود. این سرعت بالا با کاهش فشار همراه بوده و در نتیجه ممکن است اندیس کاویتاسیون را بطور قابل ملاحظه کاهش و باعث افزایش پتانسیل وقوع کاویتاسیون گردد. همچنین افت فشاری که پائین دست دریچه ایجاد می‌گردد، باعث ارتعاش شدید سازه می‌شود. این ارتعاش به علت طبیعت غیرماندگار

منطقه کم فشار چرخشی حاصله در پایین دست دریچه می‌باشد. بنابراین برای جلوگیری از ارتعاش و کاویتاسیون لازم است که هواده‌ی مناسب در پائین دست دریچه تعبیه گردد. این هواده معمولاً به صورت مجرای هوا بوده که از طریق چاهک کنترل و دریچه با جو مرتب می‌شود. سرعت بالای جریان پایین دست دریچه تونل‌ها منجر به ورود هوا در سطح آزاد و جریان یافتن هوا در فضای بالای آن می‌گردد. هواده‌ها ممکن است برای مقابله با کاویتاسیون در کف و دیواره تونل نیز قرار داده شود. بر اساس تحقیقات Kafinske و Robertson در سال ۱۹۴۳ چنانچه در پائین دست تونل پرش هیدرولیکی رخ داده و هوا از طریق پر هیدرولیکی وارد جریان شود، مقدار هوای ورودی به تونلها را بر اساس عدد فرود جریان از رابطه (۸-۲) برآورد می‌شود:

$$1.5 \leq Fr_1 \leq 30 \quad \beta = \frac{Q_a}{Q_w} = 0.0066(Fr_1 - 1)^{1.4} \quad (8-2)$$

همچنین برای تونل‌های با جریان آزاد Sharma در ۱۹۷۶ معادله (۹-۲) را پیشنهاد کرده است:

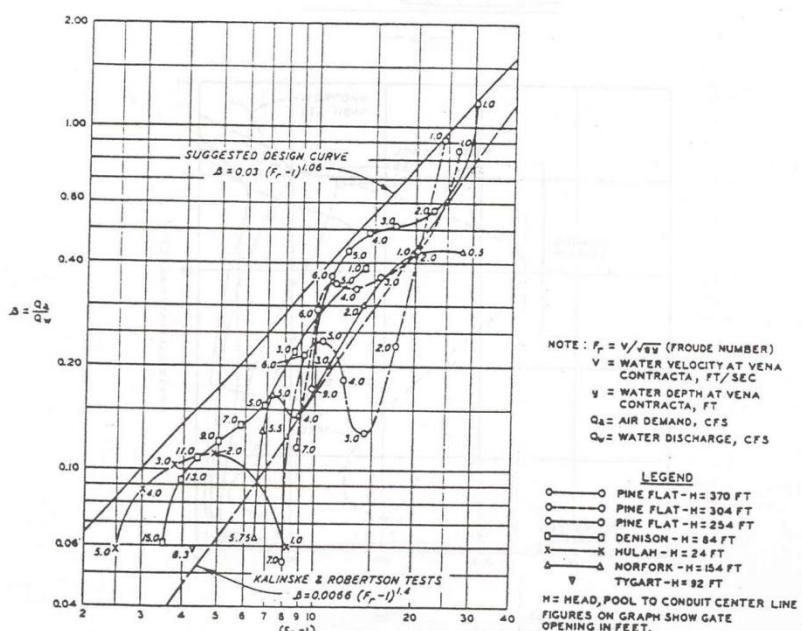
$$\beta = 0.09 Fr_1 \quad (9-2)$$

در بازشدگیهای کم مشاهده می‌گردد که جریان به شکل پودر ظاهر شده و با افزایش مقدار  $\beta$  همراه می‌گردد. لازم به ذکر است که به دلیل کم بودن دبی آب در این شرایط، کل جریان هوا در مقایسه با حالت بازشدگی زیاد قابل توجه نمی‌باشد. گروه مهندسین ارتش آمریکا در سال ۱۹۶۴ آزمایشاتی بر روی سد Pine flat انجام دادند. خط مستقیم در شکل (۵-۲) یک فرض طراحی توصیه شده را نشان می‌دهد و پیشنهاد می‌کند که ماکزیمم ورود هوا در بازشدگی ۸۰ درصد رخ داده و کنترل گردد. منحنی توصیه شده برای محاسبه  $\beta$  مطابق رابطه (۱۰-۲) پیشنهاد گردیده است. در این رابطه عدد فرود باستی بر اساس عمق موثر در مقطع کنترل برآورد گردد.

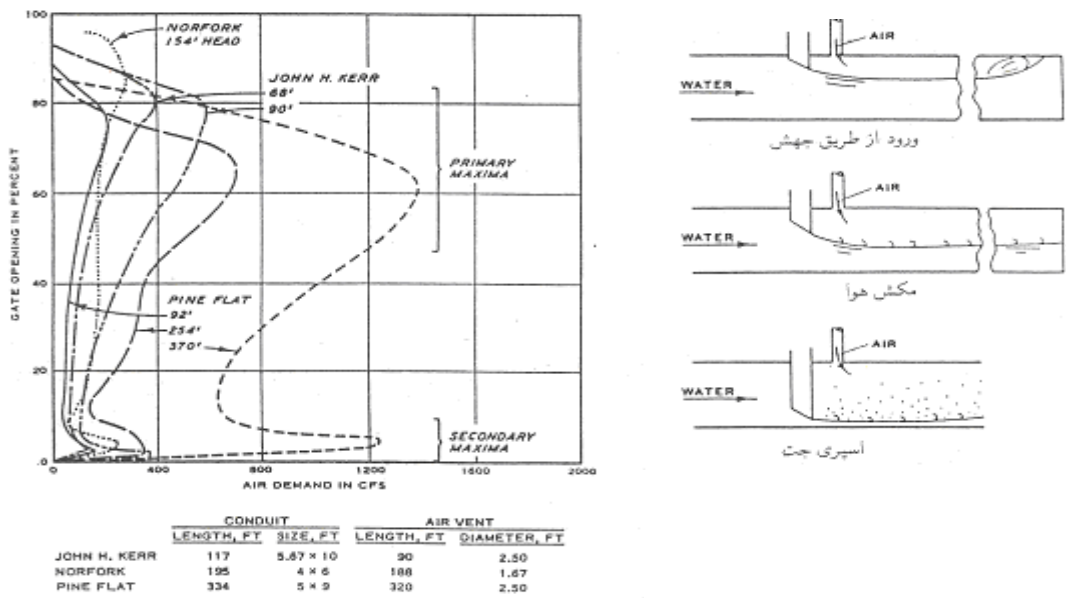
$$\beta = 0.03(Fr_1 - 1)^{1.06} \quad (10-2)$$

بر اساس مطالعات انجام گرفته توصیه می گردد که مجرای هوا برای سرعت کمتر از ۱۵۰ فوت بر ثانیه طراحی شود. به ازای سرعتهای بالاتر هوا، افت هد بالایی در مجرای هوا ایجاد گردیده و ممکن است باعث ایجاد افت فشار در مجرای هوا و وقوع کاویتاسیون در آن گردد.

آزمایشات گروه مهندسین ارشد آمریکا نشان داد که مقدار هوای ورودی نسبت به بازشدگیهای مختلف دریچه متفاوت می باشد. نمودار شکل (۲-۶) مقدار هوای ورودی را برای انواع بازشدگی دریچه در چند هد مختلف مشاهده شده در سدهای فوق، نشان می دهد. در کنار نمودار فوق شرایط جریان در پایین دست دریچه برای بازشدگی مختلف نیز نشان داده شده است. در بازشدگی های کم (۰.۵٪) جت آب شکسته و مقدار زیادی هوا وارد جریان می شود. با افزایش بازشدگی، ورود هوای سریعاً کاهش یافته ولی در بازشدگی بین ۵۰٪ تا ۱۰۰٪ دوباره افزایش یافته تا به یک حداکثر ثانوی، قبل از پر شدن تونل می رسد. در این فاز، ورود هوای ناشی از نیروی کششی (Drag) بین سطح آب و هوای بالای آن می باشد. در بازشدگی های بزرگتر پرش هیدرولیکی تشکیل و ورود هوای تابع ظرفیت جهش برای ورود هوای به جریان بوده و چنانچه تونل بصورت پر عمل نماید، دبی هوای ورودی صفر می شود.



شکل ۲-۶: هوادهی جریان در تخلیه کننده های تحتانی

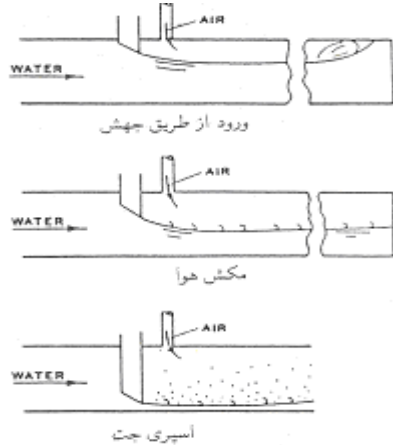


شکل ۶-۲: مقدار ماکزیمم اولیه و ثانویه ورود هوا در تاسیسات خروجی تنظیم کننده

همچنین Levin در سال ۱۹۶۵ با آنالیز اطلاعات بدست آمده از مطالعات قبلی رابطه (۱۱-۲) را جهت برآورد هوادهی در پائین دست دریچه‌ها پیشنهاد می‌نماید:

$$\beta = G \left[ \left( \frac{2H}{d_1} \right)^{1/2} - 1 \right] \quad (11-2)$$

که در آن  $H$  کل هد بالا دست دریچه و  $d_1$  عمق جریان در مقطع کنترل پایین دست دریچه می‌باشند. چنانچه  $H$  بسیار بزرگتر از  $d_1$  باشد، عبارت  $(2H/d_1)^{1/2}$  معادل  $Fr_1$  خواهد بود. برای تونل مدور با شیارهای مناسب،  $G$  بین ۰/۰۴ تا ۰/۰۴۰ و چنانچه از تبدیل تدریجی از مقطع مستطیلی به مقطع مدور استفاده گردد،  $G$  بین ۰/۰۶ تا ۰/۰۴۰ توصیه می‌شود. اگر تبدیل تدریجی نبوده و جدایی جریان در تونل رخ می‌دهد، پیشنهاد شده که  $G$  بین ۰/۰۸ تا ۰/۱۲ در نظر گرفته شود. یکی دیگر از روابط پیشنهادی در تعیین دبی جریان هوا در هواده‌ها، توسط cuttormen-Lycon و به صورت تابعی از افت فشار به فرم معادله (۱۲-۲) بیان شده است:



$$Q = 28 m_a A_a \left( \frac{2\Delta p}{\rho} \right)^{1/2} \quad (12-2)$$

$$m_a = \left[ \sum \xi + \left( \frac{fL_a}{4R_a} \right) \right]^{-1/2} \quad (13-2)$$

که در آن  $\Sigma$  مجموع ضرایب افتهای موضعی،  $f$  ضریب اصطکاک در معادله دارسی وايسباخ،  $La$  طول مجرای هوا،  $Aa$  سطح مقطع مجرای هوا و  $Ra$  شعاع هیدروليکی می باشند. در بازشدگيهای کوچک دریچه ها عموما جريان اسپری قابل توجهی تشکيل می گردد و لذا ورود هوا با شدت بيشتری صورت می گيرد. برای محاسبه ورود هوا در اين شرایط رابطه (14-2) پیشنهاد شده است:

$$\beta = 0.024 (Fr_1 - 1)^{1.4} \quad 20 \leq Fr_1 \leq 60 \quad (14-2)$$

بالاترین مقدار  $\beta$  به دليل تشکيل اسپری در بازشدگی ۵٪ تا ۱۰٪، اندازه گيري و گزارش شده كه مقادير حد بالاي آن با رابطه (15-2) توسط cuttormen-Lycn در ۱۹۷۱ تعریف گردیده است:

$$\beta \leq 1.2 \left( \frac{s}{A} \right)^{-0.2} - 1 \quad (15-2)$$

در رابطه فوق  $S$  سطح بازشدگی دریچه و  $A$  سطح مقطع تونل می باشد.

کاويانپور در سال ۱۹۹۹، ۲۰۰۱ و ۲۰۰۳ مطالعاتی بر روی مدل های فیزيکی چندين تخلیه کننده تحتاني سدهای مختلف در حال ساخت انجام و در نهايیت دو نمودار حد بالا و حد پائين جهت ارزیابی هوای مورد نیاز در پائین دست دریچه های تحتاني ارائه نمود. معادلات پیشنهادی ايشان برای دو حد بالا و پائين در معادلات (16-2) و (17-2) ارائه شده است. [6] [7]

$$\beta = 0.18 (Fr-1)^{0.75} \quad \text{Upper Limit} \quad (16-2)$$

$$\beta = 0.0012 (Fr-1)^{1.39} \quad \text{Lower Limit} \quad (17-2)$$

بر اساس مطالعه ایشان، اختلاف قابل توجهی بین نتایج این محققان دیده می شود. این امر نشان دهنده عدم قطعیت بالا در روابط یاد شده می باشد که بعضا طراح را مجبور به انتخاب هواهایی به بعد بزرگ می سازد. این گزینه در شرایطی که محدودیت فیزیکی و اقتصادی مطرح باشد، طراح را با انتخاب مشکلی رو برو ساخته و ضرورت نیاز به یک روش مطمئن و قابل اعتماد را آشکار می نماید.

## ۲ ۵ - تحلیل جریان دو فازی

در ارتباط با تحلیل جریان دوفازی آب و هوا و روش های حل معادلات حاکم بر آن تئوری جامعی که بر آن اتفاق نظر بوده و بیانگر مکانیزم شکل گیری، اثرات و روش های جلوگیری یا کاهش پدیده باشد، هنوز ارائه نگردیده است. در هر حال محققین مختلف با انجام بررسی های تئوریک و آنالیزهای عددی و یا کاوش های تجربی به مسائل موجود نظیر رفتار جریان، شرایط مرزی، تاثیر لزجت و کشش سطحی، تاثیر هندسه سازه و تغییرات زمانی پدیده پرداخته اند. در ارتباط با موضوع جریان دوفازی آب و هوا در سازه های هیدرولیکی نظیر تونل های تحت فشار، خطوط انتقال آب، آبگیرهای تحتانی، کالورتها و فاضلابروها مطالعات جامعی موجود نیست. همچنین با توجه به اینکه در ارتباط با وقوع جریان دوفازی در سازه های فوق معیار یا راهنمای طراحی موجود نمی باشد، طراح تامل و حساسیت زیاد در این رابطه اعمال نموده و عموما طرح سیستم با ضریب اطمینان بالا همراه است. در بحث مطالعات انجام شده، مقالات متنوعی قابل حصول است، اما بررسی اهم مقالات در سال های اخیر در مجلات معتبر برای جریان دوفازی در این قسمت مورد ارزیابی قرار می گیرد.

آلیتو و همکاران (۱۹۹۷) به مطالعه خصوصیات هیدرولیکی تخلیه کننده پرداختند. این خصوصیات شامل کanal دسترسی، نسبت عمق انتهایی، ضریب دبی میانگین، عمق پایاب و افت هیدرولیکی در طول تخلیه کننده می باشد. ایشان توزیع سرعت در خروجی را مورد بررسی قرار دادند و حدود یکصد آزمایش برای بررسی فرود بالادست جریان صورت دادند.<sup>[14]</sup>

در داخل تونل تخلیه کننده تحتانی در سال ۲۰۰۰، مطالعات آزمایشگاهی توسط Hager و Speerli انجام و نتایج آن ارائه گردید که مرجع بسیاری از مطالعات بعد می‌باشد [3]. در این مقاله مدل فیزیکی تونل تخلیه کننده تحتانی به طول ۲۱ متر، عرض  $0.3/0$  متر و ارتفاع  $0.3/0$  متر با دریچه کنترل از نوع کشویی همراه با لوله هواده‌ی به قطر  $1/0$  متر در ابتدای تونل پایین دست مورد بررسی قرار گرفته است. این مدل در بین مدل‌های هیدرولیکی ساخته شده اخیر از ابعاد هندسی بزرگتری برخوردار بوده و همچنین روش تحلیلی جدیدی برای محاسبه پروفیل سطح آب درون مجرأ و غلظت هوا در آن ارائه می‌کند. هدف اصلی نویسنده‌گان از انجام این مطالعه بررسی تاثیر طول تونل پایین دست بر روی پارامترهای هیدرولیکی جریان می‌باشد. مدل تخلیه کننده فوق قادر به جهت هواده‌ی دیوارها است. هد و بازشدگی کوچک و جریان از آشفتگی کمتری برخوردار است. غلظت هوا نیز عموماً مربوط به عمق نسبی بالای  $0.5$  می‌باشد.

در سال ۲۰۰۲ Babaeyan-Koopae مدل سرریز سیفونی سد Brent را مورد بررسی قرار دادند که به دلیل سیلاپ تخریب شده بود. هدف از این تحقیق بررسی دلایل تخریب در اثر سیلاپ عبوری و بازسازی مجدد آن می‌باشد. مدل در دو مرحله مورد بررسی قرار گرفت که در مرحله اول بر روی هواده‌ها و در مرحله دوم مکانیزم ورود هوا مورد مطالعه قرار گرفت. در سال ۲۰۰۳ Boes مطالعه آزمایشگاهی بر روی یک مدل با مقیاس بزرگ سرریز پلکانی بر اساس معیار تشابه سازی فرود انجام داد. غلظت هوا اندازه‌گیری و میانگین غلظت هوا در مقاطع مختلف بر اساس فاصله از سرریز ارائه شد [15]. در مطالعه دیگری در سال ۲۰۰۳ Boes مطالعه آزمایشگاهی بر روی سرریز پلکانی به کمک سیستم پردازش تصویر انجام داد. در این مطالعه غلظت هوا با هدهای مختلف در  $12$  مقطع مختلف در طول سرریز انجام و نتایج با استفاده از مدل عددی شبیه سازی و مقایسه گردید [16].

سلیمان زاده و شمسایی (۱۳۸۵) به حل عددی جریان آب و هوا در تخلیه کننده تحتانی پرداختند و میزان نیروی وارد بر دریچه را در دو حالت هواده‌ی و عدم هواده‌ی مورد ارزیابی و مقایسه قرار دادند.

همچنین بررسی هایی نیز در زمینه نسبت ورودی به مجا، اندیس کاویتاسیون، میانگین غلظت هوا و توزیع محوری هوا در عمق مجا صورت دادند [17].

معظمی در ۱۳۸۶ مطالعه ای در زمینه بررسی عددی جریان دوفازی آب و هوا در تخلیه کننده های تحتانی انجام داد که عمدۀ کار ایشان مقایسه نتایج آزمایشگاهی مدل آقایان هگر و اسپرلی بر روی جریان آب و هوا بوده است و همچنین تأثیر هوادهی جریان در کاهش فشارهای منفی پشت دریچه نیز مورد بررسی قرار گرفتند.[18]

نجفی و همکاران (۲۰۰۸) به مدل سازی عددی تخلیه کننده تحتانی پرداخته و میزان دبی و هوای عبوری از مجرای هواده پایین دست دریچه را مورد بررسی قرار دادند. ایشان همچنین میزان توزیع فشار در محل دریچه را مورد محاسبه قرار دادند[19]

حسینی و همکاران (۱۳۸۸)، مدل فیزیکی مجرای تخلیه کننده و دریچه های سرویس و اضطراری سد نرمانشیر را مورد مطالعه قرار دادند و پس از انجام یکسری آزمایشات بر روی آن، و اندازه گیری مقادیر هد فشار در نقاط مختلف و میزان آبگذری دریچه به بررسی وقوع پدیده کاویتاسیون پرداختند.[20] ایشان همچنین در ۱۳۸۹، با اندازه گیری فشار در پیزومترهای واقع بر روی دریچه ها، به اندازه گیری و مطالعه نیروها و ارتعاشات وارد بر دریچه ها در بازشدگی های مختلف پرداختند[21]

نوذری در ۱۳۸۸ به بررسی عددی و آزمایشگاهی جریان دو فازی در تونل تخلیه کننده سد پرداخت. مدل آزمایشگاهی سد گتوند در تحقیق مذکور مورد بررسی قرار گرفت و همچنین مدل عددی با استفاده از نرم افزار Fluent ساخته و اجرا شد. در تحقیق ایشان برای اندازه گیری غلظت جریان در مدل آزمایشگاهی از دستگاه پراب نوری یا اپتیک استفاده گشت. مدل عددی Fluent توانست نتایج مناسبی در راستای مدل سازی غلظت جریان ارائه کند.[22]

در سال ۱۳۸۹ حسینی و کاویانپور به بررسی خصوصیات جریان دو فازی بروی سرریز پلکانی با استفاده از نرم افزار FLUENT پرداختند. در آن مطالعه با مدل سازی عددی سرریز پلکانی سد سیاه FLUENT نتایج حاصل از نرم افزار Bose , Hager بیشه و با استفاده از روابط بدست آمده توسط مورد صحت سنجی قرار داده و با مدل های مختلف آشфтگی که در نرم افزار موجود است، نشان دادند که مدل آشфтگی RSM در توزیع غلظت جریان بروی سرریز و سرعت جریان تطابق بسیار زیادی با روابط Boes , Hager [23]. مشتاقیان و کاویانپور الگوی جریان بر روی سرریز پلکانی با شبیه متوسط را با استفاده از مدل آشфтگی RSM و مدل MIXTURE برای حل جریان دو فازی آب و هوا مورد بررسی قرار دادند و نتایج مدل عددی را با نتایج آزمایشگاه هیدرولیک دانشگاه کوئیزلند استرالیا که در سال ۲۰۰۵ توسط Chanson و همکارانش انجام شده بود مقایسه نمودند.[24]

امامی و کاویانپور ( ۱۳۹۰ ) با استفاده از نرم افزار FLUENT به بررسی عددی تأثیر ورود ذرات معلق غیرچسبنده در جریان در تخلیه کننده های تحتانی سد سفیدرود پرداختند. در آن مطالعه مدل عددی فوق به کمک نتایج مدل فیزیکی تخلیه کننده تحتانی سد سفید رود کالیبره شده که نتایج قابل قبولی را ارائه داد. سپس مدل آشфтگی  $k-\epsilon$  برای جریان سه فازی رسوب و آب و هوا استفاده گردید و تأثیر درصد رسوب جریان بر میدان فشار و تأثیر هوادهی بر آن مورد توجه قرار گرفت. نتایج نشان دهنده تأثیر غلظت رسوب موجود در آب بر میدان جریان داشته که نتایج حاصل در سد سفیدرود ارائه گردید [25].

غزالی و همکاران در ۱۳۹۰ با استفاده از نرم افزار Fluent به بررسی جریان در تخلیه کننده های تحتانی با نسبت های عمق به عرض مختلف پرداختند. مدل فوق بر اساس نتایج آزمایشات مدل تخلیه کننده تحتانی سد جگین کالیبره شد. نتایج حاصل نشان دهنده عملکرد قابل قبول مدل عددی در پیش بینی میدان فشار در مجرای فوق بود. سپس با تغییر عرض و عمق مجرا و اجرای مدل، ملاحظه

گردید که نسبت عرض به عمق تاثیر به سزائی بر عملکرد هوادهی جریان در پائین دست دریچه های تحتانی دارد و لذا نسبت مناسب برای حداکثر هوادهی معرفی گردید [26].

در سال ۹۰ منظمی در پایان نامه خود با عنوان "بررسی عددی و آزمایشگاهی تاثیر شکل لبه دریچه بر میدان جریان پایین دست دریچه های تحتانی " اقدام به بررسی میدان فشار و سرعت و پروفیل جریان بعد از دریچه های تحتانی پرداخته است.[27]

# فصل سوم

## ۳ - فصل سوم : معرفی مدل آزمایشگاهی

### ۳ + اصول طراحی

انتخاب مقیاس مدل باید به گونه‌ای باشد که نیروهای غالب در پدیده مورد بررسی به درستی مدل شده و سایر نیروها نیز قابل صرفنظر کردن باشند و یا به نحوی اثر آنها را کاهش داد. عموماً در اکثر مدل‌های هیدرولیکی، با صرفنظر کردن از اثر نیروهای کشش سطحی و فشار الاستیکی خطای قابل توجهی بوجود نیامده و در صورت غالب بودن نیروهای ثقل و لزجت مدل‌ها بخوبی می‌توانند حرکت سیال را شبیه‌سازی نمایند.[28]

مدل مجرای تخلیه کننده عمقی سد مخزنی ژاوه شامل لوله ورودی مجرأ به قطر ۹/۵ متر، تبدیل‌ها، لوله به قطر ۵/۵ متر، شیارهای دریچه اضطراری و سرویس، اتاقک‌های دریچه اضطراری و سرویس، مجرای میانی، هواده‌های بین دو دریچه، دریچه‌های سرویس و اضطراری، بازشدنگی، هواده و همچنین کل مجرای پایین دست دریچه سرویس همراه با شیب معکوس انتهایی با جزئیات کامل مطابق نقشه‌های ارائه شده بوسیله مهندس مشاور طرح، با مقیاس ۱:۱۰ از جنس ورق شفاف (پلگسی گلاس) و در قسمتهایی از فلز ساخته شده است. به منظور تامین ارتفاع آب لازم و دبی مورد نیاز، از یک مخزن روباز فلزی استفاده شد. این مخزن به شکل استوانه بوده و مطابق عکس شکل شماره (۱-۳) به قطر ۵ متر و ارتفاع ۶ متر و در ارتفاع ۶ متری مخزن دیگری به قطر ۲ متر و ارتفاع ۴ متر اضافه گردیده که ارتفاع کل هر دو مخزن ۱۰ متر می‌باشد. مخزن به وسیله چهار پمپ به ظرفیت هر یک ۲۵۰ لیتر بر ثانیه تغذیه می‌گردد و برای آرام ساختن جریان و جلوگیری از تلاطم آب ورودی به مخزن از صفحات مشبك انرژی‌گیر استفاده می‌شود. [29]

به منظور تامین شرایط هیدرولیکی مجرأ دهانه شیپوری‌شکل ورودی از جنس ورق شفاف با مقطع مربع به ابعاد  $30 \times 30$  سانتی‌متر در ابتداء مقطع  $11 \times 16$  سانتی‌متر در انتها ساخته و در قسمت ورودی نصب شد. این قسمت درون کالورت مربع شکل به ابعاد  $30 \times 30$  سانتی‌متر و به طول تقریبی ۳ متر قرار

گرفته و بداخل مخزن متصل می‌گردد. تعداد کافی پیزومتر برای اندازه‌گیری افت ورودی بر روی آن در این قسمت نصب گردید. در عکس شماره (۲-۳) و (۳-۳) مقاطعی از دهانه زنگوله‌ای دیده می‌شود.

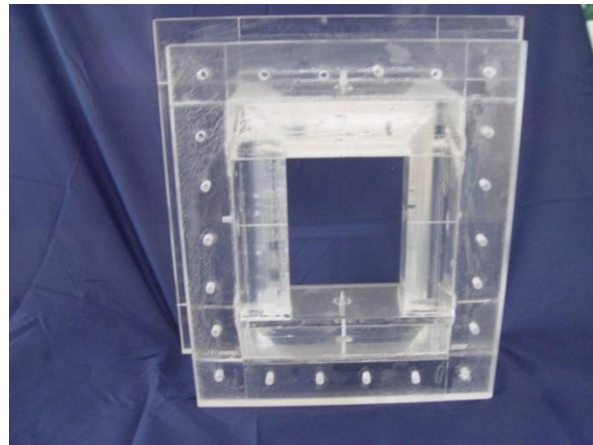
[29]



شکل ۱-۳: نمایی از مخزن تامین هد مدل



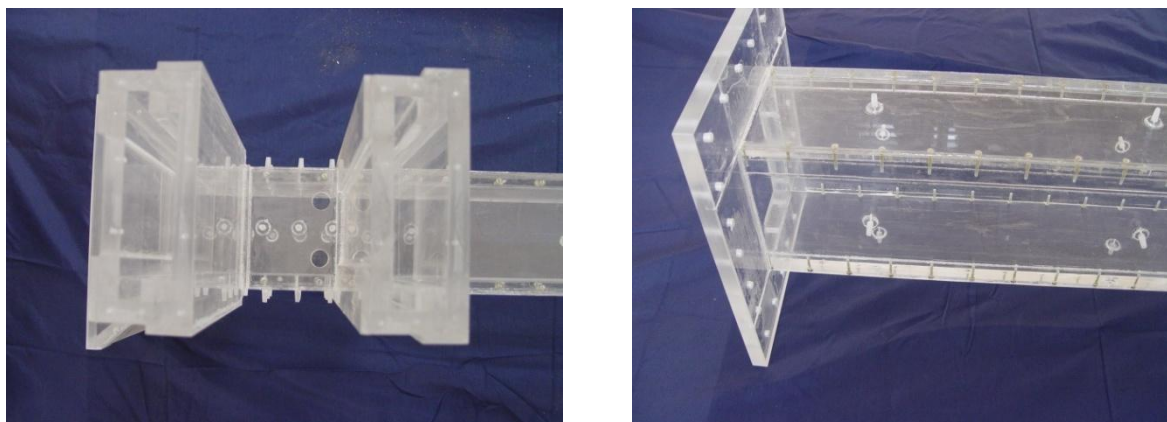
شکل ۲-۳: نمایی از دهانه زنگوله‌ای



شکل ۳-۳: نمایی از ورودی دهانه زنگوله‌ای

طول بالادست دریچه اضطراری تا اتصال به قطعه ابتدایی زنگوله‌ای شکل به طول ۱۰۷/۵ سانتیمتر

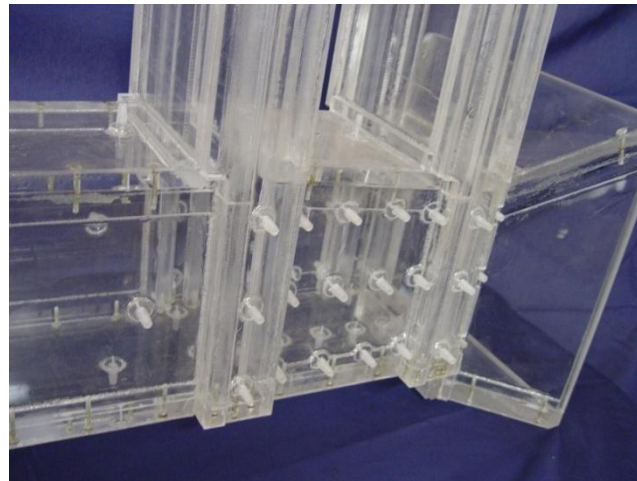
مدل گردیده و پیزومترهایی در نقاط مختلف این ماجرا بر روی سقف، کف و دیواره راست برای اندازه‌گیری فشار استاتیک متوسط نصب گردیده است (عکس شکل شماره ۴-۳).



شکل ۴-۳: (مقطع و پلان) نمایی از مجرای بالادست دریچه اضطراری

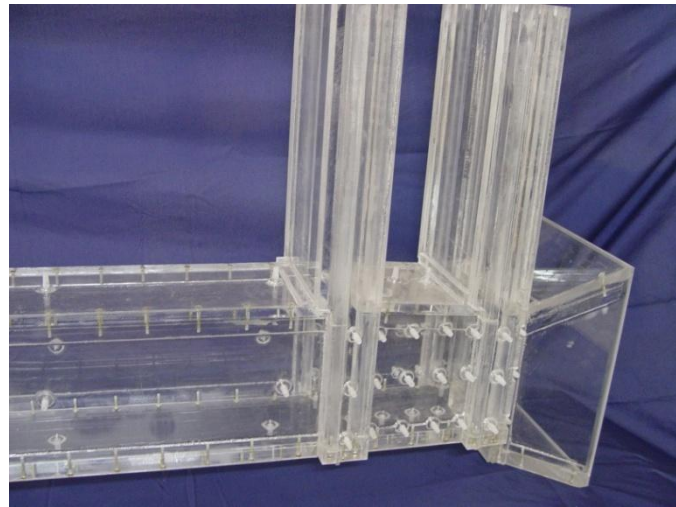
به منظور افزایش دقیق در اندازه‌گیری فشارهای وارد بر دریچه در تخمین نیروها و تحلیل ارتعاشات احتمالی شیار دریچه اضطراری، اتافک دریچه، هواده و مجرای میان دو دریچه اضطراری و سرویس به دقیق و مطابق با نقشه‌های کارفرما اجرا شده است. همچنین برای بررسی دقیق الگوی جریان، افت‌های ناشی از طرح، لایه برشی جریان و جت خروجی از دریچه و به منظور بررسی گردابهای تشکیل شده بین دو دریچه و بررسی اثر و میزان هواده‌ی پیزومترهایی در نقاط بحرانی نصب شده است. برای

اندازه‌گیری سرعت هوا در لوله هواده نیز پیزومتری روی آن نصب شده است. در عکس شماره (۵-۳) محدوده شیار و اتاقک دریچه اضطراری دیده می‌شود.[29]



شکل ۵-۳: (مقطع و پلان) نمایی از شیار و مجرای پایین‌دست دریچه اضطراری

دریچه اضطراری از نوع کشوئی ساده و از جنس پلگسی‌گلاس ساخته شده است. این دریچه دارای صفحه مقاوم در برابر جریان در بالادست آن می‌باشد (upstream skin plate). تقویت‌کننده‌های دریچه، زاویه لبه زیرین دریچه و لاستیک‌های آب‌بندکننده دریچه به دقت ساخته و نصب و شفت قائمی به منظور حرکت دریچه روی آن نصب گردیده و همچنین برای بازشدنی‌های مختلف دریچه اشل مناسبی مقابل بازوی خارجی شفت نصب و نیز شیار دریچه مدرج شده است. برای اندازه‌گیری فشارهای وارد بر دریچه تعداد ۸ پیزومتر روی دریچه تعییه و تمام این پیزومترها به شلنگ‌های رابط، محکم متصل و از طریق فضاهای باز داخل دریچه به بیرون هدایت و با اتصال به مانومترهای قائم، فشار نقاط فوق برداشت گردیده است. در عکس شکل شماره (۶-۳) نمای بالادست دریچه اضطراری و در عکس شماره شکل (۷-۳) مقطع راست دریچه دیده می‌شود.[29]



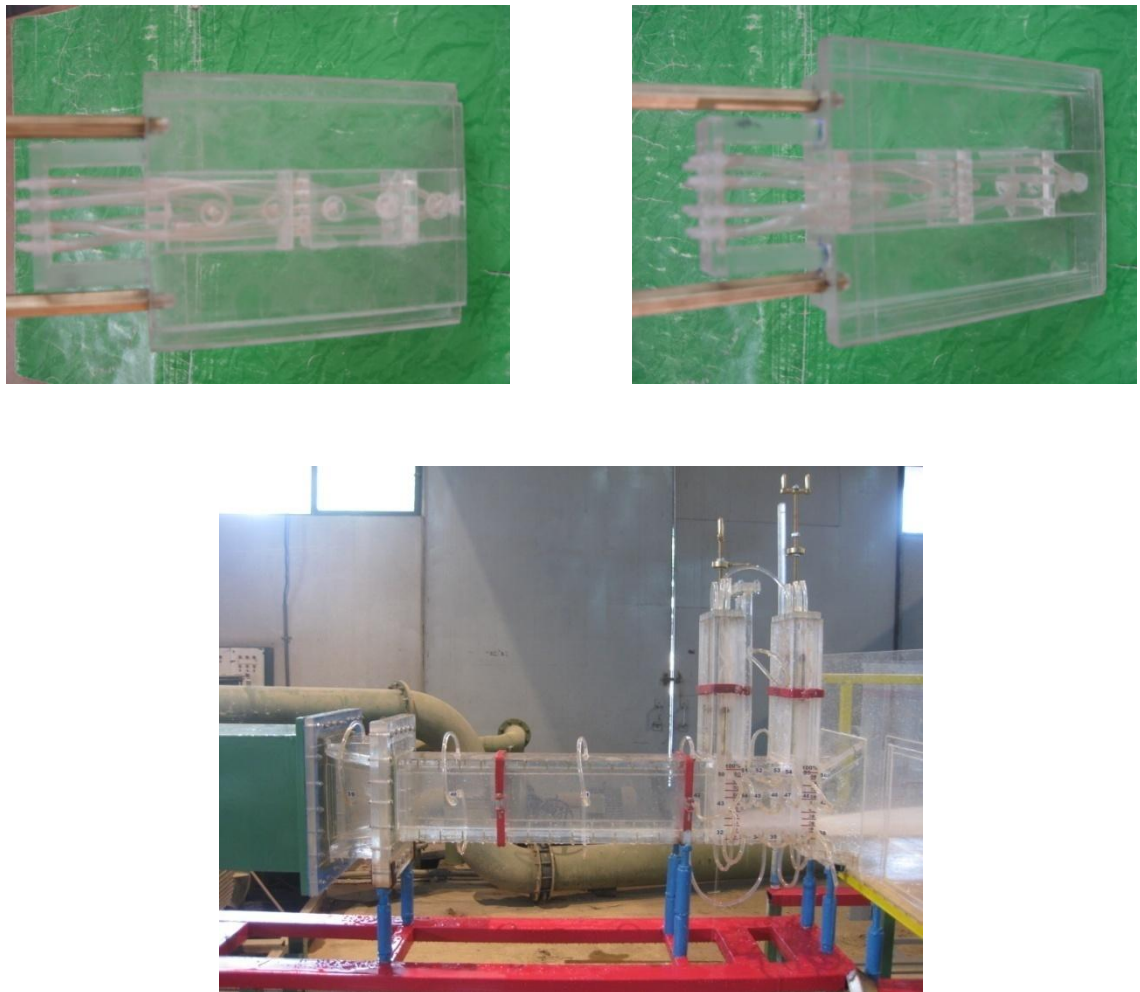
شکل ۳-۶: نمایی از بالادست دریچه اضطراری



شکل ۷-۳: (مقطع و پلان) دریچه اضطراری

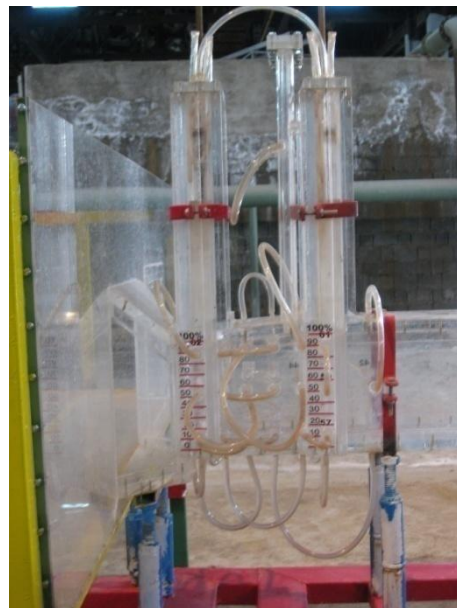
برای بهره‌برداری از تخلیه کننده تحتانی دریچه سرویس از نوع کشوئی طراحی شده است. این دریچه در مدل با ورق شفاف ساخته و تعداد ۸ پیزومتر برای اندازه‌گیری فشار روی آن نصب گردیده است. بازوهای نگهدارنده دریچه بطور شماتیک و با مکانیزم فیزیکی برای حرکت اجرا شده است. ضمناً لاستیک‌های آب‌بند نیز مطابق نقشه‌های مشاور درنظر گرفته و نصب گردیده است (عکس شماره ۳-۳).

.(۸)



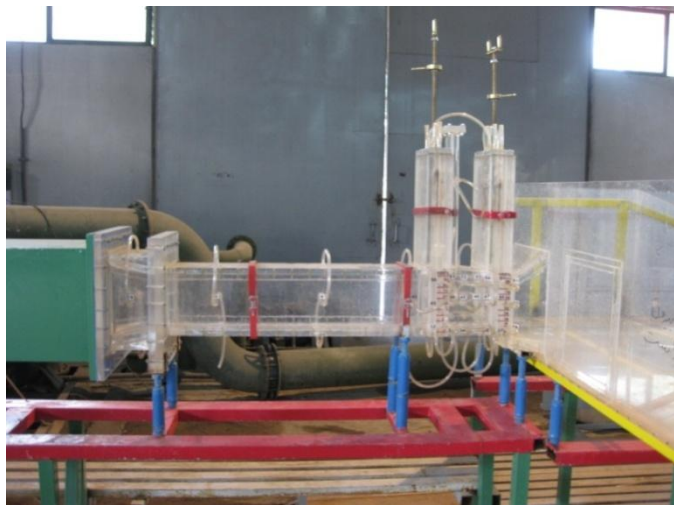
شکل ۸-۳: (مقطع و پلان) نمایی از دریچه سروبس

در قسمت خروجی مجرای تخلیه کننده، به منظور بررسی اثر هوادهی و میدان جریان، طول حدود ۲.۵ متر که معادل ۲۵ سانتیمتر در مدل می‌گردد در نظر گرفته شده است. جت خروجی پس از عبور از این مجا وارد یک حوضچه می‌گردد. علت انتخاب این محدوده، شبیه‌سازی نسبی هندسه پائین دست می‌باشد که عبور هوا به داخل مجرای را بهتر مدل نماید (عکس شکل شماره ۹-۳). [29].



شکل ۹-۳: نمایی از مقطع خروجی

در قسمت‌هایی همچون اتصال مدل به مخزن، در فلانچها و اتصالات قسمت‌های مختلف مدل برای آب‌بند نمودن از لاستیک اسفنجی فشرده و در صورت لزوم از چسب آکواریم استفاده می‌شود. برای آب‌بند نمودن سطوح تماسی دریچه با تکیه‌گاهها نیز از درزگیر لاستیکی فشرده با ضخامت ۱ میلی‌متر استفاده شده است. همچنین جهت جلوگیری از تغییر شکل احتمالی مدل که غیرمستقیم بر نتایج آن تاثیر می‌گذارد، از تسمه‌های محکم (دور مدل قرار گرفته) استفاده شد و در اتصالات مدل نیز از تعداد متنابهی پیچ ظریف و چسب آکواریوم جهت تقویت این اتصالات استفاده گردیده است (عکس شماره ۱۰-۳).



شکل ۱۰-۳: نمایی از فلانج‌ها و اتصالات مدل

### ۴-۳ - ابزارهای اندازه‌گیری

به منظور اندازه‌گیری مقادیر متوسط فشار، از تعداد متنابه‌ی پیزومتر استفاده می‌گردد. در مدل تخلیه‌کننده تحتانی سد مخزنی ژاوه ۱۸۰ پیزومتر جهت اندازه‌گیری فشار در مکان‌های مختلف مجرای شامل ورودی، بدنه دریچه‌ها، شیارهای دریچه، دیوارهای کف تونل پایین‌دست مجرای و حوضچه آرامش در نظر گرفته شده است. موقعیت این نقاط اندازه‌گیری فشار با توجه به شکل هندسی مقطع و تغییرات آن به گونه‌ای که نشان‌دهنده احتمال جدایی جریان، افت فشار و رخداد پدیده کاویتاسیون باشد، انتخاب گردیده است.

ارتفاع آب موثر در مخزن توسط پمپ‌های ورودی و شیرهای تخلیه خروجی مخزن قابل تنظیم می‌باشد. اندازه‌گیری هد مورد نظر با استفاده از یک مانومتر قائم متصل به مخزن مطابق عکس شکل شماره (۱۱-۳) صورت خواهد گرفت. با توجه به قطور بودن نسبی این لوله، نوسانهای سطح آب در آن به خوبی مستهلك شده و لذا انتظار می‌رود که از دقت بالائی برخوردار باشد.[29]



شکل ۱۱-۳: نمایی از مانومتر قائم متصل به مخزن برای اندازه‌گیری ارتفاع آب مخزن

سرعت هوا در داخل برج‌های هواده، در سه نقطه در یک مقطع در داخل داکت های چپ و راست هواده با استفاده از دستگاه Hot Wire، به ازاء دبی‌های مختلف و باز شدگی‌های مختلف اندازه‌گیری می‌شود. اندازه‌گیری سرعت هوا در نقاط مختلف در داخل برج‌های هواده‌ی به منظور دستیابی به یک میزان متوسط سرعت در داخل داکت صورت می‌پذیرد. هدف از اینگونه اندازه‌گیری افزایش دقت اندازه‌گیری سرعت هوا در داخل داکت است. عکس شکل ( ۱۲-۳ ) نشان دهنده دستگاه Hot Wire است.[29]



شکل ۱۲-۳: نمایی از یک دستگاه Hot wire جهت اندازه‌گیری سرعت هوا

### ۳ - خطاهای اندازه‌گیری در مدل

خطا در ساخت مدل: در حین ساخت مدل و نصب تجهیزات و قطعات باید دقت و وسوس خاصی به خرج داد. زیرا تشابه‌سازی دقیق هندسی منجر به تشابه‌سازی مناسب سینماتیکی و تا حدی دینامیکی بین مدل و نمونه واقعی خواهد شد. در این راستا تعیین تراز دقیق بعضی قسمت‌ها مانند رقوم تاج سرریز و اشل‌بندی قسمت‌های مختلف سازه، جهت تعیین عمق یا تراز سطح آب، از اهمیت مضاعفی برخوردار است. تعیین تراز قسمت‌های مختلف دوربین با نشانه‌روی به خط‌کش مخصوص که تا حد میلیمتر مدرج شده است، معادل  $0.5 \pm$  میلیمتر در مدل ( $12/5 \pm$  میلیمتر در نمونه واقعی) می‌باشد. لذا سعی می‌شود تراز قسمت‌های مختلف مدل تا دو رقم اعشار انعکاس یابد.

قرائت تراز سطح آب در مخزن بالادست توسط اشل میله‌ای (یا لمینیمتر) انجام می‌پذیرد. دقت اندازه‌گیری تراز آب (با فرض انطباق صحیح نوک سوزن اشل بر سطح آب)، معادل  $0.1 \pm$  میلیمتر می‌باشد. حال چنانچه خطای انسانی را برای عدم انطباق دقیق سوزن اشل با سطح آب در نظر بگیریم، میزان دقت را می‌توان  $1mm \pm$  در مدل ( $\pm 25mm$  در واقعیت) تخمین زد. برای اندازه‌گیری عمق توسط خط‌کش مدرج شده بر روی دیوار، بسته به شرایط جریان، میزان خط متفاوت می‌باشد. در جریان یکنواخت و بدون نوسان، میزان خطای اندازه‌گیری عمق به  $1mm \pm$  در مدل و در جریان‌های نوسانی نظیر جریان در کانال‌های جانبی و حوضچه‌های آرامش، این خط می‌تواند تا حد  $5mm \pm$  در مدل ( $\pm 125mm$  در واقعیت) بالغ گردد.

خطای اندازه‌گیری سرعت بستگی به شرایط جریان در نقاط مختلف دارد. در جریان یک بعدی سرعت با لوله پیتو اندازه‌گیری می‌شود. سرعت جریان اندازه‌گیری شده توسط لوله پیتو، توسط رابطه  $V = C\sqrt{2gh}$  تعیین می‌گردد که در آن  $h$  اختلاف ارتفاع آب در لوله‌های پیتو می‌باشد. با مشتق‌گیری رابطه فوق نسبت به  $h$ ، رابطه  $\Delta V = \frac{Cg\Delta h}{\sqrt{2gh}}$  حاصل می‌شود. که با تقسیم دو

رابطه، رابطه جدید  $\frac{\Delta V}{V} = \frac{\Delta h}{2h}$  بحسب خواهد آمد. مقدار  $\Delta h = \pm 1 \text{ mm} = \pm 0.001 \text{ m}$  می‌باشد.

برای سرعت‌های حدود  $1/5$  متر بر ثانیه در مدل، چنانچه  $C = 1$  باشد، مقدار  $h$  در لوله پیتو معادل

۱۱ سانتیمتر ( $110 \text{ cm}$ ) تعیین می‌گردد. پس:

$$\frac{\Delta V}{1.5} = \frac{\pm 0.001}{2 \times 0.11} \rightarrow \Delta V = \pm 0.0068 = \pm 0.68$$

یعنی دقت اندازه‌گیری سرعت در مدل،  $\pm 0.34 \text{ m/s}$  ( $\pm 0.68 \text{ cm/s}$ ) در واقعیت) خواهد بود. در

مناطق با سرعت کم، مانند کanal تقرب سریز و محدوده پایاب، سرعت جریان توسط دستگاه مولینه

اندازه‌گیری می‌شود که دقت اندازه‌گیری با آن در حدود  $\pm 0.25 \text{ m/s}$  ( $\pm 0.5 \text{ cm/s}$ ) در

واقعیت) است.[29]

#### ۴ - انجام آزمایش

همانطور که قبلاً گفته شد در این مدل دو دریچه وجود دارد که برای این پایان نامه از دریچه ابتدایی

برای تحقیقات استفاده شده است. علت انتخاب این دریچه وجود هواه بعد از آن است. این دریچه

دارای زاویه لبه  $22/5$  درجه می‌باشد. قبل از آنکه آب درون مدل جاری شود ابتدا دریچه برای باز

شدگی مورد نظر باز می‌شود. میزان درصد باز شدگی مورد نظر توسط شاخص در کنار دریچه

مشخص شده است. در این پایان نامه برای مدل فیزیکی از بازشدگی های  $30\%$  و  $50\%$  و  $70\%$  و  $90\%$

استفاده شده است. بعد از تنظیم بازشدگی دریچه مخزن تأمین هد از آب پر می‌شود. بدین منظور آب

از طریق کanal هایی که در داخل سالن های آزمایشگاه تعبیه شده، منتقل می‌شود. این کanal ها آب

استفاده شده در آزمایش را دوباره به مخازن تأمین هد آب هدایت می‌کنند. برای رساندن آب به

داخل مخزن و همچنین رساندن هد آب به میزان مورد نظر برای انجام آزمایش از پمپ آب الکتریکی

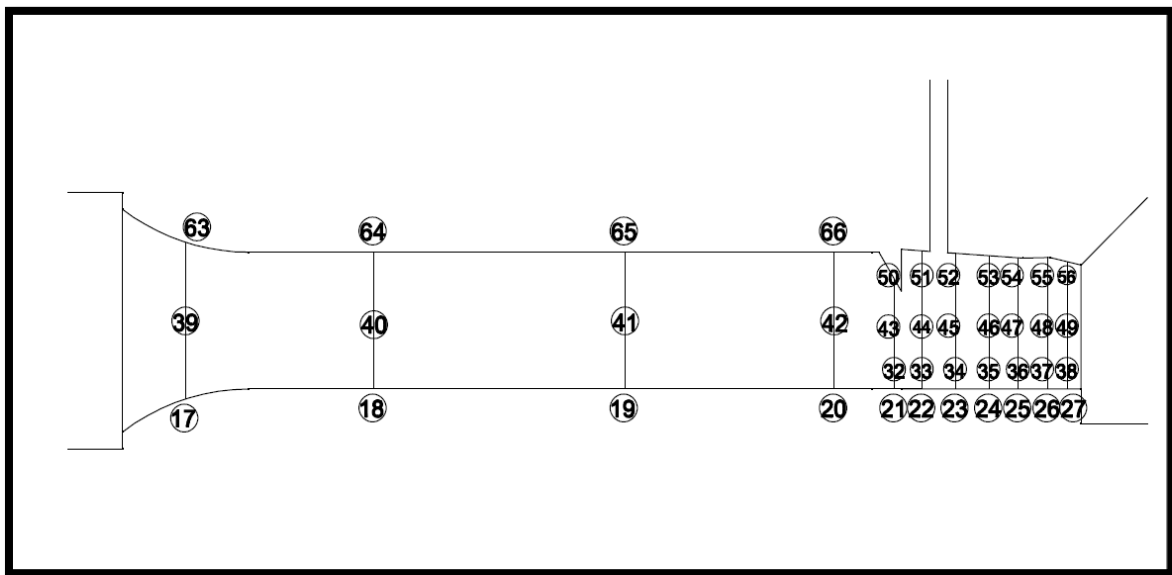
استفاده می‌شود. در آزمایش هایی که برای این پایان نامه انجام شده است از هد های ۲ و ۳ و ۴ و ۵

متر استفاده گردیده است. که برای رساندن آب به ارتفاع های پایین تر یک پمپ و برای ارتفاع های بالاتر از دو پمپ استفاده شده است.

برای قرائت پیزومتر های فشار که بر روی بدن مدل تعییه شده است باید تراز آب ثابت باقی بماند.

برای رسیدن به یک تراز مشخص از شیر BYPASS استفاده می شود که همچون تونل خروجی عمل می کند. باید به مقداری این دریچه باز شود که در هد مورد نظر میزان دبی آب ورودی توسط پمپ ها با مجموع دبی خروجی از زیر دریچه و دبی خروجی شیر BYPASS برابر شود. بدین منظور همواره باید به میزان ارتفاع آب درون مخزن توجه کرد تا از ارتفاع معین بالاتر یا پایین تر نرود و در صورت بالاتر رفتن آب از هد مورد نظر دریچه BYPASS باز شود و یا بالعکس. یکی از علل مهمی که باعث می شود نتوان به طور کامل مقدار تراز آب را ثابت نگهداشت، عدم کارکرد مناسب پمپ هاست. با کارکرد بیشتر پمپ و گرم شدن آن مقداری از توان پمپ کم می شود که تأثیر قابل توجهی بر روی هد آن و در نتیجه تراز آب می گذارد. همچنین نوسانات برق در مجموعه آزمایشگاه بر روی عملکرد پمپ بی تأثیر نیست. بدین سان باید تراز آب را در یک محدوده مشخص تنظیم کرد. برای تست های این پایان نامه از بازه ۵ سانتی متری برای تنظیم تراز ارتفاع هد آب استفاده شده است. برای مثال هد ۲ متر تراز آب در بازه  $2 \pm 0.05$  قرار دارد.

برای اندازه گیری فشار پیزومتریک از لوله متصل به مانومتر قائم استفاده شده است که برای قرائت هر کدام از پیزومتر ها شلنگ را به پیزومتر مورد نظر متصل و تراز آب از روی مانومتر قرائت شده است. در شکل ۱۳-۳ محل قرار گیری نقاطی که فشار آن در مدل توسط مانومتر اندازه گیری شده است نشان داده شده است.

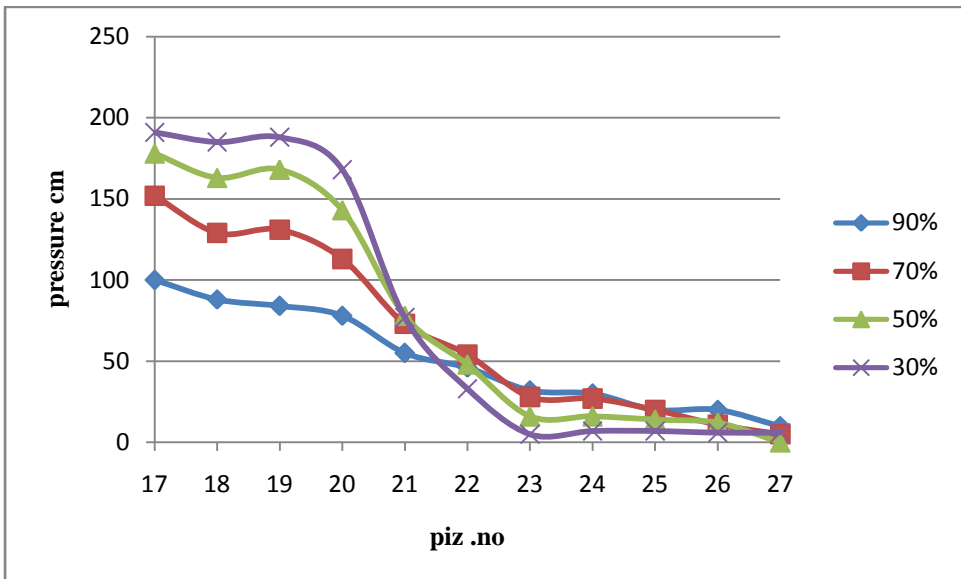


شکل ۱۳-۳: نمای قرارگیری پیزومترهای اندازه گیری فشار در مجرای تخلیه کننده تحتانی

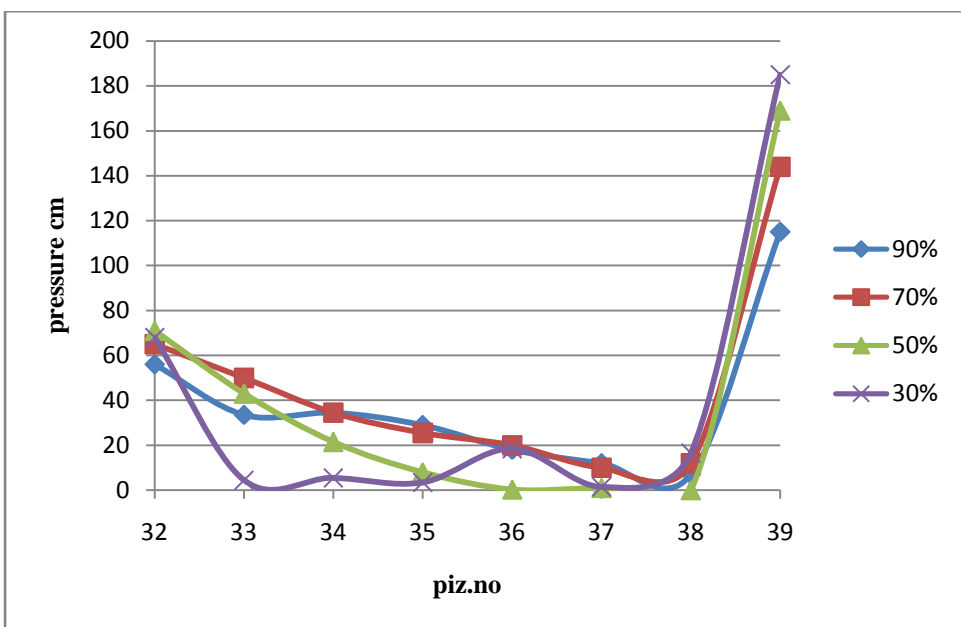
صفراحتناعی پیزومترها کف کanal بوده که به صورت افقی می باشد. مبدا فاصله افقی ابتدای شروع کanal است.

### ۳-۵ - ارائه نتایج مدل فیزیکی

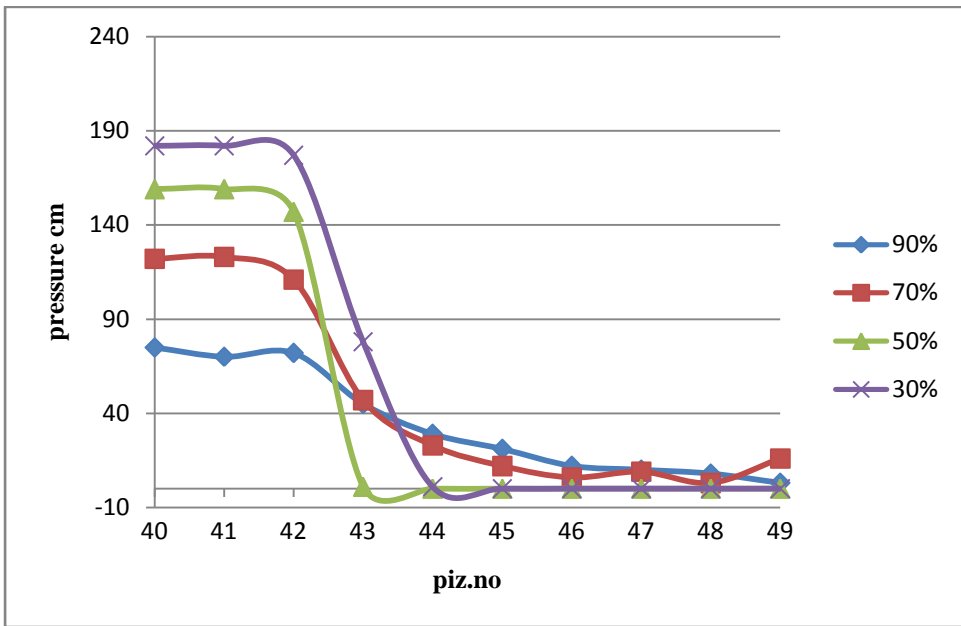
همانگونه که گفته شد تست های فیزیکی برای باز شدگی و هد مختلف تکرار شد. این تستها برای باز شدگی ۹۰ و ۷۰ و ۵۰ و ۳۰ درصد و همچنین هد های ۲ و ۳ و ۴ و ۵ متر انجام شده است. برای هریک از تست ها مقادیر فشار پیزومتریک اندازه گیری و در شکل های ۱۴-۳ الی ۲۹-۳ بر حسب سانتیمتر نشان داده شده است. لازم به ذکر است که محور افق در نمودارهای فوق معرف پیزومتر بوده که موقعیت آن بر اساس شکل ۱۳-۳ قابل ملاحظه است.



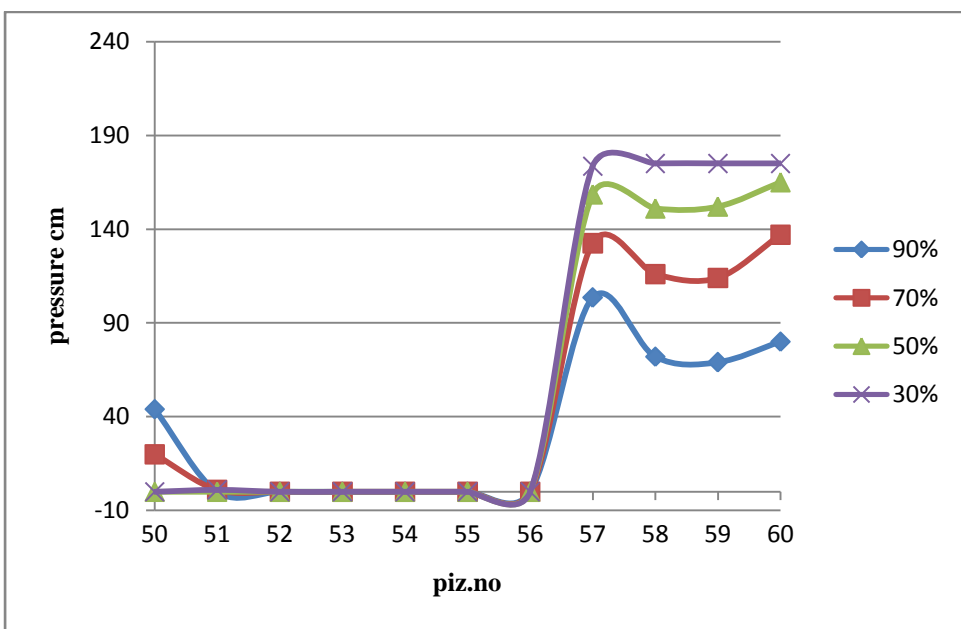
شکل ۱۴-۳: مقادیر فشار پیزومتریک اندازه گیری شده در مدل با هد ۲ متر در پیزومترهای ۱۷ الی ۲۷



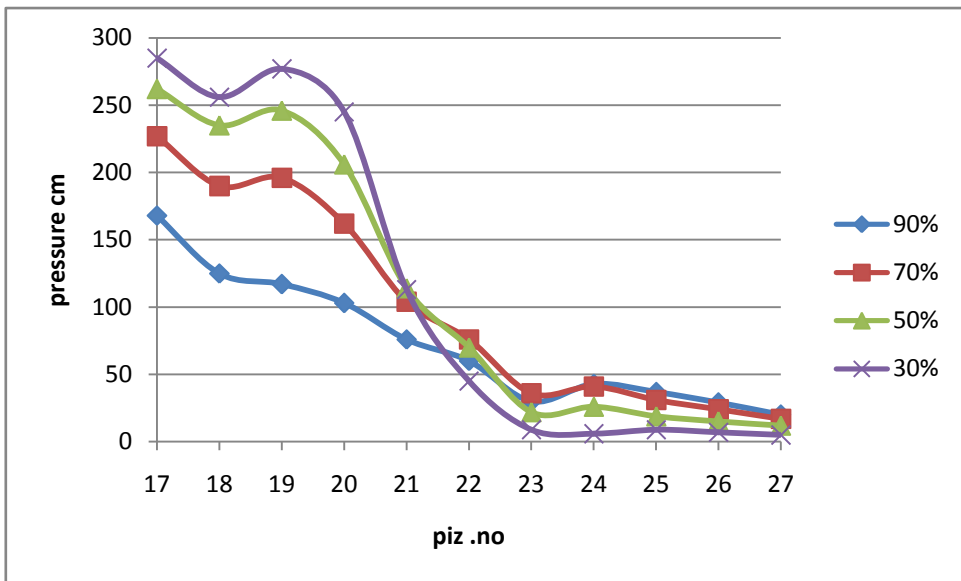
شکل ۱۵-۳: مقادیر فشار پیزومتریک اندازه گیری شده در مدل با هد ۲ متر در پیزومترهای ۳۲ الی ۳۹



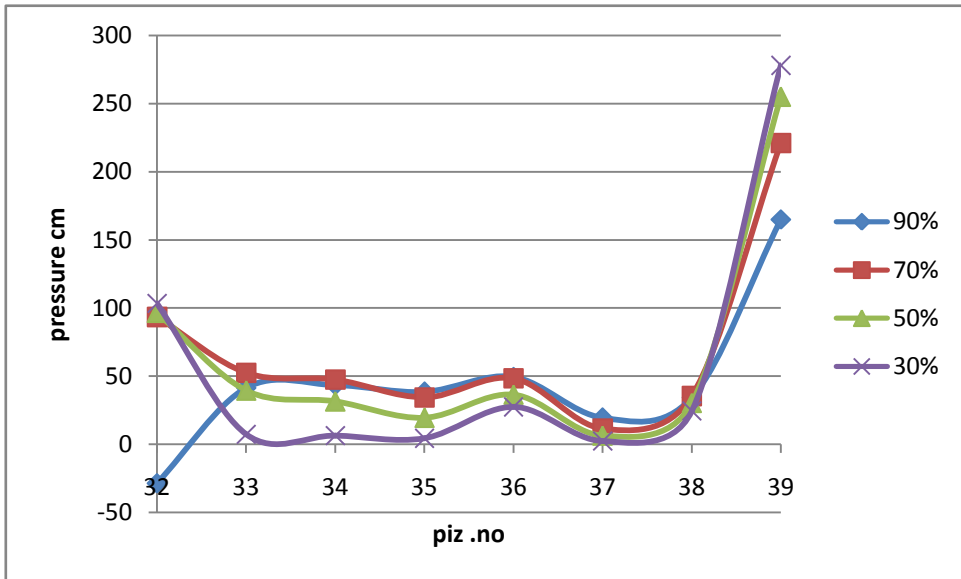
شکل ۱۶-۳: مقادیر فشار پیزومتریک اندازه گیری شده در مدل با هد ۲ متر در پیزومترهای ۴۰ الی ۴۹



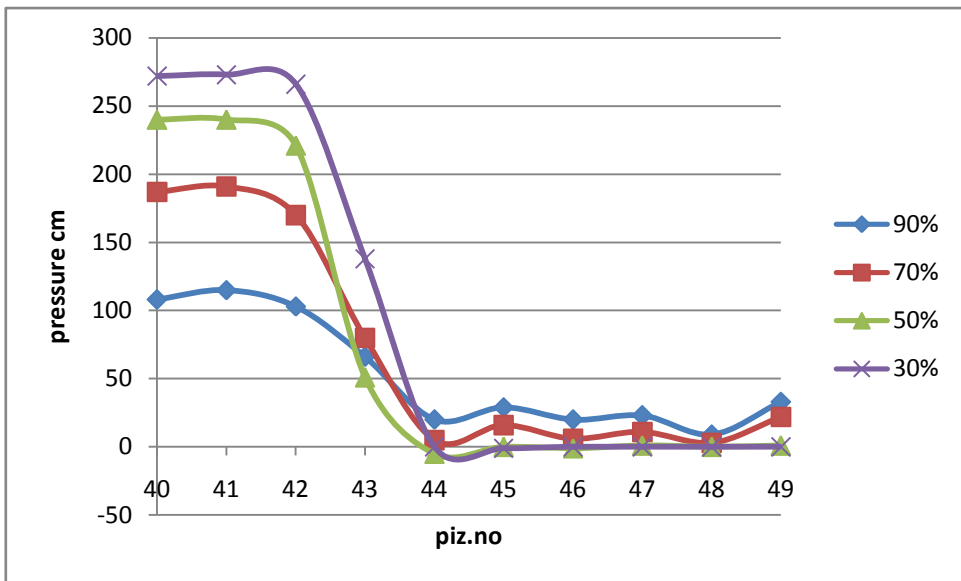
شکل ۱۷-۳: مقادیر فشار پیزومتریک اندازه گیری شده در مدل با هد ۲ متر در پیزومترهای ۵۰ الی ۶۰



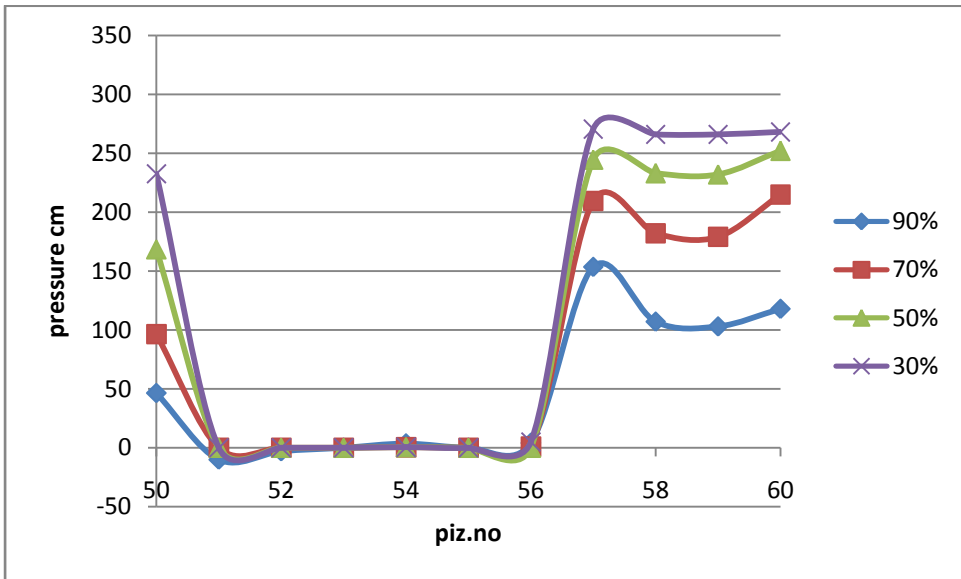
شکل ۱۸-۳: مقادیر فشار پیزومتریک اندازه گیری شده در مدل با هد ۳ متر در پیزومتر های ۱۷ الی ۲۷



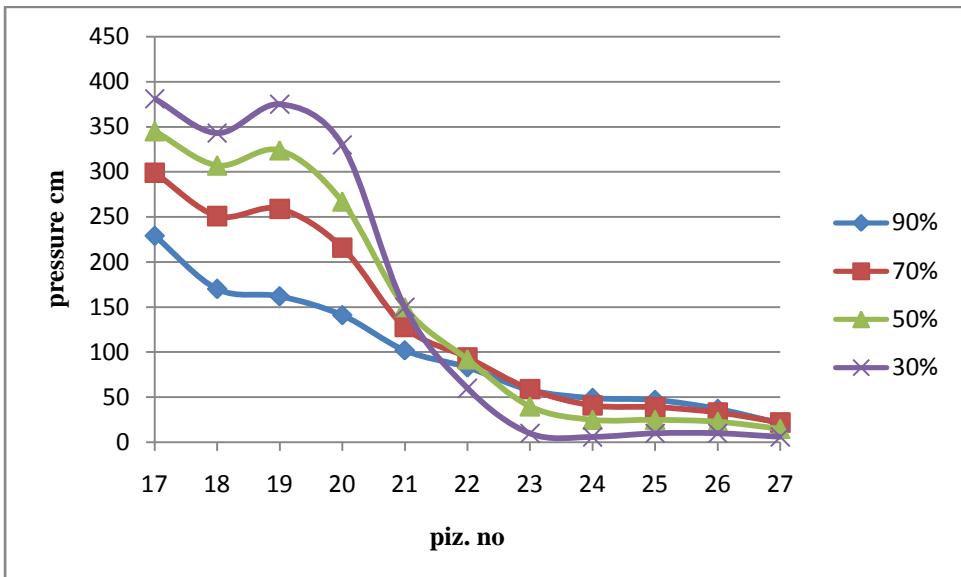
شکل ۱۹-۳: مقادیر فشار پیزومتریک اندازه گیری شده در مدل با هد ۳ متر در پیزومتر های ۳۲ الی ۳۹



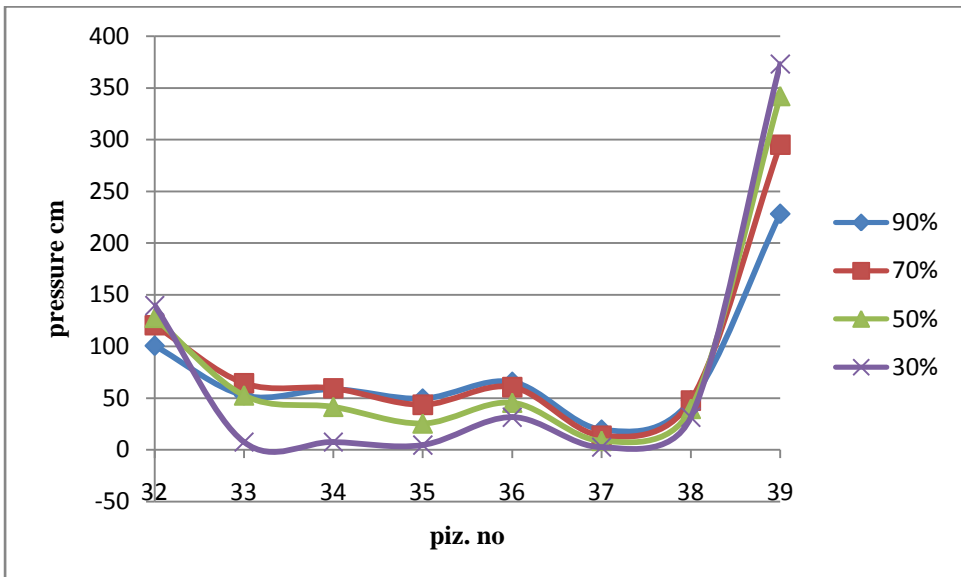
شکل ۲۰-۳: مقادیر فشار پیزومتریک اندازه گیری شده در مدل با هد ۳ متر در پیزومتر های ۴۰ الی ۴۹



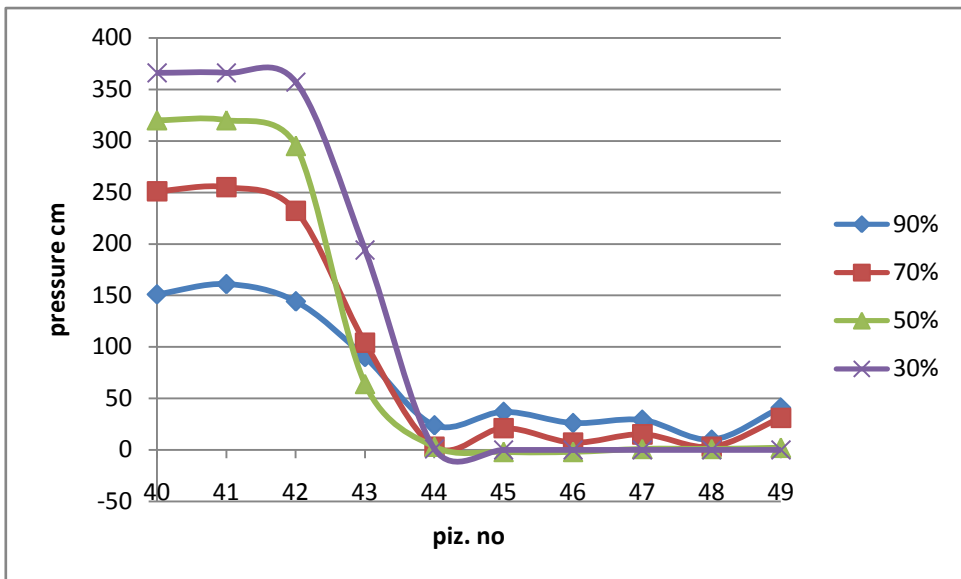
شکل ۲۱-۳: مقادیر فشار پیزومتریک اندازه گیری شده در مدل با هد ۳ متر در پیزومتر های ۵۰ الی ۶۰



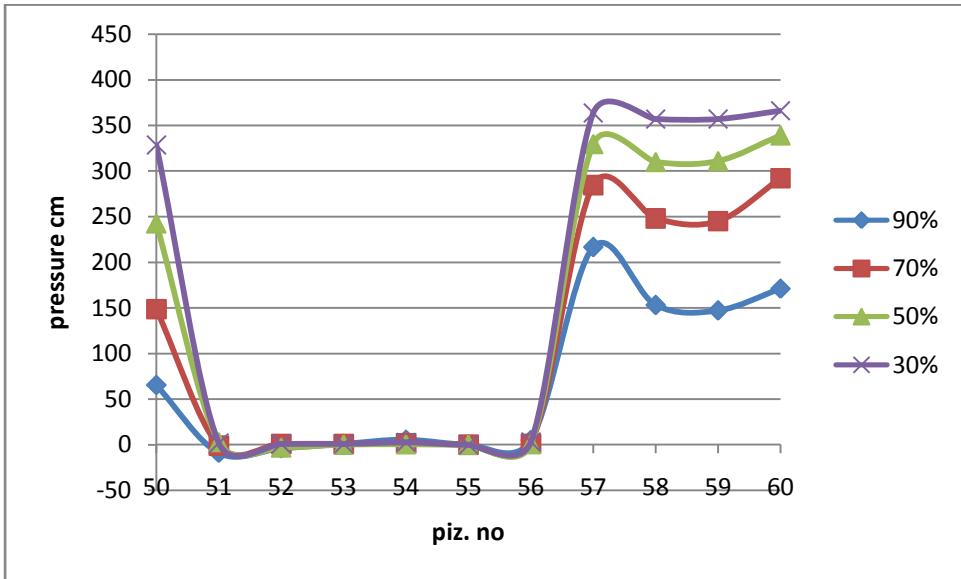
شکل ۲۲-۳: مقادیر فشار پیزومتریک اندازه گیری شده در مدل با هد ۴ متر در پیزومتر های ۱۷ الی ۲۷



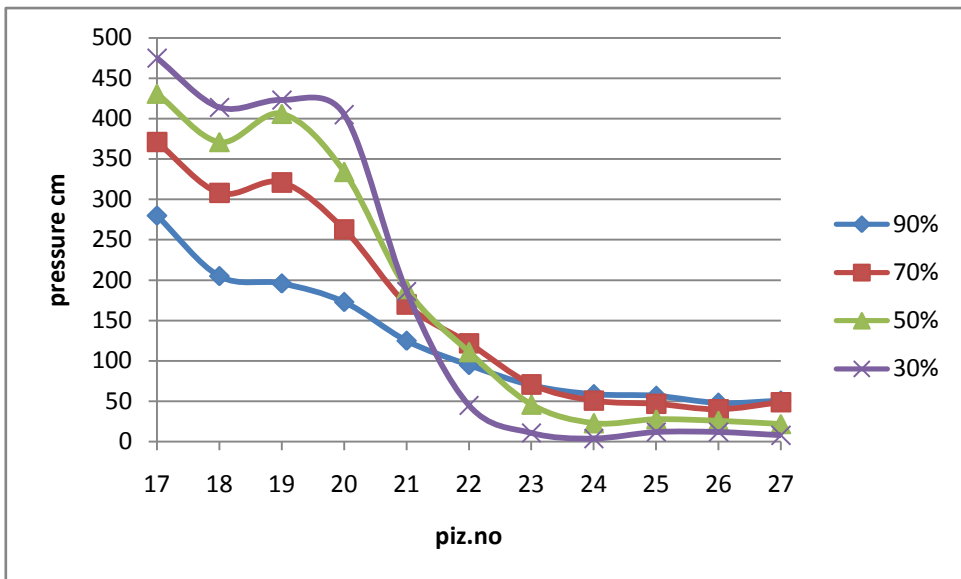
شکل ۲۳-۳: مقادیر فشار پیزومتریک اندازه گیری شده در مدل با هد ۴ متر در پیزومتر های ۳۲ الی ۳۹



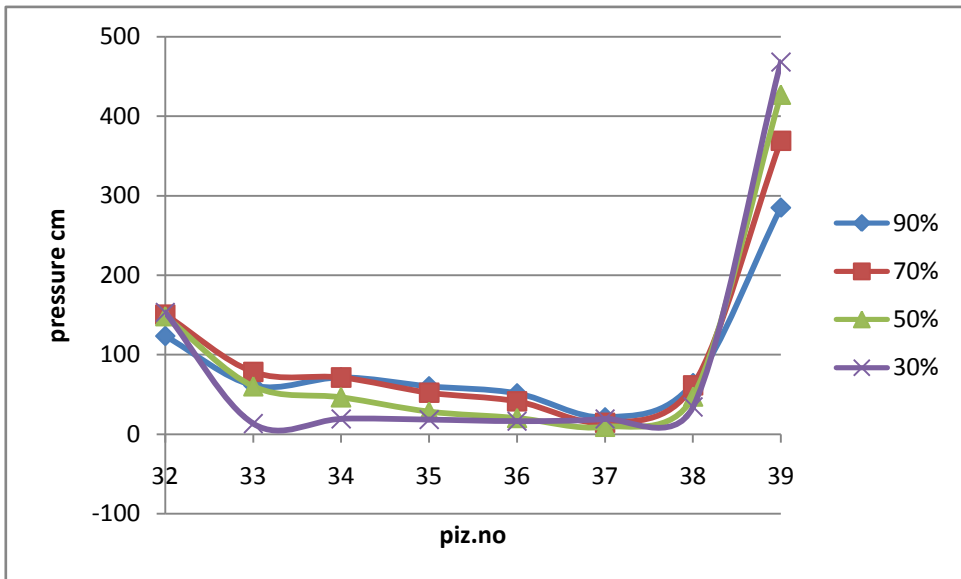
شکل ۲۴-۳: مقادیر فشار پیزومتریک اندازه گیری شده در مدل با هد ۴ متر در پیزومتر های ۴۰ الی ۴۹



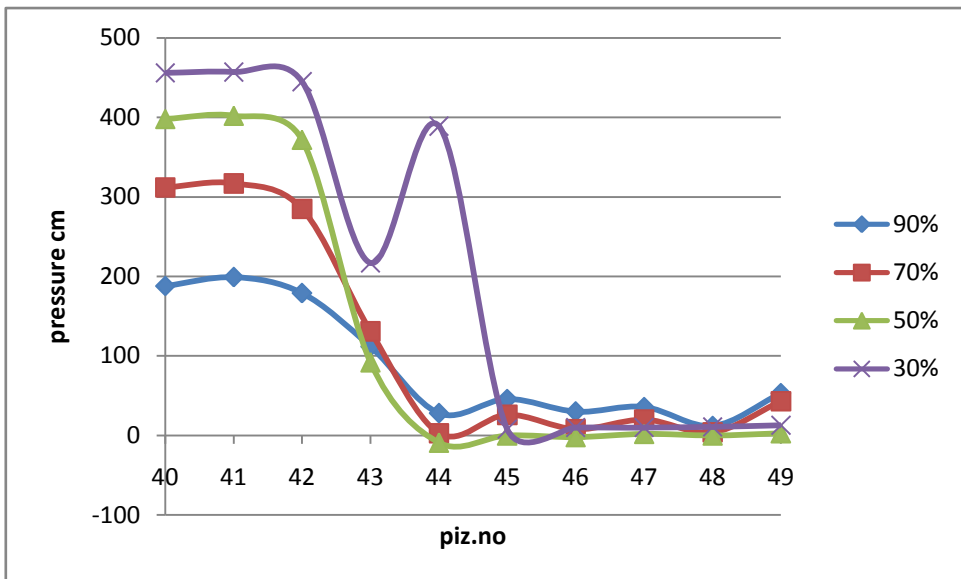
شکل ۲۵-۳: مقادیر فشار پیزومتریک اندازه گیری شده در مدل با هد ۴ متر در پیزومتر های ۵۰ الی ۶۰



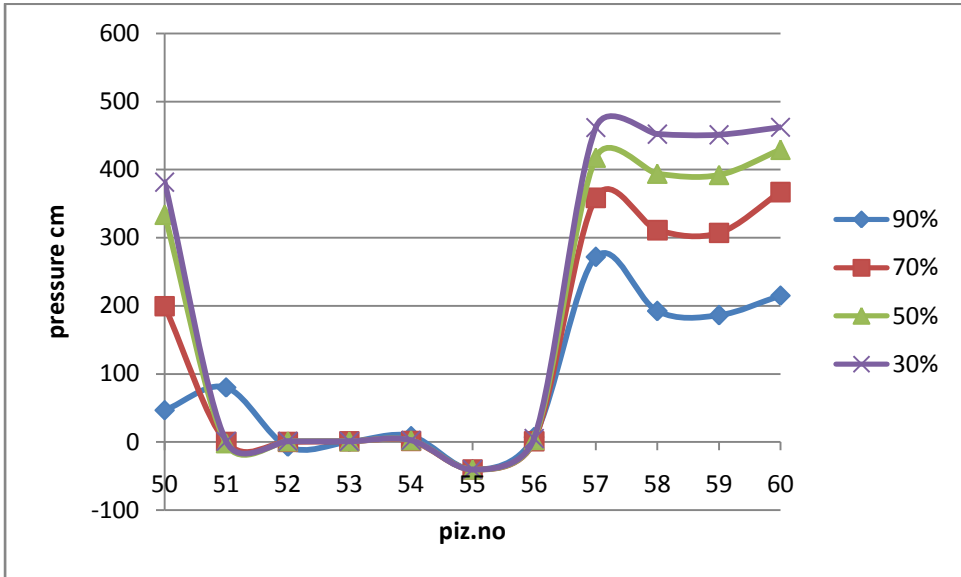
شکل ۲۶-۳: مقادیر فشار پیزومتریک اندازه گیری شده در مدل با هد ۵ متر در پیزومتر های ۱۷ الی ۲۷



شکل ۲۷-۳: مقادیر فشار پیزومتریک اندازه گیری شده در مدل با هد ۵ متر در پیزومتر های ۳۲ الی ۳۹



شکل ۲۸-۳: مقادیر فشار پیزومتریک اندازه گیری شده در مدل با هد ۵ متر در پیزومتر های ۴۰ الی ۴۹



شکل ۲۹-۳: مقادیر فشار پیزومتریک اندازه گیری شده در مدل با هد ۵ متر در پیزومتر های ۵۰ الی ۶۰

در کلیه اشکال فوق روند تغییر فشار از بالادست دریچه تا محل دریچه نزولی می باشد. این روند با تغییر هد و بازشدگی ثابت می باشد. همچنین روند فوق در دیواره و کف مشابه می باشد. در پائین دست دریچه و ورود جریان به اتمسفر، فشار به شدت کاهش می یابد و تا مسافتی پائین دست نیز ادامه دارد. افزایش فشار با کاهش بازشدگی در بالادست دریچه نکته حائز اهمیت است که از نتایج استخراج گردیده و دقت و کارائی مدل را تأیید می نماید.

برای بدست آوردن سرعت جریان در هواده از دستگاه Hot wire استفاده شده است که نتایج در جدول (۳-۱) سرعت هوا در هواده برای تستهای انجام شده نشان داده شده است. همانطور که در این جدول نشان داده شده است مدل دارای دو داکت هواده بوده که یکی در سمت چپ و دیگری در سمت راست مجرا قرار دارد و میانگین این دو مقدار در مطالعات در نظر گرفته شده است.

جدول ۳-۱: مقادیر اندازه گیری شده سرعت هوا در هدها و بازشدگی مختلف دریچه تحتانی

Head of water (m)	Gate Opening (%)	speed of air (m/s)			Head of water (m)	Gate Opening (%)	speed of air (m/s)		
		Left side aeration	Right side aeration	Average			Left side aeration	Right side aeration	Average
2	90%	3.32	3.58	3.45	4	90%	3.63	3.9	3.765
2	70%	1.26	1.3	1.28	4	70%	2.39	2.6	2.495
2	50%	0.97	1.1	1.035	4	50%	1.88	2.1	1.99
2	30%	0.77	0.72	0.745	4	30%	1.63	1.5	1.565
3	90%	3.1	3.09	3.095	5	90%	4.54	4.48	4.51
3	70%	1.74	1.74	1.74	5	70%	3.47	3.2	3.335
3	50%	1.52	1.37	1.445	5	50%	2.42	2.39	2.405
3	30%	1.25	1.11	1.18	5	30%	1.99	1.97	1.98

در هر تست برای بدست آوردن دبی جریان از سرریز مثلثی واقع در انتهای مدل استفاده شد. بدین منظور با قرائت ارتفاع آب بر روی لبه سرریز با استفاده از لیمنیمتر مقدار دبی آب بدست آمده است. در مرکز تحقیقات آب برای بدست آوردن دبی خروجی از دو نوع سرریز مثلثی و مستطیلی استفاده شده است. رابطه کلی اندازه گیری دبی جریان روی سرریز مستطیلی ها عبارتست از [29]:

$$Q = \frac{2}{3} \sqrt{2g} C_d L h^{1.5} \quad (1-3)$$

تغییرات ضریب دبی  $C_d$  بصورت تابعی از  $h/p$ ، توسط معادله Rehbock بصورت زیر ارائه شده است.

$$C_d = 0.611 + 0.08 \frac{h}{p} \quad (2-3)$$

این رابطه برای  $\frac{h}{p} \leq 5$  کاربرد دارد. در این روابط  $Q$  دبی جریان (متر

مکعب بر ثانیه)،  $h$  فاصله لبه سرریز تا بالاترین تراز آب پشت سرریز (متر) ،  $L$  عرض سرریز یا عرض کanal (متر) و  $P$  فاصله لبه سرریز تا kف کanal است نمای سرریز مستطیلی در عکس شکل (۳۰-۳) نشان داده شده است.



شکل ۳۰-۳: نمای سرریز مستطیلی مورد استفاده جهت اندازه‌گیری دبی جریان

مطالعات فراوان روی سرریز مثلثی در مراکز آزمایشگاه های هیدرولیکی جهان بعمل آمده و ضرایب دبی آن حسب وضعیت قرارگیری آن نسبت به مخزن ارائه گردیده است. جهت اندازه گیری دبی با دقت کافی به وسیله سرریز مثلثی لازم است نکاتی در ساخت و نصب آن رعایت گردد. در این ارتباط لازم است تا عرض سرریز تمام عرض مخزن اندازه گیری را شامل و کاملاً عمودی و صاف باشد، آستانه سرریز از kف مخزن فاصله داشته و کوتاه نبوده و پشت صفحه سرریز (بالادست سرریز) صاف و عمود بر مخزن اندازه گیری قرار گیرد. همچنین لبه تاج سرریز به ضخامت ۱ تا ۲ میلیمتر و کاملاً صاف و یکنواخت بوده، تقاطع دو لبه سرریز بایستی زاویه دقیق و مورد نظر را داشته و انتهای لبه سرریز تحت زاویه حداقل  $60^{\circ}$  درجه در جهت جریان بطور مورب تراش داده شود. این سرریزها با صفحه برنجی به ضخامت ۶ میلیمتر ساخته شده و جریان باید به صورت آزاد از روی سرریز عبور نماید. لیمنیمتر اندازه گیری ارتفاع سطح آب نیز در فاصله پنج برابر بار آب روی سرریز نصب می گردد.

دبی سرریز مثلثی با استفاده از رابطه ( ۳-۳ ) حاصل می گردد که در آن  $Q$  دبی جریان عبوری از سرریز (متر مکعب بر ثانیه) ،  $C_d$  ضریب دبی که حسب مقدار جریان تغییر می یابد (برای دبی کم  $0/608$  و برای دبی زیاد  $0/584$ )،  $\theta$  زاویه بین دو لبه کاملاً صاف طرفین سرریز (زاویه سرریز مثلثی) بر حسب درجه و  $h$  بار آب روی سرریز بر حسب متر است.[29]

$$Q = \frac{8}{15} \sqrt{2g} C_d \ Tan \frac{\theta}{2} h^{\frac{5}{2}} \quad (3-3)$$

برای سرریز با زاویه  $90^\circ$  درجه (درجه  $= 90^\circ$ ) رابطه را می‌توان بصورت زیر نوشت.

$$Q = \frac{8}{15} \sqrt{2g} C_d h^{\frac{5}{2}} \quad (4-3)$$

با استفاده از رابطه بالا دبی عبوری از سرریز  $90^\circ$  درجه بازای هد آب محاسبه می شود. لازم بذکر است که باید بار آب روی سرریز حداقل ۵ سانتیمتر و ارتفاع سرریز ( $p$ ) از ۴۵ سانتیمتر کمتر نباشد. ضمن رعایت نکات در مورد ساخت و نصب سرریز مثلثی دقت اندازه گیری با سرریز مثلثی  $1\%$  می‌باشد. در جدول ۲-۳ دبی بدست آمده از سرریز مثلثی برای تستهای انجام شده نشان داده شده است.

جدول ۲-۳: تغییرات دبی اندازه گیری شده در هدها و بازشدنگی مختلف دریچه تحتانی

Q lit/s				
Head	30%	50%	70%	90%
2m	<b>24.71</b>	<b>41.87</b>	<b>59.37</b>	<b>78.17</b>
3m	<b>29.95</b>	<b>52.31</b>	<b>68.67</b>	<b>91.8</b>
4m	<b>34.65</b>	<b>60.42</b>	<b>82.57</b>	<b>103.8</b>
5m	<b>38.97</b>	<b>68.1</b>	<b>91.12</b>	<b>114.38</b>

در ادامه مقدار ضریب هوادهی برای تستهای انجام شده محاسبه شده است. ضریب هوادهی طبق رابطه زیر محاسبه می شود.

$$\beta = \frac{Q_{air}}{Q_w}$$

در شکل زیر نمودار ضریب هوادهی برای هدهای ۲، ۳، ۴ و ۵ متر و باز شدگی های معین شده محاسبه شده است.



شکل ۳۱-۳: نمودار ضریب هوادهی

# فصل چهارم

## ۴ - فصل چهارم : معرفی و کالیبره نمودن مدل عددی

### ۴ - مقدمه

اصولاً پیش‌بینی فرآیندهایی همچون جریان سیال به دو روش اصلی انجام می‌شود که شامل تحقیقات آزمایشگاهی و محاسبات تئوریک می‌شود. اطلاعات دقیق در مورد یک فرایند فیزیکی غالباً توسط اندازه‌گیری عملی بدست می‌آید. آزمایش‌های انجام شده در مورد یک سازه واقعی جهت پیش‌بینی عملکرد در بیشتر حالات به علت بزرگ بودن ابعاد بسیار گران و اغلب غیرممکن خواهد بود. لذا آزمایش بر روی مدل‌هایی با مقیاس کوچکتر انجام می‌گیرد. مساله‌ای که در اینجا وجود دارد بسط دادن اطلاعات از نمونه کوچکتر به نمونه اصلی است و این بسط دادن همیشه تمام جنبه‌های نمونه اصلی را شبیه سازی ننموده و در بسیاری موارد نیز با مشکلات جدی اندازه‌گیری و خطای وسائل اندازه‌گیری همراه می‌باشد. در پیش‌بینی بصورت محاسبات تئوری بیشتر از مدل‌های ریاضی استفاده می‌شود که اصولاً عبارت از یک سری معادلات ریاضی می‌باشند. در گذشته امکان پیش‌بینی بسیاری از موارد توسط ریاضیات کلاسیک ممکن نبود زیرا تنها برای تعدادی از مجهولات در مسائل علمی، معادلات لازم پیدا می‌شد. اما امروزه با توسعه روش‌های عددی و در دسترس بودن کامپیوترها این امکان وجود دارد که تقریباً برای اکثر مسائل علمی بتوان از یک مدل ریاضی استفاده نمود.

در روش‌های تئوری ابتدا با مشاهده پدیده فیزیکی به بیان معادلات دیفرانسیل مربوطه پرداخته و سپس به معادلات جزئی حاکم بر مسئله می‌پردازیم. پدیده‌هایی وجود دارند که برای آنها مدل ریاضی مناسبی ارائه شده است و پدیده‌هایی نیز وجود دارند که هنوز مدل ریاضی مناسبی برای آنها یافت نشده است (نظریه جریان دو فاز)، در اینجا استفاده از روش‌های عددی برای حل معادلات جریان سیال جای خود را باز می‌کند. علم دینامیک سیالات محاسباتی (CFD) به صورت یک ابزار توانا برای تحلیل رفتار جریان سیال و انتقال حرارت در سیستمهای با هندسه نامozون و معادلات حاکم پیچیده برای محققان و مهندسان درآمده و در دهه گذشته پیشرفت چشمگیری داشته است. در دهه ۱۹۸۰

حل مسائل جریان سیال توسط روش CFD موضوع تحقیق بسیاری از محققان و متخصصان شبیه‌سازی بوده و نرم‌افزارهای تجاری زیادی بوجود آمده است. در حال حاضر نرم‌افزارهای موجود در بازار ممکن است بسیار قوی باشند، اما عملکرد آنها هنوز نیازمند یک مهارت و درک بسیار بالا از سوی کاربر می‌باشد تا نتایج قابل قبولی در حالت‌های پیچیده بدست آید. در حالی که نرم افزارهای تجاری CFD بر اساس روش المان محدود رو به ضعف و زوال می‌باشند، بازار بطور مستمر در اختیار چهار نرم‌افزار PHOENIX، FLOW-3D، STAR-CD و FLUENT قرار گرفته که اساس کار همه آنها بر پایه روش احجام محدود بوده و دقت آنها توسط محققان زیادی مورد تایید قرار گرفته است.

دینامیک سیالات محاسباتی با ساختار عددی در تحلیل سیستم های شامل جریان سیال، انتقال حرارت و غیره کاربرد داشته و دارای مزايا و معایبی نسبت به روش‌های تجربی می‌باشد که می‌توان به آنها اشاره کرد. هزینه و زمان نسبتاً کم شبیه‌سازی، دقت و کاهش خطای انسانی در زمرة مزايا و در عوض عدم اطمینان نسبی به نتایج در حالت‌های پیچیده و فراوانی روشها و نبود یک راه حل کلی برای مسائل مختلف در زمرة معیب این روش‌ها می‌باشند.<sup>[30]</sup>

#### ۴ - معادلات حاکم:

قوانين حاکم بر جریان یک سیال تراکم ناپذیر لزج توسط یک معادل ظرفی و سه معادله اندازه مقدار حرکت در جهات محورهای سه گانه مختصات که به معادلات ناویر - استوکس معروف هستند، بیان می‌شود. این معادلات در واقع بیانگر پایداری جرم و اندازه مقدار حرکت می‌باشد. چنانچه جزئی کوچک از سیال به عنوان حجم کنترل ثابت در فضای محاسباتی در نظر گرفته شود، نیروهای واردہ بر آن و اصل بقای جرم و اندازه مقدار حرکت در این سلول به صورت معادلات مشتق جزئی نمایان می‌شوند. در جریان تراکم ناپذیر معادلات حاکم بر جریان به صورت معادلات زیر بیان می‌شود که در آنها  $\rho$  چگالی سیال،  $g$  شتاب ثقل،  $\mu$  لزجت سیال و  $P$  فشار می‌باشند.<sup>[31]</sup>

$$\nabla \cdot V = 0 \quad \text{معادله پیوستگی} \quad (1-4)$$

$$\rho \frac{DV}{Dt} = \rho g - \nabla P + \mu \nabla^2 V \quad \text{معادله اندازه مقدار حرکت} \quad (2-4)$$

به منظور حل میدان جریان آشفته بر اساس معادلات پیوستگی و ناویر- استوکس، نیاز است تا تنشهای رینولدز و معادلات آن به روش خاصی مدل شود. در این صورت در حالت جریان دو بعدی با وجود سه معادله (یک معادله پیوستگی و دو معادله اندازه حرکت)، سه مجھول میدان ( یعنی سرعت در جهت  $x$  و  $y$  و فشار) معین می‌شوند. ترمهای آشفته در معادلات بر اساس یک سری معادلات جبری و یا معادلات دیفرانسیل تعیین خواهند شد. مدل‌های آشفته با توجه به چگونگی استفاده مبانی طرح آنها و نیز تعداد معادلات دیفرانسیل جهت ارتباط تنشهای آشفته با سرعتهای متوسط‌گیری شده و یا گرادیانهای آنها به گروههای زیر تقسیم بندی می‌شوند. انواع مدل‌های آشفته مورد استفاده شامل مدل‌های صفر معادله ای، مدل‌های دو معادله ای، مدل تنش جبری و مدل تنش رینولدز می‌باشند که به صورت گسترده مورد استفاده قرار گرفته‌اند.

**مدل استاندارد  $k-e$  (دو معادله‌ای) :** مدل استاندارد  $k-e$  به عنوان کاربردی‌ترین مدل آشفته معرفی در محاسبات جریان مورد استفاده قرار می‌گیرد. این مدل توسط Launder و Jones معرفی شده که از لحاظ قدرت برنامه، اقتصادی بودن و دقت معقولانه برای دامنه های وسیع جریان از معروفیت زیادی برخوردار است. مدل استاندارد در اعداد رینولدز بالا بیشتر مورد استفاده قرار می‌گیرد.[32] مدل  $k-e$  یک مدل نیمه تجربی است که معادله  $k$  آن دقیقاً از ترکیب معادلات رینولدز حاکم بر جریان مشتق می‌شود اما معادله  $e$  حاکم، بر اساس شواهد تجربی و آزمایشگاهی و روابط ریاضی حاصل می‌گردد. معادلات حاکم بر این مدل توسط روابط زیر بیان می‌شود. در این معادلات  $G_k$  و  $G_b$  چشم‌های معادله  $k$  می‌باشند که به ترتیب اثر شناوری و گرادیان سرعت میانگین را در معادله  $k$  اعمال می‌کنند [33]

$$\rho \frac{Dk}{Dt} = \frac{\partial}{\partial x_i} \left[ \left( \mu + \frac{\mu_t}{\sigma_k} \right) \frac{\partial k}{\partial x_i} \right] + G_k + G_b - \rho \epsilon \quad \text{معادله} \quad (3-4)$$

$$\rho \frac{D\varepsilon}{Dt} = \frac{\partial}{\partial x_i} \left[ \left( \mu + \frac{\mu_t}{\sigma \varepsilon} \right) \frac{\partial \varepsilon}{\partial x_i} \right] + C_{1\varepsilon} \frac{\varepsilon}{k} (G_k + C_{3\varepsilon} G_b) - C_{2\varepsilon} \rho \frac{\varepsilon^2}{k} \quad \text{معادله} \quad (4-4)$$

با اصلاحات صورت گرفته بر روی مدل آشفتگی RNG و استاندارد k-ε، مدل‌های آشفتگی

REALIZABLE بدست آمده‌اند که این دو مدل آشفتگی در جریانهایی که دارای جریانات چرخشی

می‌باشد کاربرد فراوان دارد.[34]

**مدل RSM (پنج معادله‌ای)** : بجز فرض ایزوتروپیک بودن لزجت گردابه‌ای، مدل RSM دستگاه

معادلات RANS را با حل معادلات انتقالی برای تنش‌های رینولدز همراه با یک معادله برای نرخ تلفات

می‌بندد، که بدین معنی است که ۴ معادله انتقالی اضافی در جریان‌های دوبعدی و ۷ معادله انتقالی

اضافی در جریان‌های سه‌بعدی باید حل شود. چون مدل RSM، اثرات انحنای خط جریان، چرخش و

تغییرات سریع در نرخ کرنش را در روش سخت‌تر از مدل‌های یک معادله‌ای و دو معادله‌ای به حساب

می‌آورد دارای پتانسیل بالاتری در پیش‌بینی دقیق جریان‌های پیچیده می‌باشد. با این وجود، اعتبار

پیش‌بینی‌های مدل RSM هنوز هم محدود به فرضهای اعمال شده در مدل کردن عبارت‌های مختلف

در معادلات انتقالی دقیق برای تنش‌های رینولدز می‌باشد. رابطه کلی حاکم بر این مدل بصورت زیر

است که شامل ترموهای انتقال، پخش، تولید و استهلاک انرژی جنبشی آشفتگی می‌باشد.

$$\begin{aligned} \frac{\partial}{\partial t} (\rho \overline{u'_i u'_j}) + \frac{\partial}{\partial x_k} (\rho u'_k \overline{u'_i u'_j}) &= - \frac{\partial}{\partial x_k} [\rho \overline{u'_i u'_j u'_k} + p(\overline{\delta_{kj} u'_i} + \overline{\delta_{ik} u'_j})] + \\ \frac{\partial}{\partial x_k} \left[ \mu \frac{\partial}{\partial x_k} (\overline{u'_i u'_j}) \right] - \rho \left( \overline{u'_i u'_k} \frac{\partial u'_j}{\partial x_k} + \overline{u'_j u'_k} \frac{\partial u'_i}{\partial x_k} \right) - \rho \beta (g'_i \overline{u'_j \theta} + g'_j \overline{u'_i \theta}) \\ + p \left( \frac{\partial u'_i}{\partial x_j} + \frac{\partial u'_j}{\partial x_i} \right) - 2\mu \frac{\partial u'_i}{\partial x_k} \frac{\partial u'_j}{\partial x_k} - 2\rho \Omega'_k (\overline{u'_j u'_m} \varepsilon'_{ikm} + \overline{u'_i u'_m} \varepsilon'_{jkm}) + s_{user} \end{aligned} \quad (5-4)$$

این مدل از نظر توانایی برای همه مدل‌های آشفته کلاسیک حالت عمومی داشته و فقط شرایط اولیه و

یا مرزی در آن باید تامین شود. همچنین امکان محاسبه خیلی دقیق میدان جریان متوسط و

تنش‌های رینولدز برای جریانهای ساده و خیلی پیچیده شامل فواره ها، جریان در مجراهای متقارن

دایره‌ای و کانال غیردایره‌ای و جریان‌های قوس‌دار از جمله مزایای آن می‌باشند. قیمت خیلی بالای

محاسبات و کاربردی نبودن مدل به گستردگی مدل‌های طول مخلوط و  $\epsilon - k$  از جمله معایب آن اعلام شده است. همچنین جریانهای متلاطم بسیار متاثر از اثر دیواره می‌باشند. بنابراین توصیف مناسب و دقیق از تاثیر و نحوه توزیع سرعت در نزدیک دیواره از اهمیت ویژه‌ای در حل دقیق‌تر میدان جریان برخوردار است. Spalding و Launder در سال ۱۹۷۴ قوانینی را مطابق روابطه زیر ارائه کردند که به قانون استاندارد دیواره معروف می‌باشد. [35]

$$\begin{cases} U^* = \frac{U_p C_u^{1/4} K_p^{1/2}}{\tau_w / \rho} \\ y^* = \frac{\rho C_u^{1/4} K_p^{1/2} y_p}{\mu} \end{cases} \quad (6-4)$$

چنانچه  $y^*$  باشد در این صورت قانون لگاریتمی سرعت حاکم خواهد بود اما در نرم‌افزار FLUENT این مقدار کاهش یافته و  $y^* = 11.225$  جدا کننده این مرز می‌باشد. بنابراین رابطه حاکم بر این لایه چنین است.

$$U^* = \frac{1}{\kappa} \ln(Ey^*) \quad (7-4)$$

در این رابطه منظور از  $\kappa$  ثابت ون کارمن است که برابر  $0.42$  می‌باشد و  $E$  ثابت قانون دیواره می‌باشد که مقدار آن به صورت تجربی  $9/81$ ، سرعت میانگین در نقطه  $P$ ،  $K_p$  انرژی جنبشی آشفته در نقطه  $p$ ،  $y_p$  فاصله نقطه  $p$  از دیواره و  $\mu$  لزجت دینامیکی سیال می‌باشد. چنانچه

$y^* = u^*$  در ناحیه زیر لزج حاکم  $11.225$  باشد در این صورت رابطه خطی تنش کرنش بصورت  $y^* = \frac{\partial k}{\partial n}$  می‌باشد که  $n$  جهت بردار است. البته باید ذکر شود که برای معادله  $k$  شرط مرزی به صورت  $0 = \frac{\partial k}{\partial n}$  می‌باشد که  $G_k$  (ترم چشممه در معادله  $k$ ) و  $\epsilon_p$  مقدار نرخ پراکندگی آشفتگی در نزدیک دیواره یکه می‌باشد. ترم  $G_k$  برای مقادیر سلول کنار دیواره می‌باشد که به شکل زیر در معادلات اصلاح می‌گردد.

$$G_k \approx \tau_w \frac{\partial u}{\partial y} = \tau_w \frac{\tau_w}{\kappa \rho C_u^{1/4} K_p^{1/2} y_p} \quad (8-4)$$

$$ep = \frac{C_u^{3/4} \cdot K_p^{3/2}}{\kappa y_p} \quad (9-4)$$

### ۴ - مدل عددی :Fluent

نرم افزاری برای مدل کردن جریان سیال و انتقال حرارت در هندسه های پیچیده می باشد. این نرم افزار امکان تغییر شبکه بصورت کامل و تحلیل جریان با شبکه های نامنظم برای هندسه های پیچیده را فراهم می سازد. نوع مش های تولید و دریافت شامل شبکه هایی با المان های مثلثی و چهارضلعی برای هندسه دو بعدی و چهار وجهی و شش وجهی و هرمی یا گوه ای برای هندسه سه بعدی و شبکه های ترکیبی است. این نرم افزار به زبان برنامه نویسی C نوشته شده است. نرم افزار FLUENT قابلیت شبیه سازی و مدل سازی جریان در هندسه های پیچیده دو بعدی و سه بعدی، جریان تراکم پذیر و تراکم ناپذیر، جریان پایدار و ناپایدار، جریان های لزج، آرام و متلاطم، سیال نیوتونی و غیر نیوتونی، انتقال حرارت شامل انتقال طبیعی و اجباری و انتقال حرارت بصورت جابجایی و همرفت و تابشی را دارد. همچنین شبیه سازی جریان در محیط های متخال خل و جریان دوفازی و کاویتاسیون و جریان با سطح آزاد با اشکال پیچیده سطح از دیگر قابلیت های مهم این مدل می باشد. مراحل حل در FLUENT شامل وارد کردن شبکه و چک کردن آن، تعیین حل کننده، تعیین نوع مدل آشفته و مدل چند فازی، تعیین خصوصیات مواد، شرایط عملیات، شرایط مرزی و تنظیم پارامترهای کنترل حل، نمایشگر و مقداردهی اولیه و محاسبه و ذخیره سازی نتایج می باشد.

برای حل عددی در FLUENT دو روش عددی حل تفکیکی (Segregated) و حل وابسته (coupled) به دو صورت صریح (Explicit) و ضمنی (Implicit) به حل عددی می پردازد مطرح است. با انتخاب هر روش، FLUENT معادلات دیفرانسیلی را برای بقاء جرم، اندازه حرکت و در صورت نیاز برای انرژی و اغتشاش حل می نماید. اساس هر دو روش بر مبنای حجم کنترل است، یعنی کل منطقه به حجم های کنترل مجزا تقسیم بندی می گردد. هر دو روش تکنیکی مشابه دارند یعنی از روش حجم

محدود برای حل بهره می برند اما نحوه حل برای خطی سازی و حل معادلات متفاوت است. روش تفکیکی معادلات را پی در پی حل می کند (بعارتی جدا از یکدیگر) اما روش وابسته معادلات را به طور همزمان و وابسته به یکدیگر حل می کند. در حالت کلی روش تفکیکی برای یک متغیر، با استفاده از همه سلول‌ها حل صورت می‌گیرد و برای متغیر بعدی دوباره با استفاده از همه سلول‌ها حل صورت گرفته و به همین ترتیب حل ادامه می‌یابد. بنابراین حل صحیح به روش تفکیکی وجود ندارد. در برخی از مدل‌ها لزوماً باید از شیوه تفکیکی مانند مدل‌های چند فازی، مدل‌های احتراق، مدل‌های تشعشعی، مدل جریان‌های متناوب و مدل‌های تغییر فاز استفاده شود. در روش حل وابسته، معادلات حاکم بر جریان شامل پیوستگی، مقدار حرکت و انرژی و اجزاء شیمیایی بطور همزمان حل می‌شوند. معادلات حاکم برای مقادیر عددی در ادامه با استفاده از روشی که برای حل کننده تفکیکی مطرح شد (تصورت جدا از یکدیگر و جدا از مجموعه پیوسته) حل می‌شود. از آنجا که این معادلات غیرخطی می‌باشند، لذا چندین تکرار در حلقة فرآیند حل قبل از بدست آوردن حل همگرا باید انجام گیرد.<sup>[35]</sup>

در انفال معادلات دیفرانسیل اطلاعاتی که در حل دقیق این معادلات حاکم می‌باشد با مقادیر جدا از هم تعویض می‌گردد که بدین ترتیب توزیع پارامترهای دخیل در معادله دیفرانسیل به صورت ناپیوسته صورت می‌گیرد. عموماً در تعیین پروفیل انتخابی برای متغیر مورد نظر، منطقه کوچکی از میدان را پوشش می‌دهد که بدین ترتیب میدان محاسباتی به تعدادی میدان کوچکتر تقسیم می‌شود که هر یک از این میدانهای کوچک دارای یک پروفیل عرضی می‌باشد. معادله انفال رابطه جبری است که مقادیر متغیر در یک میدان کوچک را به هم مرتبط می‌سازد. دو روش عمدی به عنوان روشهای انفال میدان مطرح می‌باشد که به نام روش اجزای محدود و روش تفاضل محدود شناخته شده‌اند. تفاوت بین روشهای تفاضل محدود و اجزاء محدود از نحوه انتخابی پروفیلهای میدان‌های منفصل شده و نحوه بدست آوردن معادلات انفال حاصل می‌شود. روش دیگری که این تحقیق متنکی بر آن می‌باشد روش احجام محدود می‌باشد که دارای ظاهر روش تفاضل محدود است ولی بسیاری از ایده‌های اجزاء محدود را بکار می‌گیرد.

روش حجم محدود بعلت مستر بودن خاصیت بقای جرم در آن، در حل میدان جریان سیال نسبت به سایر روش‌های انفصل ارجح است. این روش یکی از حالات ویژه روش مانده‌های وزن‌دار می‌باشد، که در آن در ک مساقیم حالت فیزیکی مساله آسان می‌باشد. در این روش ابتدا دامنه مورد نظر به تعدادی حجم کنترل غیر هم پوشان تقسیم شده، بنحویکه هر حجم حول یک نقطه از میدان قرار گیرد و آنگاه از روی معادله دیفرانسیل روی حجم کنترل انتگرال گیری شده و معادلات به روش عددی منفصل می‌گردند. ایده اصلی در این روش انفصل تقریب معادلات دیفرانسیل جزئی در نقاط مجزا نمی‌باشد، بلکه شرط برقراری اصل بقای جرم بصورت ماکروسکوپی دارای اهمیت است. پس از انتگرال گیری روی حجم کنترل مدنظر مربوط به هر گره، عبارت جابجایی (Convection) و پخش (Diffusion) باید بگونه‌ای منفصل شوند که فرمولیندی حاصل پایدار و دقیق باشد.[36]

#### ۴.۳.۴ پدیده‌های انتقال و پخش

پدیده انتشار در طبیعت به صورت انتقال و پخش و پراکندگی انجام می‌گیرد. اکثر مسائل فیزیکی و هیدرولیکی مستقیماً شامل پدیده‌های انتقال و پخش می‌باشد. در حالت کلی معادله حاکم بر کمیت  $\Phi$  که انتقال این کمیت را بیان می‌کند به صورت زیر بیان می‌شود:

$$\frac{\partial(\rho\phi)}{\partial t} + \operatorname{div}(\rho u\phi) = \operatorname{div}(\Gamma \operatorname{grad}(\phi)) + S \quad (10-4)$$

که در سیستم کارتزین این معادله به صورت زیر مشخص می‌شود:

$$\frac{\partial(\rho\phi)}{\partial t} + \frac{\partial(\rho u_j \phi)}{\partial x_i} = \frac{\partial}{\partial x_j} \left( \Gamma \frac{\partial \phi}{\partial x_j} \right) + S \quad (11-4)$$

$$\frac{\partial}{\partial x_j} \left( \Gamma \frac{\partial \phi}{\partial x_j} \right) \text{ به عنوان ترم انتقال متغیر } \phi \text{ و پارامتر } \Gamma \text{ ترم پخش متغیر } \phi$$

در معادله معین می‌باشد. انتقال ترم‌های پخش و جابه‌جایی به روش‌های متفاوتی صورت می‌گیرد که چنانچه شبکه انتخاب شده به اندازه کافی ریز باشد، روش‌های گسسته‌سازی انتخابی در نتیجه نهایی تاثیر چندانی نخواهد داشت. اگر  $\Gamma$  مقدار ثابتی باشد و جریان تراکم ناپذیر فرض گردد در این صورت

$\rho u$  مقداری ثابتی خواهد بود که معادله دیفرانسیل ساده شده فوق در حالت یک بعدی به صورت زیر

تبديل می شود:

$$\rho u \frac{d\phi}{dx} = \Gamma \frac{d^2\phi}{dx^2} \quad (12-4)$$

در حل دقیق معادله دیفرانسیل فوق چنانچه دامنه محاسبه  $0 < x < L$  باشد و در مرزها مقادیر معین

باشند جواب معادله به صورت زیر خواهد بود:

$$\frac{\phi(x) - \phi_0}{\phi_L - \phi_0} = \frac{\exp(Px/L - 1)}{\exp(P - 1)} \quad \text{at } x=L, \phi = \phi_L \quad \text{at } x=0, \phi = \phi_0 \quad (13-4)$$

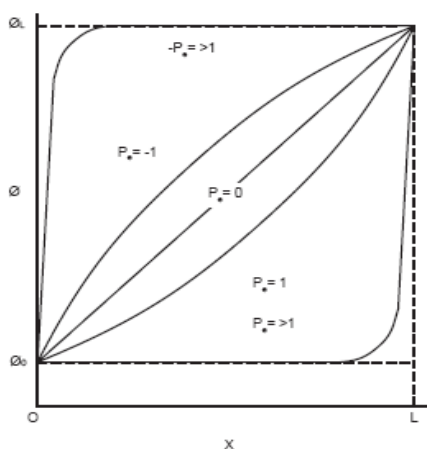
عدد Peclet  $P$  می باشد که به صورت نسبت قدرت جابه جایی به پخش تعریف می شود:

$$P = \frac{(\rho u)}{\left(\frac{\Gamma}{L}\right)} \quad (14-4)$$

چنانچه  $P=0$  باشد در این صورت پخش خالص بر میدان جریان حاکم است و انتقال هیچ اثری نخواهد

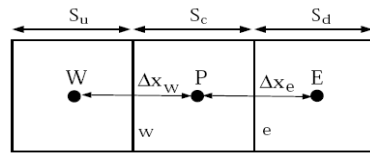
داشت و چنانچه  $P>1$  باشد، در این صورت ترم انتقال حاکم بوده و اثر پخش بسیار ناچیز

می باشد. تغییرات  $\phi$  نسبت به  $x$  بر حسب اعداد مختلف پکلت در شکل (1-4) ترسیم شده است.



شکل ۱-۴: تغییرات  $\phi$  نسبت به  $X$  بر حسب اعداد مختلف

چنانچه در معادله (۴-۱۰) در حالت یکبعدی حجم کنترلی مانند شکل (۲-۴) در نظر گرفته و بر روی حجم کنترل انتگرالگیری گردد، در این صورت روابط زیر حاصل می‌گردد. [37]



شکل ۲-۴: حجم کنترل در حالت یکبعدی

$$\rho u \frac{\partial \phi}{\partial x} = \frac{d}{dx} \left( \Gamma \frac{\partial \phi}{\partial x_i} \right) \quad (15-4)$$

$$\rho u (\phi_e - \phi_w) = \frac{\Gamma_e}{\partial x_e} (\phi_E - \phi_P) - \frac{\Gamma_w}{\partial x_w} (\phi_P - \phi_W) \quad (16-4)$$

#### ۴. ۳. حل میدان جریان

در حل میدان جریان تراکم ناپذیر در حالت دو بعدی حل سه معادله حاکم مشکل می‌باشد. در حل معادله پیوستگی پارامترهای سرعت میدان وجود دارد در حالیکه در معادلات مقدار حرکت در جهت  $x$  و  $y$  علاوه بر جهات سرعت پارامتر فشار نیز موجود می‌باشد که در حل معادلات این غیر یکنواختی باعث مشکل در کوپل کردن معادلات می‌شود اما چنانچه مقدار فشار در میدان محاسباتی مشخص باشد، مشکلی در حل میدان و استفاده از معادلات حاکم وجود نخواهد داشت. در یک میدان جریان واقعی به دلیل مجھول بودن فشار در میدان، معادله پیوستگی به طور غیر مستقیم، به معادله تصیح فشار تبدیل می‌شود. بعضی از مشکلات اولیه حل میدان ناشی از انتخاب نحوه انصاف میدان می‌باشد که باعث موج شدن در مقادیر میدان می‌گردد. بدین منظور برای هر پارامتر جریان ( $P$  و  $V$ ) یک حجم کنترل مخصوص به خود در نظر گرفته شده و معادلات منفصل شده مربوط به آن پارامتر حل می‌گردد. در حل معادلات غیر خطی حاکم بر میدان جریان نیاز به تخمین اولیه از میدان

جريان می باشد، که با مقادیر  $p^*.v^*.u^*$  معین می گردد. با توجه به مقادیر حدس حل میدان چنین

خواهد بود: [38]

$$a_e u_e^* = \sum a_{nb} u_{nb}^* + b + (p_p^* - p_E^*) A_e \quad (17-4)$$

$$a_n v_n^* = \sum a_{nb} v_{nb}^* + b + (p_p^* - p_S^*) A_n \quad (18-4)$$

منظور از  $A_e$  و  $A_n$  سطح عمود بر شار عبوری از وجه حجم سلول مدنظر می باشد. اگر  $P$  و  $V$  و  $U$  مقادیر واقعی متغیرهای میدان باشد، در این صورت اختلاف مقادیر حدسی و واقعی با معین می گردد.

$$u' = u - u^* \quad v' = v - v^* \quad p' = p - p^* \quad (19-4)$$

در کوپل کردن متغیرهای  $P$  و  $V$  و  $U$  چنانچه مقادیر حدسی به مقادیر واقعی نزدیک باشد در این صورت می توان روابط زیر را برای آن نوشت:

$$\sum a_{nb} u_{nb'} = 0 \Rightarrow u_e = u_e^* + d_e (p'_P - p'_E) \quad (20-4)$$

$$\sum a_{nb} v_{nb'} = 0 \Rightarrow v_n = v_n^* + d_n (p'_P - p'_N) \quad (21-4)$$

$$d_e/n = (A_e/n)/a_e/n \quad (22-4)$$

$$a_p p_{p'} = \sum a_{nb} p_{nb'} + b \quad (23-4)$$

$$b = \frac{\rho_p^0 - \rho_p}{\Delta t} \Delta x \Delta y + \left[ (\rho u^*)_w - (\rho u^*)_e \right] \Delta y + \left[ (\rho v^*)_s - (\rho v^*)_n \right] \Delta x \quad (24-4)$$

ترم  $b$  در معادله تصیح فشار قرینه معادله پیوستگی است. چنانچه این مقدار برابر صفر گردد مقادیر حدسی همان مقادیر واقعی خواهد بود. در این روش که به روش حل الگوی Simple معروف است [38]، میدان فشار و سرعت حدس زده و بر اساس معادلات مقادیر حدس سرعت بدست می آید. سپس معادله تصیح فشار  $p'$  حل تا تصیح مقدار فشار بر اساس رابطه  $P = P' + P^*$  محاسبه و در

ادامه معادلات U و V و سایر معادلات حاکم بر میدان مانند آشفتگی حل می‌شود تا فشار حدسی جدید جایگزین  $P^*$  شده و این مراحل تکرار گردد تا جایی که مقادیر همگرا شوند. یکی از محدودیت‌های الگوریتم Simple این است که سرعت‌های جدید و شار متناظر با آن، تعادل مومنتوم را پس از اینکه معادلات تصحیح فشار حل شدند، ارضا نمی‌کنند. در نتیجه محاسبات می‌بایست تا زمان ارضای تعادل تکرار شود. بنابراین جهت بهبود این قضیه، الگوریتم PISO تغییر مکان محاسبات تکراری مورد نیاز الگوریتم Simple به درون مرحله حل معادله تصحیح فشار سرعت می‌باشد. بعد از یک یا چند حلقه اضافی PISO، سرعت‌های تصحیح شده به خوبی معادلات پیوستگی و مومنتوم را ارضا می‌کنند.[40]

#### ۴.۳.۳. مدل‌سازی جریان چندفازی

پدیده‌های زیادی در طبیعت و تکنولوژی به صورت چند فازی هستند و در واقع بخش قابل توجه‌ای از جریان‌هایی که در طبیعت و تکنولوژی با آنها سروکار داریم جریان‌های چند فازی هستند. گاز، مایع و جامد فازهای فیزیکی مواد هستند. اما مفهوم فاز در جریان‌های چند فازی در معنای وسیع تری بکار می‌رود. در جریانات چند فازی یک فاز می‌تواند به عنوان یک گروه از مصالح قابل شناسایی که یک اینرسی پاسخ و برهمکنش خاص با جریان دارند تعریف شود. برای مثال اندازه‌های مختلف ذرات جامد از یک نوع مصالح می‌توانند به عنوان فازهای مختلف رفتار کنند زیرا هر مجموعه ای از ذرات با اندازه یکسان پاسخ دینامیکی همسانی با جریان دارد. رژیم‌های جریان‌های چند فازی را می‌توان به چهار گروه جریان گاز-مایع-مایع، جریان گاز-جامد، جریان مایع-جامد و جریان سه فازی (ترکیبی از سه مدل فوق) تقسیم نمود.

#### ۴.۴. روش‌های مدل‌سازی چند فازی

پیشرفت‌ها در محاسبات مکانیک سیال زمینه را برای بیشتر در دینامیک جریانات چندفازی فراهم می‌کند. بطور جاری دو روش اولری-اولری (Euler-Euler) و اولری-لاگرانژی (Euler-

(Lagrange) برای محاسبات جریان‌های چندفازی وجود دارد. مدل فاز گسسته لاغرانژین در FLUENT رویکرد اولر- لاغرانژ را دنبال می‌کند. فاز سیالی که به صورت پیوسته عمل می‌کند با معادلات میانگین گیری شده در زمان ناویر- استوکس حل می‌شود، در حالیکه فاز گسسته به وسیله پیگردی (Tracking) تعداد زیادی از ذرات، حباب‌ها و ریز قطره‌ها در سراسر حوزه برآورد شده سیال حل می‌شوند. فاز گسسته می‌تواند با فاز سیال تبادل مومنتوم، جرم و انرژی داشته باشد. فرض اساسی در این مدل آن است که فاز ثانویه گسسته کسر حجمی کمی را اشغال می‌کند، ولواینکه جرم حجمی زیادی داشته باشد،  $\dot{m}_{\text{particles}} \geq \dot{m}_{\text{fluid}}$ . مسیرهای حرکت ذره و ریز قطره در طی محاسبات فازی سیال در فواصل مشخص محاسبه می‌شود. این روش مدل‌های مناسبی را برای مخلوط‌های سوخت مایع و ذغال سنگ و بعضی از جریانات مملو از ذرات می‌سازد و برای مدل کردن اختلاط‌های مایع- مایع و یا هر کاربردی که در آن نمی‌توان از فاز دوم صرفنظر کرد نامناسب است.

در روش اولری- اولری فازهای پیوسته بصورت گسسته چون حجم یک گاز نمی‌تواند توسط فاز دیگر اشغال شود در هم نفوذ می‌کند. کسرهای حجمی بصورت توابع پیوسته‌ای از زمان و مکان فرض شده‌اند و مجموع آنها برابر با یک است. معادلات بقاء در هر فاز برای مجموعه‌ای از معادلات استنتاج می‌شوند که دارای ساختار مشابهی برای همه فازها هستند. این معادلات نزدیک به روابط تشکیل دهنده خود هستند که آنها از روابط تجربی بدست می‌آیند، در حالت جریان‌های دارای دانه‌های ریز بوسیله کاربرد نظریه جنبشی بدست می‌آیند.

در FLUENT سه مدل متفاوت چندفازی اولری- اولری شامل Eulerian و Mixture و VOF مطرح می‌باشد که با توجه به آنکه جریان مورد بررسی در تحقیق حاضر از نوع جریان‌های حبابی بوده و از آنجایی که در مدل Mixture اجازه اختلاط فازها وجود دارد این مدل انتخاب گردیده است.

مدل VOF یک تکنیک پیگردی سطح (Surface- Tracking) است که برای یک مش ثابت اولرین کاربرد دارد و برای دو یا چند فاز آمیخته نشدنی که موقعیت سطح مشترک دو سطح مشخص باشد

طراحی شده است. در این مدل تنها یک مجموعه از معادلات مومنتوم در سیال حاکم است و کسر VOF حجمی هریک از سیالات در محاسبات هر المان سراسر حوزه را دربر می گیرد. کاربرد مدل شامل جریان‌های لایه لایه، جریان‌های سطح آزاد، حرکت حباب‌های بزرگ در سیال، حرکت سیال پس از شکست سد، پیش‌بینی شکست جت (jet breakup)، کشش سطحی و اندرکنش سطح مشترک بین دو فاز می‌شود. مدل Eulerian پیچیده‌ترین مدل از مدل‌های چند فازی در FLUENT است. مدل مذکور مجموعه‌ای از  $n$  معادله مومنتوم و پیوستگی را برای هر فاز حل می‌کند. اتصال بین فازها از طریق ضرایب تبدیل بین فازی بدست می‌آید. روشی که برای کوپل استفاده می‌شود بستگی به نوع فازهای درگیر دارد. جریان‌های دانه‌ای (مایع-جامد) با جریان‌های غیر دانه‌ای (مایع-مایع) متفاوت هستند. خواص برای جریان‌های دانه‌ای با به کارگیری تئوری جنبشی بدست می‌آیند. تبدیل مومنتوم بین فازها به نوع اختلاط مدل شده وابسته است. کابردهایی از مدل Eulerian شامل ستون‌های حباب، معلق کردن ذره معلق و بستر با ذرات جامد و گاز می‌شود.<sup>[41]</sup>

مدل Mixture برای دو یا چند فاز (سیال یا به صورت ذره) طراحی شده است. این مدل معادلات مومنتوم را حل می‌کند و سرعت‌های نسبی را برای توصیف پراکنش فازها (dispersed) تعیین می‌کند. کابردهایی از این مدل شامل جریانات مملو از ذرات، جریان‌های حبابی، تنهشینی و جداگرها چرخان می‌شود. این مدل بدون سرعت‌های نسبی می‌تواند برای مدل کردن پراکنش فازی جریان‌های چند فازی همگن استفاده شود. این مدل چند فازی می‌تواند برای شبیه سازی جریان‌های چندفازی که فازها با سرعت‌های متفاوت حرکت می‌کنند، استفاده شود. این مدل همچنین برای مدل کردن جریان‌های چندفازی همگن با اتصال خیلی قوی و انتقال فازها با سرعت‌های یکسان استفاده می‌شود. مدل Mixture با حل معادلات مومنتوم، پیوستگی و انرژی برای اختلاط، معادلات کسر حجمی برای فاز ثانوی و عبارت جبری برای نسبت سرعت‌ها می‌تواند  $n$  فاز را مدل کند. محدودیت های کاربرد MIXTURE در FLUENT به شرح زیر می‌باشند.

- باید از حلال Segregated استفاده کنیم. در مدل MIXTURE اتصال بین حل کننده ها مقدور نیست.
- فقط یکی از فازها می تواند تراکم پذیر باشد.
- خط جریان تناوبی را نمی توانیم توسط Mixture مدل کنیم.(کاربر اجازه دارد افت فشار را تعیین کند)
- انواع جریانات اختلاط و واکنش های جریان را نمی توان توسط MIXTURE مدل کرد.
- در اجتماع با مدل Mixture نرمی و سختی را نمی توان مدل کرد.
- فرمول بندی گام زمانی ضمنی مرتبه دوم را نمی توان توسط MIXTURE مدل نمود.
- مدل آشفته LES را نمی توان در مدل MIXTURE استفاده نمود.
- از مدل MIXTURE نمی توان برای جریانات لزج استفاده کرد.
- مدل هدایت گرمایی پوسته برای دیوارها را نمی توان با استفاده از MIXTURE مدل نمود.

مدل همانند VOF از رویکرد سیال منفرد (Single fluid) استفاده می کند با این تفاوت که مدل Mixture اجازه می دهد تا فازها در هم نفوذ نموده و با سرعت های متفاوتی حرکت کنند. این مدل می تواند معادلات پیوستگی، مومنتوم و انرژی را برای اختلاط و معادله کسر حجمی را برای فاز ثانوی حل کند و در صورتی که فازها با سرعت های متفاوت حرکت کنند نسبت سرعت ها را بیان کند.

معادله پیوستگی برای Mixture به صورت زیر است:[35]

$$\frac{\partial}{\partial t}(\rho_m) + \nabla \cdot (\rho_m \vec{v}_m) = \dot{m} \quad (25-4)$$

سرعت متوسط جرمی ( $\vec{v}_m$ ) برابر است با:

$$\vec{v}_m = \frac{\sum_{k=1}^n \alpha_k \rho_k \vec{v}_k}{\rho_m} \quad (26-4)$$

و  $\rho_m$  چگالی اختلاط است.

$$\rho_m = \sum_{k=1}^n \alpha_k \rho_k \quad (27-4)$$

که در اینجا  $\alpha_k$  کسر حجمی فاز  $k$  است و  $\dot{m}$  نشان دهنده انتقال جرم ناشی از کاویتاسیون است. معادله مومنتوم برای Mixture با جمع معادله مومنتوم برای تک تک فازها بدست می‌آید و می‌تواند به صورت زیر نشان داده شود:

$$\frac{\partial}{\partial t} (\rho_m \vec{v}_m) + \nabla \cdot (\rho_m \vec{v}_m \vec{v}_m) = -\nabla p + \nabla \cdot [\mu_m (\nabla \vec{v}_m + \nabla \vec{v}_m^T)] + \rho_m g + \vec{F} + \nabla \cdot \left( \sum_{k=1}^n \alpha_k \rho_k \vec{v}_{dr,k} \vec{v}_{dr,k} \right) \quad (28-4)$$

در اینجا  $n$  تعداد فازها،  $F$  نیروی حجمی و  $\mu_m$  ویسکوزیته مخلوط است.

$$\mu_m = \sum_{k=1}^n \alpha_k \mu_k \quad (29)$$

و  $\vec{v}_{dr,k}$  سرعت رانشی (Drift velocity) برای فاز ثانوی  $K$  است:

$$\vec{v}_{dr,k} = \vec{v}_k - \vec{v}_m \quad (30-4)$$

سرعت نسبی که به عنوان سرعت رانشی نیز از آن یاد می‌شود به صورت سرعت فاز ثانوی  $p$  نسبت به سرعت فاز اولیه  $q$  تعریف می‌شود:

$$\vec{v}_{pq} = \vec{v}_p - \vec{v}_q \quad (31-4)$$

رابطه بین سرعت رانشی و سرعت لغزشی را می‌توان به صورت زیر بیان نمود:

$$\vec{v}_{dr,p} = \vec{v}_{pq} - \sum_{k=1}^n \frac{\alpha_k \rho_k}{\rho_m} \vec{v}_{qk} \quad (32-4)$$

مدل Mixture در FLUENT از یک قاعده جبری شبیه استفاده می‌کند. فرض اساسی مدل جبری اختلاط شبیه تعیین یک رابطه جبری برای سرعت نسبی است. در یک فاصله کوتاه از مقیاس طولی یک تعادل محلی بین فازها باید برقرار شود. فرم سرعت نسبی توسط Manninen et al به صورت زیر ارائه شده است:

$$\vec{v}_{pq} = \frac{(\rho_p - \rho_m) d_p^2}{18 \mu_q f_{drag}} \vec{a} \quad (33-4)$$

که  $d_p$  قطر ذرات فاز ثانوی  $p$  ( قطر ریز قطره‌ها یا حباب‌ها) و  $\vec{a}$  شتاب ذرات فاز ثانوی است. پیش فرض تابع کشانه (Drag function) که توسط Naumann و Schiller ارائه شده است به صورت زیر بیان می‌شود:

$$f_{\text{drag}} = \begin{cases} 1 + 0.15R_e^{0.687} & R_e \leq 1000 \\ 0.0183R_e & R_e > 1000 \end{cases} \quad (34-4)$$

و شتاب  $\vec{a}$  به صورت زیر است:

$$\vec{a} = g - (\vec{v}_m \cdot \vec{\nabla}) \vec{v}_m - \frac{\partial \vec{v}_m}{\partial t} \quad (35-4)$$

ساده‌ترین قاعده جبری شبیه را اصطلاحاً مدل شار رانشی (Drift flux) گویند، که در آن شتاب ذرات توسط ثقل و یک نیروی گریز از مرکز بدست می‌آید و زمان استراحت (relaxation time) ذره با در نظر گرفتن حضور بقیه ذرات اصلاح می‌شود. باید به این نکته توجه شود که وقتی که ما یک مدل Mixture را با در نظر گرفتن سرعت نسبی حل می‌کنیم، می‌توانیم مستقیماً قواعدی را برای تابع درگ تعیین کنیم. انتخاب‌های در دسترس شامل Naumann و Schiller (قاعده پیش فرض)، Morsi-Alexander، متقارن و ثابت می‌باشند. از معادله پیوستگی برای فاز ثانوی  $p$ ، معادله کسر حجمی برای فاز ثانوی به صورت زیر بدست می‌آید:[35]

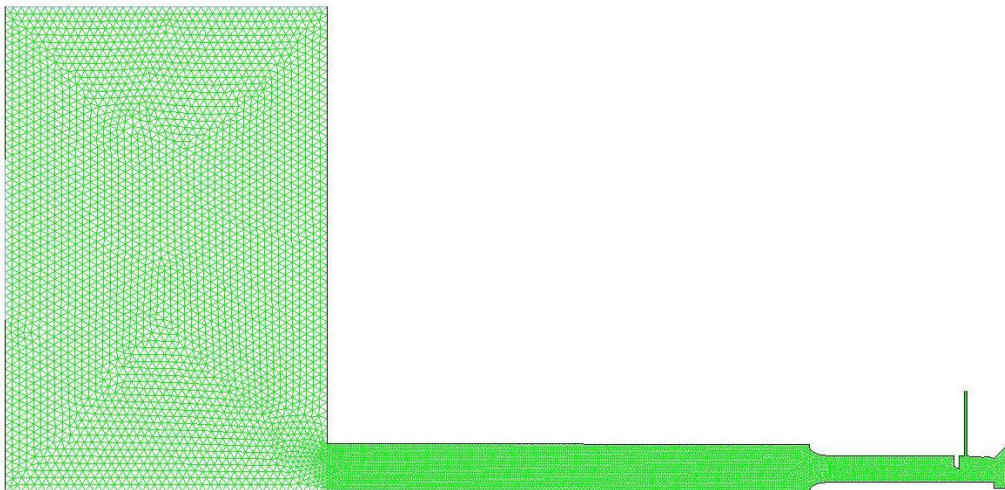
$$\frac{\partial}{\partial t} (\alpha_p \rho_p) + \nabla \cdot (\alpha_p \rho_p \vec{v}_m) = -\nabla \cdot (\alpha_p \rho_p \vec{v}_{dr,p}) \quad (36-4)$$

## ۴ - تحلیل اولیه و کالیبراسیون مدل

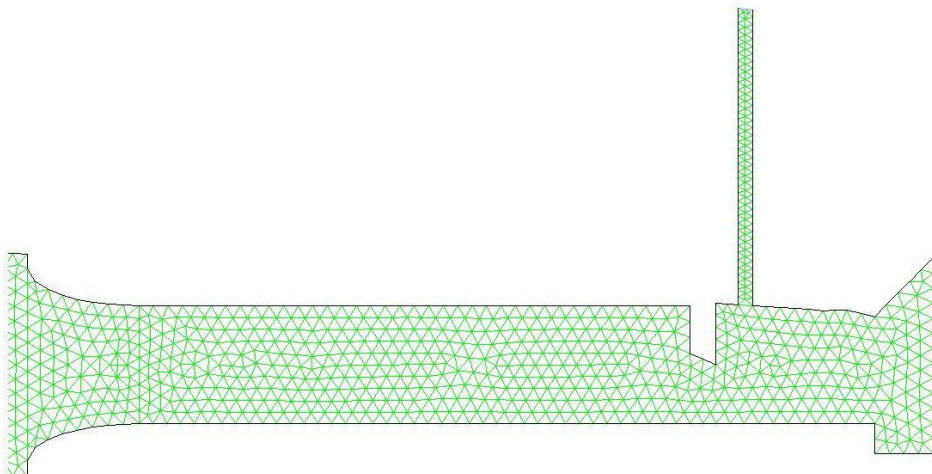
در این پایان نامه برای انجام شبیه سازی عددی از نرم افزار FLUENT 6.3.26 استفاده شد. برای مدل کردن دریچه و تونل تخلیه کننده از نرم افزار کمکی Gambit، که قابلیت مدل کردن مرزهای جریان، اختصاص شرایط مرزی و همچنین مش بندی دارد استفاده شده است. پردازشگر استفاده شده

در این پایان نامه پردازشگر دو بعدی دو دقته می باشد که علت انتخاب دو بعدی بودن مدل برای سرعت بیشتر انجام محاسبات می باشد و علت استفاده از حالت دو دقته برای ایجاد دقت بیشتر در محاسبات است. شبکه بنده هندسی در قسمت هایی که میدان های فشار و سرعت دارای تغییرات زیادی هستند (مانند زیر و اطراف دریچه) ریزتر و در قسمت هایی با تغییرات کم، کمی بزرگتر از قسمت قبل انجام شده است. در نزدیکی دیواره ها مش بنده ریز انجام شده است تا بتوان اثرات لایه مرزی را در نظر گرفت. در یک مدل عددی جواب های نهایی باید مستقل از شبکه بنده باشند.

در این پایان نامه برای گستته سازی هندسه مدل نهایتاً از مشبندي چهار وجهی استفاده شده است. در مراحل اولیه تحلیل از مشبندي سه وجهی استفاده شده است که مشبندي سه وجهی باعث واگرا شدن نتایج مدل شد. شکل (۳-۴) و (۵-۴) نمونه ای از مش ۳ وجهی را نشان داده است.



شکل ۳-۴: مش بنده مدل با المان سه وجهی



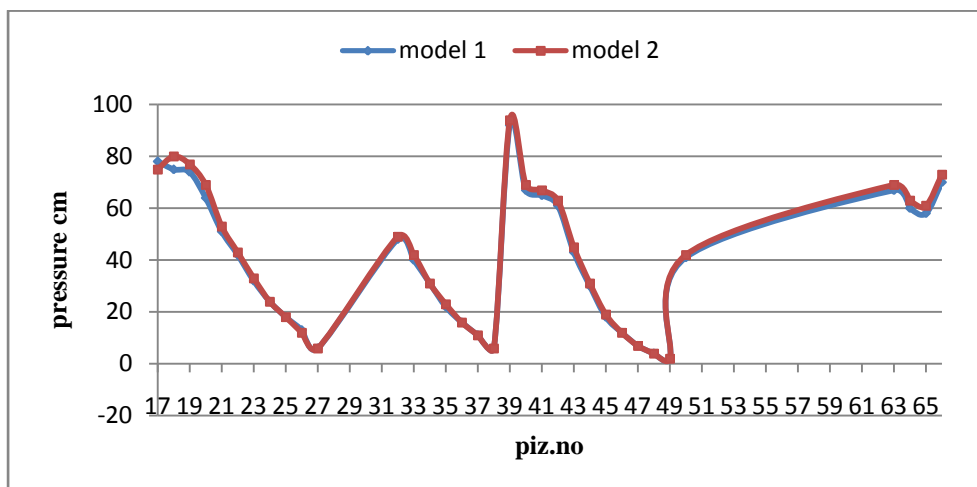
شکل ۴-۴: نمای مش بندی مدل تخلیه کننده و تونل با المان سه وجهی

در ادامه نتایج سه مشبندی که از مش های چهار وجهی برای مدل کردن آنها استفاده شده مقایسه شده است. البته باید توجه داشت تفاوت تعداد مش ها در این نمونه ها معطوف به منطقه زیر لبه دریچه و اطراف آن و همچنین ریزبودن مش ها در نواحی مرزی می باشد. در جدول ۱-۴ و شکل ۴-۴ نتایج فشار هیدروستاتیک و تفاوت بین مقادیر آن در مدل شماره ۱ و مدل شماره ۲ نشان داده شده است. و در شکل های ۶-۴ الی ۸-۴ نمایی از این ۳ مدل مشبندی نمایش داده شده است.

جدول ۱-۴: نتایج فشار در مدل شماره ۱ و مدل شماره ۲ برای هد ۲ متر

piz.no	model 1	model 2	error(%)	piz.no	model 1	model 2	error(%)
17	78	75	3.85%	38	6	6	0.00%
18	75	80	6.67%	39	92	94	2.17%
19	74	77	4.05%	40	67	69	2.99%
20	64	69	7.81%	41	65	67	3.08%
21	51	53	3.92%	42	61	63	3.28%
22	42	43	2.38%	43	43	45	4.65%
23	32	33	3.13%	44	30	31	3.33%
24	24	24	0.00%	45	18	19	5.56%
25	18	18	0.00%	46	12	12	0.00%
26	13	12	7.69%	47	7	7	0.00%
27	6	6	0.00%	48	4	4	0.00%
32	48	49	2.08%	49	2	2	0.00%
33	40	42	5.00%	50	41	42	2.44%
34	31	31	0.00%	63	67	69	2.99%

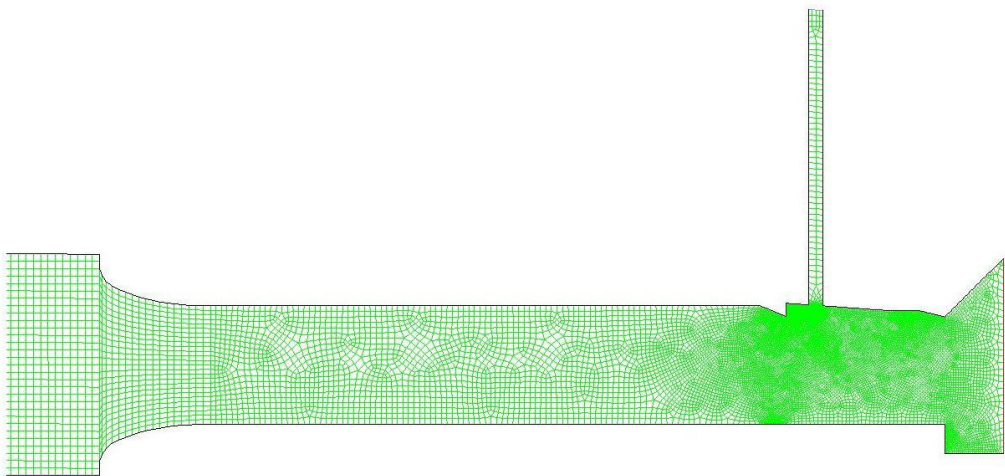
35	22	23	4.55%	64	60	63	5.00%
36	16	16	0.00%	65	58	61	5.17%
37	11	11	0.00%	66	70	73	4.29%
						average=	2.83%



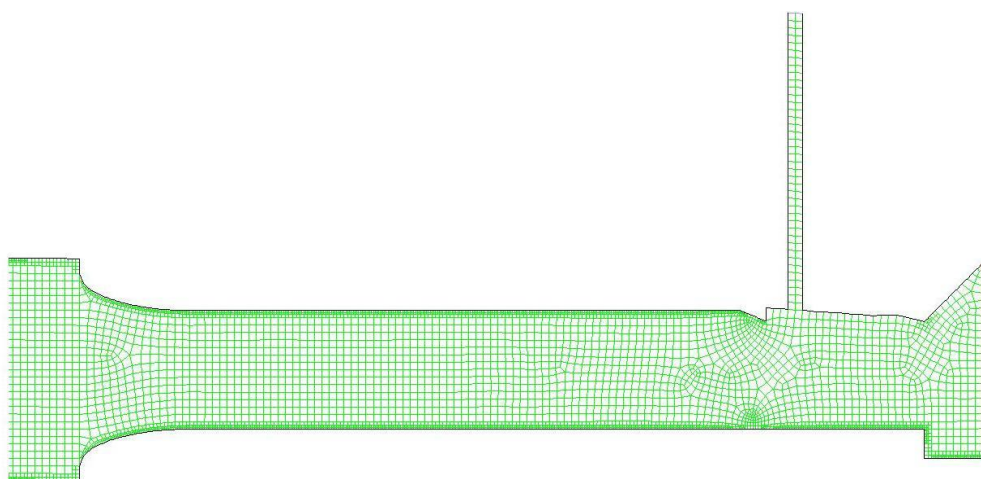
شکل ۴-۵: مقایسه فشار در مدل شماره ۱ و مدل شماره ۲



شکل ۴-۶: نمایی از مشبندی مدل ۱



شکل ۷-۴: نمایی از مشبندی مدل ۲

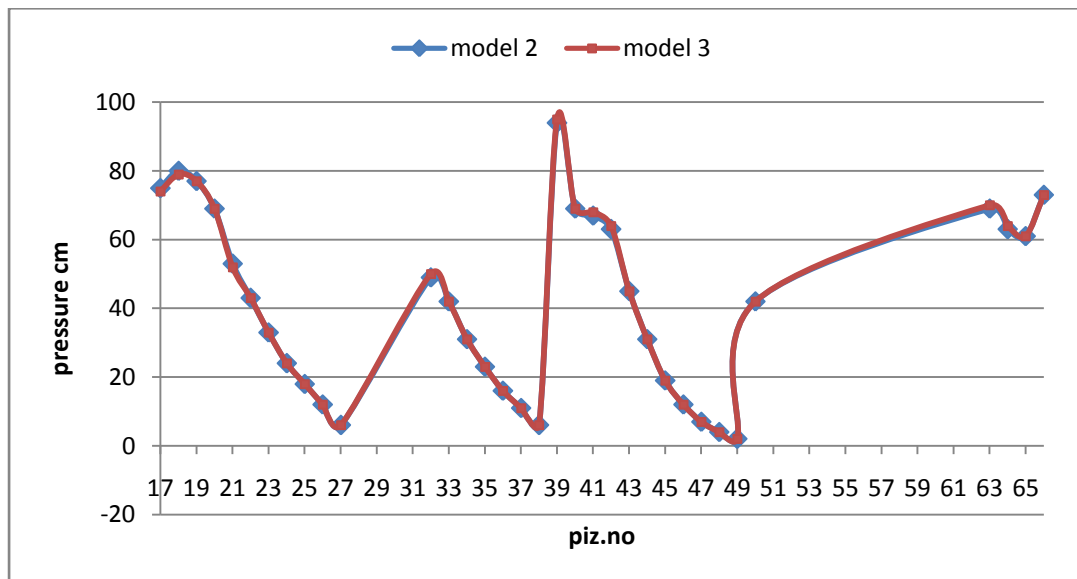


شکل ۸-۴: نمایی از مشبندی مدل ۳

در جدول ۲-۴ و شکل ۹-۴ تفاوت در مدل شماره ۲ و مدل شماره ۳ نمایش داده شده است.

جدول ۲-۴: نتایج فشار در مدل شماره ۲ و مدل شماره ۳ برای هد ۲ متر

piz.no	model 2	model 3	error(%)	piz.no	model 2	model 3	error(%)
17	75	74	1.33%	38	6	6	0.00%
18	80	79	1.25%	39	94	95	1.06%
19	77	77	0.00%	40	69	69	0.00%
20	69	69	0.00%	41	67	68	1.49%
21	53	52	1.89%	42	63	64	1.59%
22	43	43	0.00%	43	45	45	0.00%
23	33	33	0.00%	44	31	31	0.00%
24	24	24	0.00%	45	19	19	0.00%
25	18	18	0.00%	46	12	12	0.00%
26	12	12	0.00%	47	7	7	0.00%
27	6	6	0.00%	48	4	4	0.00%
32	49	50	2.04%	49	2	2	0.00%
33	42	42	0.00%	50	42	42	0.00%
34	31	31	0.00%	63	69	70	1.45%
35	23	23	0.00%	64	63	64	1.59%
36	16	16	0.00%	65	61	61	0.00%
37	11	11	0.00%	66	73	73	0.00%
						average=	0.40%



شکل ۹-۴: مقایسه فشار در مدل شماره ۲ و مدل شماره ۳

همانگونه که در جدول ۱-۴ و جدول ۲-۴ مشخص شده است درصد اختلاف بین مش بندي با تعداد کمتر (۳۰۶۷۴ مش) در مدل يک با مدل با تعداد بيشتر مش (۶۰۶۴ مش) در حدود ۲.۸۳٪ می باشد. اين مقدار اختلاف بيش از مقدار ۵٪ اختلاف مجاز است که توصيه شده است. بنابراین با توجه به تعداد بسیار زیاد مش در مدل ۲، مبادرت به تولید مدلی با تعداد مش کمتر شد. در مدل ۳ تعداد مش نسبت به مدل ۲ کمتر است (۴۷۸۱۴ مش) و در کناره مرزها نیز اندازه آنها ریزتر شد تا مدل دارای شرایط مناسب تری در این محدوده ها باشد. نتایج مدل ۲ و مدل ۳ دارای اختلاف نسبی برابر با ۴٪ می باشد که قابل قبول می باشد. بنابراین برای مدل سازی در این تحقیق از همین روش برای مش بندي استفاده شده است.

#### ۴.۵ - شرایط مدل سازی عددی در نرم افزار

همانطور که پیشتر درباره نرم افزار FLUENT توضیح داده شد این نرم افزار قابلیت های بسیار زیادی در حل انواع مختلف جریان های سیال دارد و در این پایان نامه از قابلیت های مختلف نرم افزار برای مدل کردن جریان استفاده شده است. در قسمت solver به علت وجود اختلاف فشارهای موجود در قسمت های مختلف جریان وجود دارد از گزینه PRESSURE BASED استفاده گردیده است. در این قسمت معادلات از روش 1-st order implicit محاسبه می شوند و زمان از روش unsteady استفاده می کند. در تحقیق از دو نوع سیال آب و هوا استفاده شده است که سیال آب با فاز يک و سیال هوا با فاز دو مشخص شده است. سیال آب دارای چگالی  $1000\text{ kg/m}^3$  و ویسکوزیته  $0.001\text{ kg/m.s}$  است و سیال هوا دارای چگالی  $1.225\text{ kg/m}^3$  و ویسکوزیته  $1.7894 \times 10^{-5}\text{ kg/m.s}$  است. در این مدلسازی برای آنکه بین مدل عددی و مدل آزمایشگاهی تطابق کاملتری وجود داشته باشد مخزن نیز مدل سازی شده است. جهت مدل کردن جریان ورودی، روی مخزن یک مقطع به عنوان ورودی سرعت (velocity inlet) تعریف گردید. به علت آنکه مدل فیزیکی یک مدل سه بعدی بوده و مدل عددی شبیه سازی شده مدل دو بعدی می باشد باید مقدار دبی وارد شده به مخزن را بر عرض

مقطع تونل تقسیم کرد تا با مدل عددی دو بعدی تطبیق داده شود . لذا دبی خروجی بر واحد عرض مدل، تقسیم شده و در این بخش مورد استفاده قرار گرفته است. عرض مقطع داخلی کانال برابر ۱۱ سانتیمتر است و دبی های خروجی برای هر آزمایش بر این مقدار تقسیم شده و به علت آنکه جریان پیوسته می باشد مقدار دبی ورودی با دبی خروجی یکسان می باشد. درنتیجه مقدار دبی ورودی مدل عددی برابر با دبی خروجی مدل آزمایشگاهی در نظر گرفته شده است. برای این منظور یک ورودی به ارتفاع یک متر تعریف شده و در آن از شرط مرزی velocity inlet استفاده گردیده است. در قسمت خروجی جریان از شرط مرزی pressure-outlet استفاده گردیده و مقدار فشار صفر در آن مقطع اعمال شده است. برای قسمت هواده نیز از شرط مرزی pressure-inlet استفاده گردیده است. همچنین یک ورودی فشار pressure-inlet برای قسمت بالای مخزن در نظر گرفته شده است تا فشار بر روی سطح مخزن برابر با فشار محیطی باشد. با توجه به برقراری جریان دو فازی آب-هواء و اینکه FLUENT چند نوع الگوریتم مختلف برای حل این نوع جریان پیشنهاد می دهد، به علت بررسی پدیده کاویتاسیون از روش Mixture استفاده گردیده است.

وقتی که جریان از طریق ورودی سرعت و یا ورودی های دیگر وارد میدان می شود، باید مقدار کمیت های آشفتگی که از طریق ورودی منتقل می شوند نیز مشخص شود. شدت آشفتگی (Turbulence) به صورت نسبت جذر میانگین تغییرات سرعت  $u'$  به سرعت متوسط جریان  $u_{ave}$  تعريف می شود. شدت آشفتگی  $1\%$  و یا کمتر به عنوان آشفتگی کم و شدت آشفتگی بزرگتر از  $10\%$  به عنوان آشفتگی زیاد محسوب می شود. برای جریان های داخلی درون مجاری بسته، پارامترهای آشفتگی کاملا به جریان بالادست وابسته اند، اگر جریان داخل مجرأ کاملا توسعه یافته باشد می توان مقدار شدت آشفتگی کمی به آن نسبت داد. شدت آشفتگی در هسته جریان را می توان از رابطه (۴-۴) محاسبه کرد:

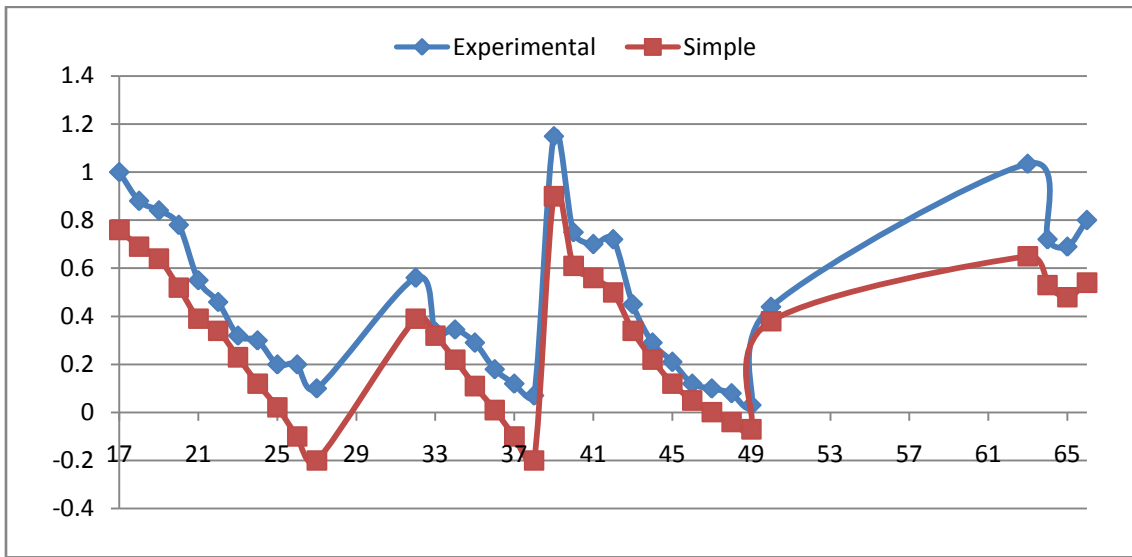
$$I \equiv \frac{u'}{u_{ave}} \cong 0.16(\text{Re}_{D_H})^{\frac{1}{8}} \quad (37-4)$$

که در آن  $Re_{D_H}$  عدد رینولدز جریان می باشد. برای جریان های کاملا توسعه یافته از شدت توربولنس و قطر هیدروليکي (Hydraulic Diameter) به عنوان پارامترهای معرف آشфтگی در مرزهای ورودی و خروجی جریان استفاده می گردد. [35] به همین دلیل در مدل از این دو پارامتر بهره بردہ شده است. از آنجا که در مقطع ورودی جریان کاملا از آب تشکیل شده است لذا نسبت فاز هوا در این مرز برابر صفر و نسبت فاز آب برابر با یک در نظر گرفته شده است. در نزدیکی دیوار جهت همپوشانی بین اثرات جداره بر میدان سرعت حاصل از حل معادلات آشфтگی، از تابع دیوار استاندارد استفاده بعمل آمده است که در آن سرعت جریان روی دیواره صفر بوده و شرط عدم لغزش دیواره بر قرار گردیده است. در جریان آشفتگی FLUENT روش های گوناگونی همچون laminar, Spalart- $\epsilon$  روش را برای مدل سازی جریان آشفتگی پیشنهاد می دهد. در این تحقیق ابتدا از روش k- $\epsilon$ , k-omega allmaras و Reynolds stress استفاده شد ولی مدل واگرا گردید. سپس مدل با استفاده از روش k- $\epsilon$  این تحقیق ابتدا از روش k- $\epsilon$  استفاده شد ولی مدل واگرا گردید. سپس مدل با استفاده از روش k- $\epsilon$  تحلیل شد که نتایج این مدل آشфтگی با مدل آزمایشگاهی دارای تطابق خوبی گردید. در نتیجه از این مدل آشфтگی برای حل سایر حالات استفاده گردید که نتایج آن در ادامه آورده شده است.

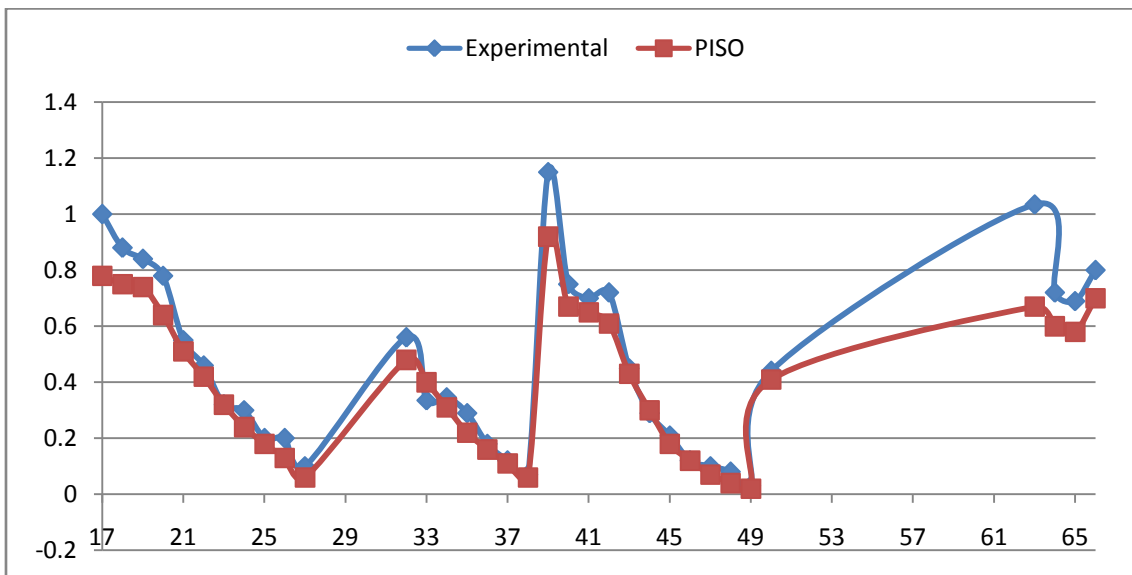
برای حل میدان فشار و سرعت، روش های PISO و Simple استفاده شده است. همانطور که در جدول ۱-۴ مشاهده می شود، میزان خطای بدست آمده از روش PISO بسیار کمتر از روش Simple می باشد. در نتیجه تمرکز تحقیقات بر روی روش PISO قرار گرفت. در جدول ۳-۴ و همچنین نمودارهای شکل ۱۰-۴ و ۱۱-۴ نتایج اولیه یکی از تست ها با بازشدن ۹۰٪ دریچه و هد آب ۲ متر نشان داده شده و میزان اختلاف نتایج قابل ملاحظه است. همانطور که در جدول نشان داده شده است مقدار خطای روش Simple برابر با ۷۵٪ و روش PISO برابر با ۱۵/۳٪ می باشد و همچنین جذر مربعات خطاهای به ترتیب برابر با ۲۰/۲٪ و ۱۱۹/۲٪ می باشد.

جدول ۳-۴: مقایسه نتایج روش های PISO و Simple در تحلیل میدان

piz.no	static pressure numerical			error(%)		root mean square	
	Experimental	Simple	PISO	Simple	PISO	Simple	PISO
17	1	0.76	0.78	24.0	22.0	576.0	484.0
18	0.88	0.69	0.75	21.6	14.8	466.2	218.2
19	0.84	0.64	0.74	23.8	11.9	566.9	141.7
20	0.78	0.52	0.64	33.3	17.9	1111.1	322.2
21	0.55	0.39	0.51	29.1	7.3	846.3	52.9
22	0.46	0.34	0.42	26.1	8.7	680.5	75.6
23	0.32	0.23	0.32	28.1	0.0	791.0	0.0
24	0.3	0.12	0.24	60.0	20.0	3600.0	400.0
25	0.2	0.021	0.18	89.5	10.0	8010.3	100.0
26	0.2	-0.1	0.13	150.0	35.0	22500.0	1225.0
27	0.1	-0.2	0.06	300.0	40.0	90000.0	1600.0
32	0.56	0.39	0.48	30.4	14.3	921.6	204.1
33	0.335	0.32	0.4	4.5	-19.4	20.0	376.5
34	0.345	0.22	0.31	36.2	10.1	1312.7	102.9
35	0.29	0.11	0.22	62.1	24.1	3852.6	582.6
36	0.18	0.01	0.16	94.4	11.1	8919.8	123.5
37	0.12	-0.1	0.11	183.3	8.3	33611.1	69.4
38	0.07	-0.2	0.06	385.7	14.3	148775.5	204.1
39	1.15	0.9	0.92	21.7	20.0	472.6	400.0
40	0.75	0.61	0.67	18.7	10.7	348.4	113.8
41	0.7	0.56	0.65	20.0	7.1	400.0	51.0
42	0.72	0.5	0.61	30.6	15.3	933.6	233.4
43	0.45	0.34	0.43	24.4	4.4	597.5	19.8
44	0.29	0.22	0.3	24.1	-3.4	582.6	11.9
45	0.21	0.12	0.18	42.9	14.3	1836.7	204.1
46	0.12	0.05	0.12	58.3	0.0	3402.8	0.0
47	0.1	0.001	0.07	99.0	30.0	9801.0	900.0
48	0.08	-0.04	0.04	150.0	50.0	22500.0	2500.0
49	0.03	-0.07	0.02	333.3	33.3	111111.1	1111.1
50	0.44	0.38	0.41	13.6	6.8	186.0	46.5
63	1.035	0.65	0.67	37.2	35.3	1383.7	1243.7
64	0.72	0.53	0.6	26.4	16.7	696.4	277.8
65	0.69	0.48	0.58	30.4	15.9	926.3	254.1
66	0.8	0.54	0.7	32.5	12.5	1056.3	156.3
		average=		74.9	15.28	119.2	20.2



شکل ۱۰-۴: مقایسه نتایج فشار پیزومتریک تحلیل میدان فشار مدل Experimental و مدل عددی بر اساس روش Simple



شکل ۱۱-۴: مقایسه نتایج فشار پیزومتریک تحلیل میدان فشار مدل Experimental و مدل عددی بر اساس روش PISO

چنانچه ملاحظه شد نتایج روش حل PISO با نتایج مدل آزمایشگاهی دارای تطابق مناسبی می باشد.  
برای بدست آوردن نتایج بهتر با کوچکتر کردن شبکه مش بندی مدل در نقاط حساس و همچنین در کناره های دیوار تلاش گردید تا نتایج بهتری بدست آید. البته ریز کردن مش تا آنجا ادامه داشته است

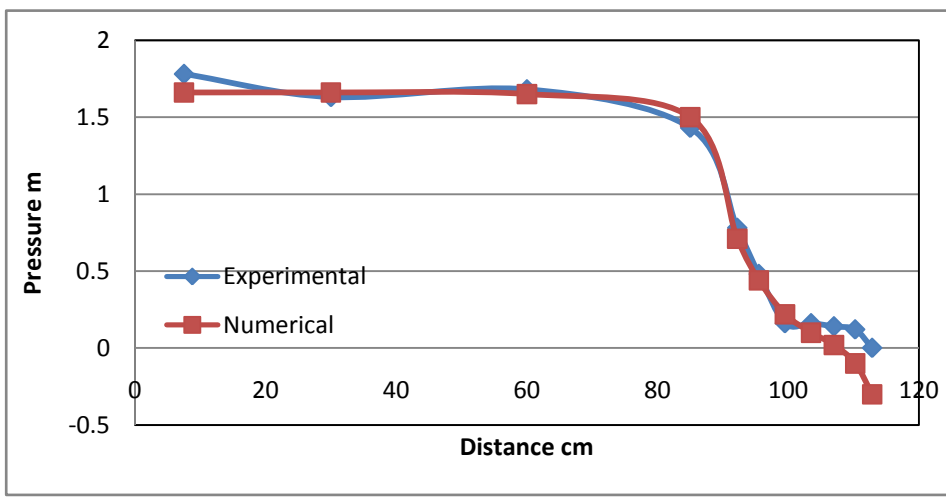
که نتایج مدل عددی قبلی با نتایج مدل عددی جدید دارای اختلاف ناچیز بوده که در این تحقیق معیار ۵٪ مد نظر قرار گرفت، زیرا کوچکتر کردن مش تأثیر چشمگیری بر روی نتایج نداشت. در این پایان نامه برای سنجش صحت نتایج عددی از نتایج آزمایشگاهی استفاده گردیده است. بنابراین ابتدا شرایط مدل عددی برای لبه دریچه با زاویه ۲۲/۵ درجه با مدل آزمایشگاهی چک شده و سپس مدل های دیگر با زاویه های مختلف اجرا شده است. متاسفانه به علت کمبود زمان، تنها از هد ۲ متر و باز شدگی ۵۰٪ و ۹۰٪ استفاده شد. ابتدا بررسی نتایج این مدل ها با نتایج مدل آزمایشگاهی برای زاویه لبه دریچه فوق صورت گرفته و پس از اطمینان از تطابق آنها با یکدیگر، اقدام به مدل سازی لبه دریچه ۴۵ و ۶۰ درجه شده است.

برای محاسبات از cpu 7500 core 2 duo 2.4 GHZ استفاده شده است که برای هر کدام از مدل ها در حدود ۳ الی ۵ روز طول کشیده است.

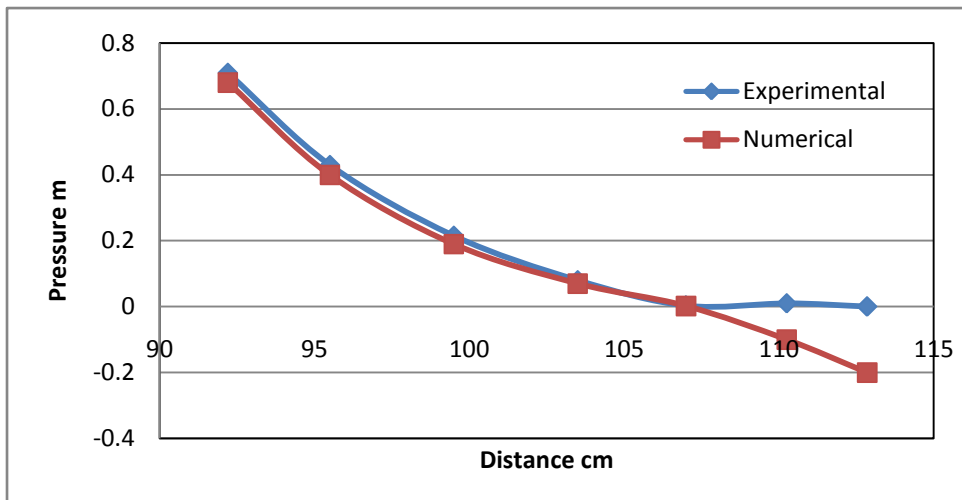
در جدول ۴-۴ نتایج مدل آزمایشگاهی و عددی برای لبه دریچه با زاویه ۲۲/۵ درجه نسبت به افق و هد ارتفاعی ۲ متر در باز شدگی ۵۰٪ نمایش داده شده است. باز شدگی ها با درصد و فاصله نقاط پیزومترها از ابتدای شروع کanal انتقال آب در ستون X نمایش داده شده است. تمام فشارهای پیزومتریک و فوائل داده شده در جدول بر حسب سانتیمتر می باشد. مطابق این جدول و همچنین نمودار شکل های ۱۲-۴ الی ۱۶-۴، خطای در بسیاری نقاط مجرای قابل قبول بوده و در بعضی نقاط محدود بخصوص در حد فاصل انتقال جریان تحت فشار به جریان آزاد، مدل با خطای بالا همراه گردیده است. در این شکل ها محور افق معرف فاصله پیزومترها از نقطه ابتدایی کanal بر حسب سانتیمتر می باشد. محور قائم نیز معرف فشار پیزومتریک بر حسب متر است. لازم به ذکر است خطای های در جاهای که اعداد بسیار کوچک می باشند برابر با صفر در نظر گرفته شده است.

جدول ۴-۴: مقایسه نتایج مدل عددی و آزمایشگاهی در بازشدگی ۵۰٪ دریچه و هد ۲ متر باله ۲۲/۵ درجه

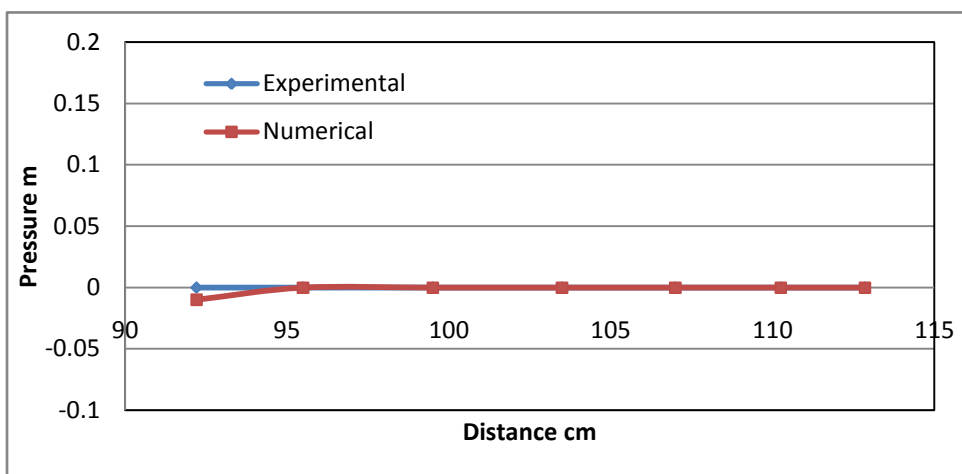
Piz.NO	X (cm)	نتایج باز شدگی ۵۰٪		error	Piz.NO	X (cm)	نتایج باز شدگی ۵۰٪		Error
		آزمایش	عددی				آزمایش	عددی	
17	7.5	178	166	6.74%	41	60	159	157	1.26%
18	30	163	166	1.84%	42	85	147	145	1.36%
19	60	168	165	1.79%	43	92.2	1	-1	0.00%
20	85	143	150	4.90%	44	95.5	0	0	0.00%
21	92.2	78	71	8.97%	45	99.5	0	0	0.00%
22	95.5	48	44	8.33%	46	103.5	0	0	0.00%
23	99.5	16	22	37.50%	47	107	0	0	0.00%
24	103.5	16	10	37.50%	48	110.25	0	-0.1	0.00%
25	107	14	2	85.71%	49	112.85	0	-0.1	0.00%
26	110.25	12	-10	183.33%	50	92.2	0	-1	0.00%
27	112.85	0	-30	0.00%	51	95.5	0	0	0.00%
32	92.2	71	68	4.23%	52	99.5	0	0	0.00%
33	95.5	43	40	6.98%	53	103.5	0	0	0.00%
34	99.5	21.5	19	11.63%	54	107	0	0	0.00%
35	103.5	8	7	0.00%	55	110.25	0	0	0.00%
36	107	0.3	0.2	0.00%	56	112.85	0	0	0.00%
37	110.25	1	-10	0.00%	63	7.5	158.5	151	4.73%
38	112.85	0	-20	0.00%	64	30	151	150	0.66%
39	7.5	169	165	2.37%	65	60	152	150	1.32%
40	30	159	157	1.26%	66	85	165	172	4.24%
average= 10.42%									



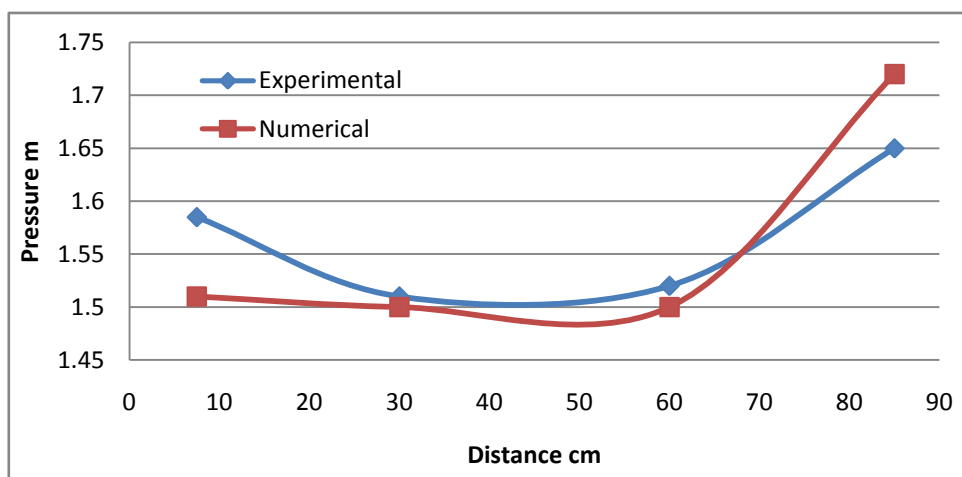
شکل ۱۲-۴: مقایسه نتایج فشار پیزومتریک مدل عددی و آزمایشگاهی در پیزومترهای ۱۷ الی ۲۷ و بازشدگی ۵۰٪



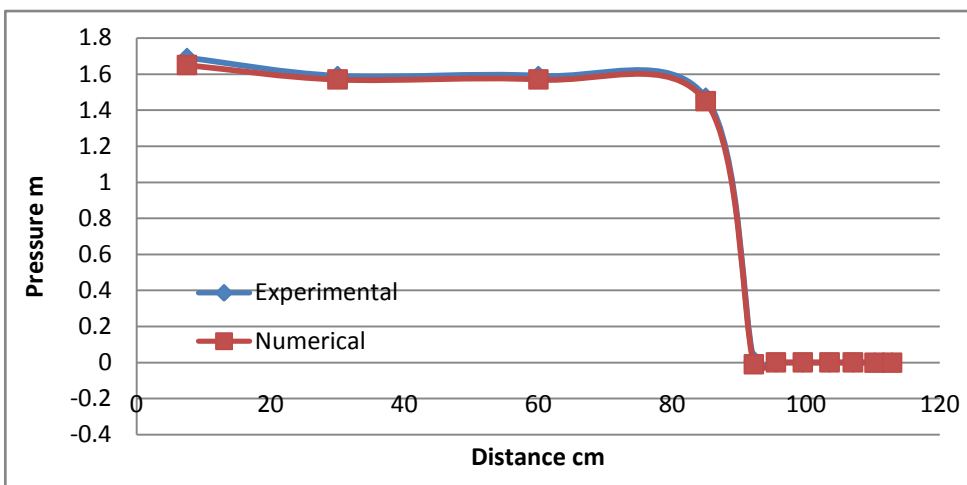
شکل ۱۳-۴: مقایسه نتایج فشار پیزومتریک مدل عددی و آزمایشگاهی در پیزومترهای ۳۲ الی ۳۸ و بازشدگی٪۵۰



شکل ۱۴-۴: مقایسه نتایج فشار پیزومتریک مدل عددی و آزمایشگاهی در پیزومترهای ۵۰ الی ۵۶ و بازشدگی٪۵۰



شکل ۱۵-۴: مقایسه نتایج فشار پیزومتریک مدل عددی و آزمایشگاهی در پیزومترهای ۶۳ الی ۶۶ و بازشدگی٪۵۰



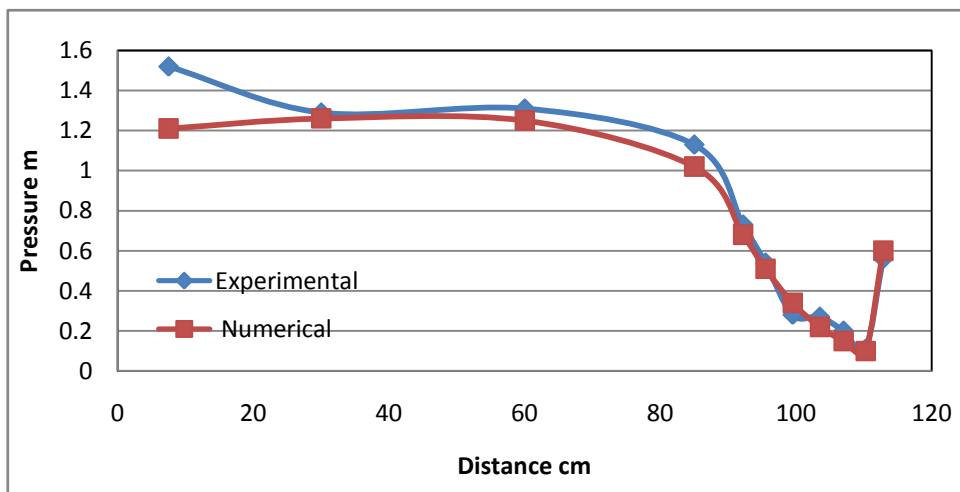
شکل ۱۶-۴: مقایسه نتایج فشار پیزومتریک مدل عددی و آزمایشگاهی در پیزومترهای ۳۹ الی ۴۹ و بازشدگی٪۵۰

جدول ۴-۵ و شکل های ۱۷-۴ الی ۲۱-۴ نتایج مدل آزمایشگاهی و عددی برای لبه دریچه با زاویه ۲۲/۵ درجه نسبت به افق و هد ارتفاعی ۲ متر در بازشدگی٪۷۰ و جدول ۶-۴ و شکل های ۲۲-۴ الی ۲۶-۴ نیز نتایج مدل آزمایشگاهی و عددی برای بازشدگی٪۹۰ را نشان می دهد. بازشدگی ها با درصد و فاصله نقاط پیزومترها از ابتدای شروع کanal انتقال آب در ستون X نمایش داده شده است. تمام فشارهای پیزومتر و فواصل داده شده در جدول بر حسب سانتیمتر ولی فشار در نمودارها بر حسب متر می باشد.

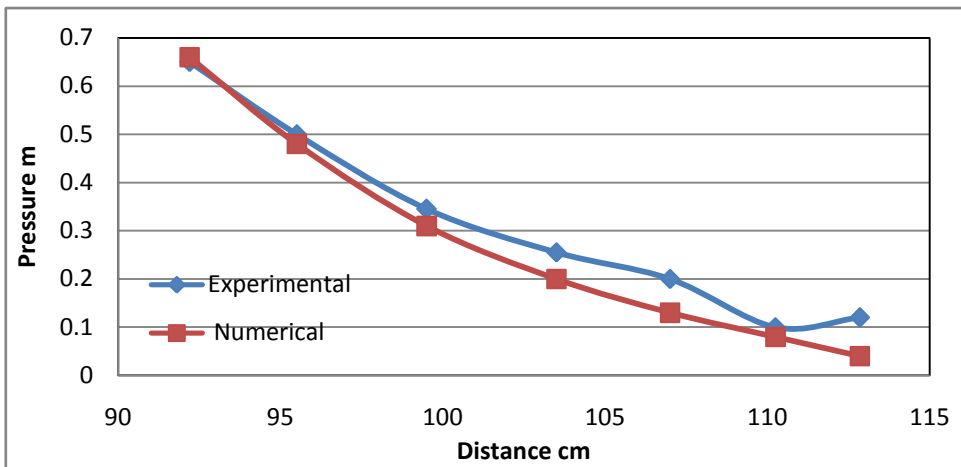
همانطور که در شکل ها و جدول ها ملاحظه می شود، مقدار خطای روش عددی با نتایج آزمایشگاهی بسیار کم می باشد. برای بازشدگی٪۵۰ این خطای میانگین برابر با٪۱۰/۴۲ و برای بازشدگی٪۷۰ برابر کم می باشد. برای بازشدگی٪۷/۷۵ و برای بازشدگی٪۹/۱۰ معادل٪۹/۶۹ می باشد. میانگین این سه حالت نیز مورد برابر با عدهی و آزمایشگاهی نیز همخوانی بسیار خوبی را نشان می دهد.

جدول ۴-۵: مقایسه نتایج مدل عددی و آزمایشگاهی در بازشدگی ۷۰٪ دریچه و هد ۲ متر باله ۲۲/۵ درجه

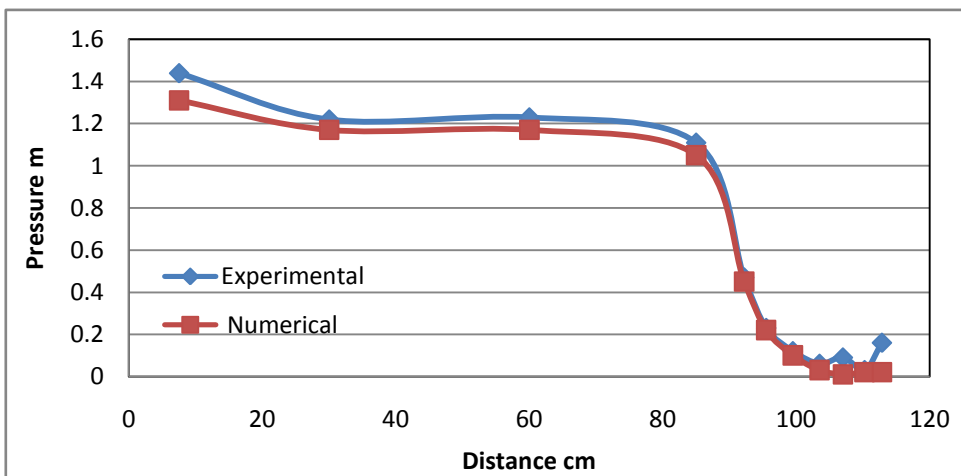
piz.no	X (cm)	باز شدگی ۷۰٪		error	piz.no	X (cm)	باز شدگی ۷۰٪		error
		آزمایش	عددی				آزمایش	عددی	
17	7.5	152	121	20.39%	41	60	123	117	4.88%
18	30	129	126	2.33%	42	85	111	105	5.41%
19	60	131	125	4.58%	43	92.2	47	45	4.26%
20	85	113	102	9.73%	44	95.5	23	22	4.35%
21	92.2	73	68	6.85%	45	99.5	12	10	16.67%
22	95.5	54	51	5.56%	46	103.5	6	3	0.00%
23	99.5	28	34	21.43%	47	107	9	1	0.00%
24	103.5	27	22	18.52%	48	110.25	3	2	0.00%
25	107	20	15	25.00%	49	112.85	16	2	0.00%
26	110.25	11	10	9.09%	50	92.2	20	19	5.00%
27	112.85	56	60	7.14%	51	95.5	1	1	0.00%
32	92.2	65	66	1.54%	52	99.5	0	-1	0.00%
33	95.5	50	48	4.00%	53	103.5	0	-2	0.00%
34	99.5	34.5	31	10.14%	54	107	0	-0.2	0.00%
35	103.5	25.5	20	21.57%	55	110.25	0	0	0.00%
36	107	20	13	35.00%	56	112.85	0	2	0.00%
37	110.25	10	8	20.00%	63	7.5	132.5	112	15.47%
38	112.85	12	4	%7.75	64	30	116	110	5.17%
39	7.5	144	131	9.03%	65	60	114	110	3.51%
40	30	122	117	4.10%	66	85	137	139	1.46%
average= 7.75%									



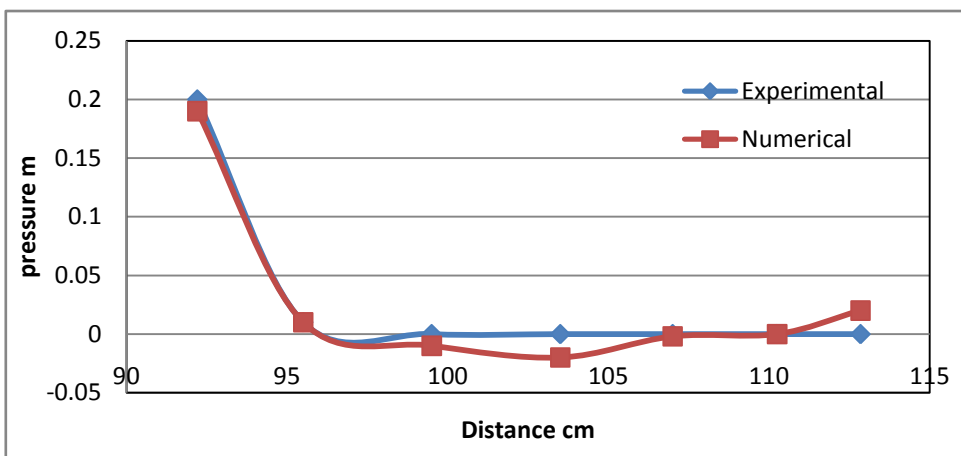
شکل ۴-۱۷-۴: مقایسه نتایج فشار پیزومتریک مدل عددی و آزمایشگاهی در پیزومترهای ۱۷ الی ۲۷ و بازشدگی ۷۰٪



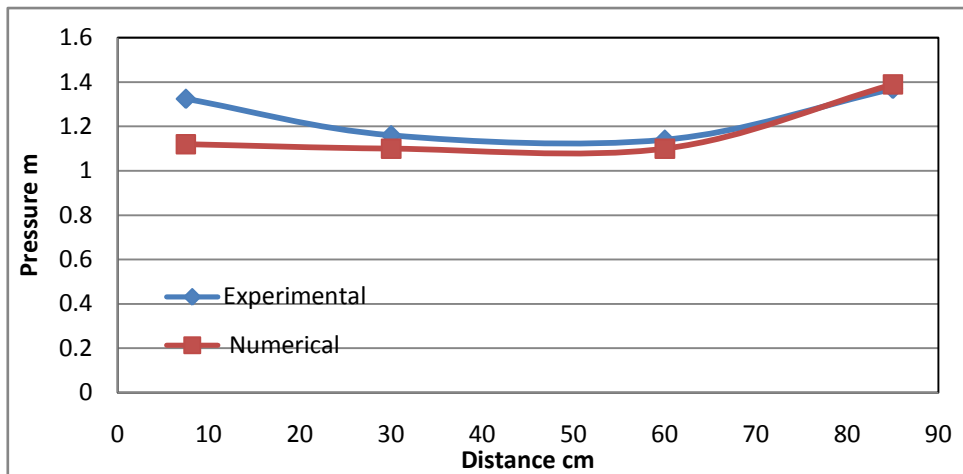
شکل ۱۸-۴: مقایسه نتایج فشار پیزومتریک مدل عددی و آزمایشگاهی در پیزومترهای ۳۲ الی ۳۸ و بازشدگی٪۷۰



شکل ۱۹-۴: مقایسه نتایج فشار پیزومتریک مدل عددی و آزمایشگاهی در پیزومترهای ۴۹ الی ۵۹ و بازشدگی٪۷۰



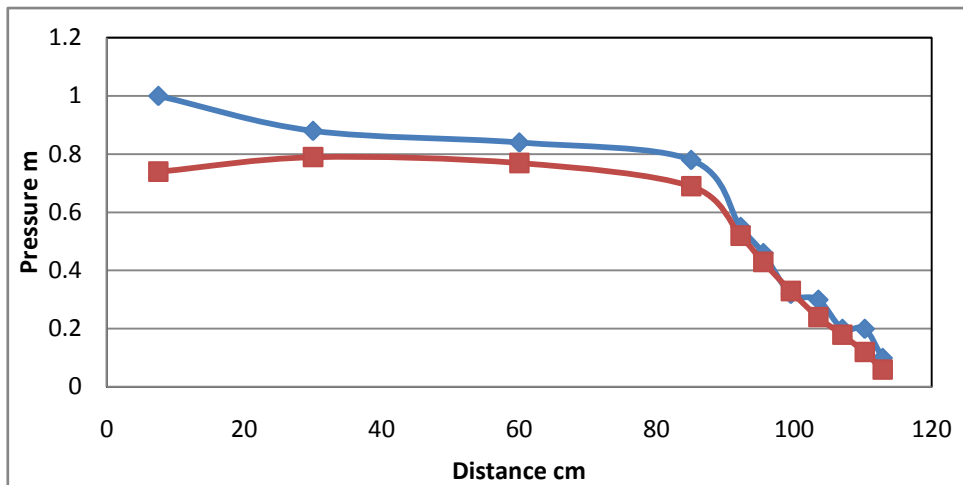
شکل ۲۰-۴: مقایسه نتایج فشار پیزومتریک مدل عددی و آزمایشگاهی در پیزومترهای ۵۰ الی ۵۶ و بازشدگی٪۷۰



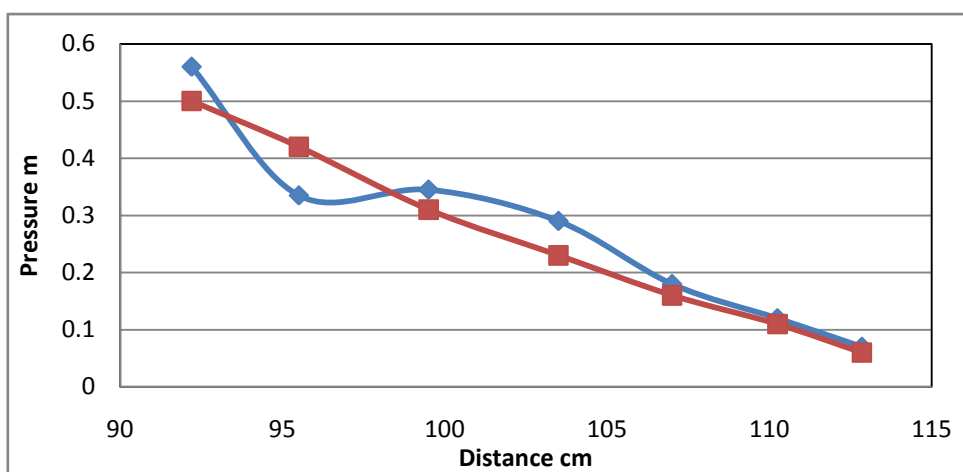
شکل ۲۱-۴: مقایسه نتایج فشار پیزومتریک مدل عددی و آزمایشگاهی در پیزومترهای ۶۳ الی ۶۶ و بازشدنی٪۷۰

جدول ۶-۴: مقایسه نتایج مدل عددی و آزمایشگاهی در بازشدنی٪۹۰ دریچه و هد ۲ متر با لبه ۲۲/۵ درجه

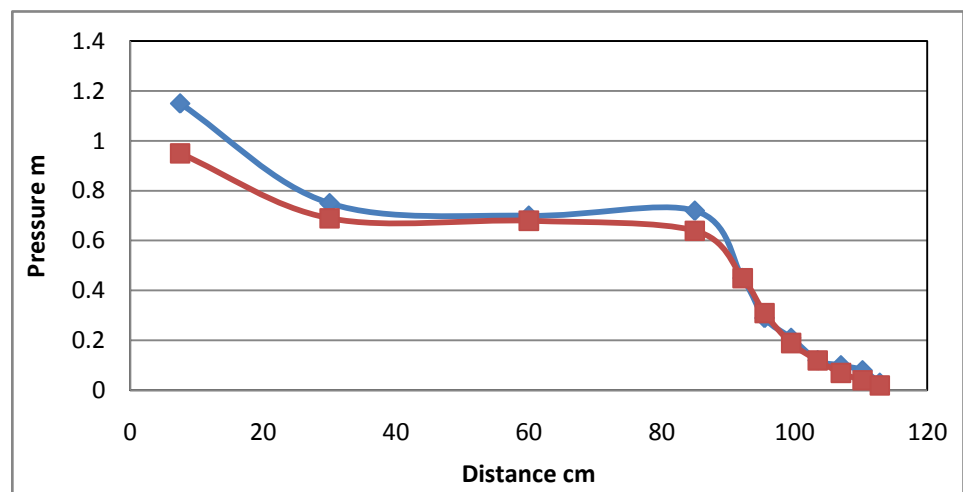
piz.no	X (cm)	باز شدنی٪۹۰		error	piz.no	X (cm)	باز شدنی٪۹۰		Error
		آزمایش	عددی				آزمایش	عددی	
17	7.5	100	74	26.00%	41	60	70	68	2.86%
18	30	88	79	10.23%	42	85	72	64	11.11%
19	60	84	77	8.33%	43	92.2	45	45	0.00%
20	85	78	69	11.54%	44	95.5	29	31	6.90%
21	92.2	55	52	5.45%	45	99.5	21	19	9.52%
22	95.5	46	43	6.52%	46	103.5	12	12	0.00%
23	99.5	32	33	3.13%	47	107	10	7	30.00%
24	103.5	30	24	20.00%	48	110.25	8	4	0.00%
25	107	20	18	10.00%	49	112.85	3	2	0.00%
26	110.25	20	12	40.00%	50	92.2	44	42	4.55%
27	112.85	10	6	40.00%	51	95.5	0	0	0.00%
32	92.2	56	50	10.71%	52	99.5	0	-0.1	0.00%
33	95.5	33.5	42	25.37%	53	103.5	0	-0.1	0.00%
34	99.5	34.5	31	10.14%	54	107	0	-0.1	0.00%
35	103.5	29	23	20.69%	55	110.25	0	-0.1	0.00%
36	107	18	16	11.11%	56	112.85	0	-0.1	0.00%
37	110.25	12	11	8.33%	63	7.5	103.5	70	32.37%
38	112.85	7	6	14.29%	64	30	72	64	11.11%
39	7.5	115	95	17.39%	65	60	69	61	11.59%
40	30	75	69	8.00%	66	85	80	73	8.75%
average= 10.90%									



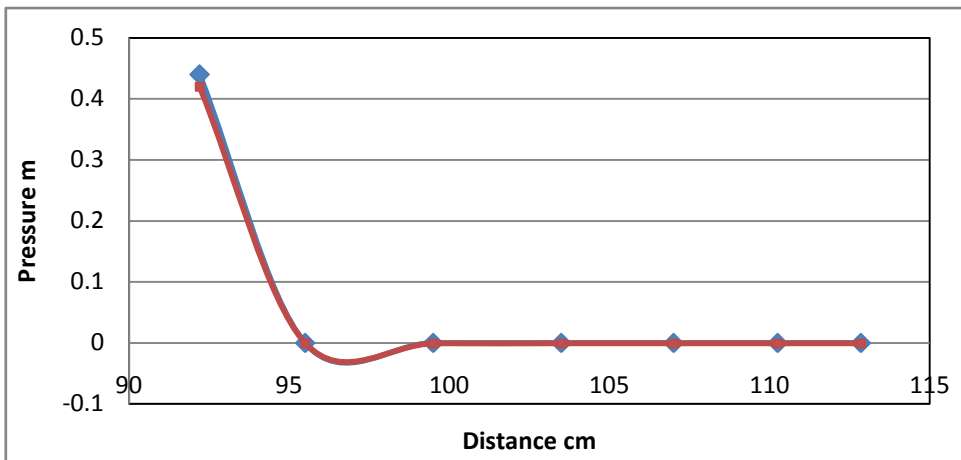
شکل ۲۲-۴: مقایسه نتایج فشار پیزومتریک مدل عددی و آزمایشگاهی در پیزومترهای ۱۷ الی ۲۷ و بازشدنی٪۹۰



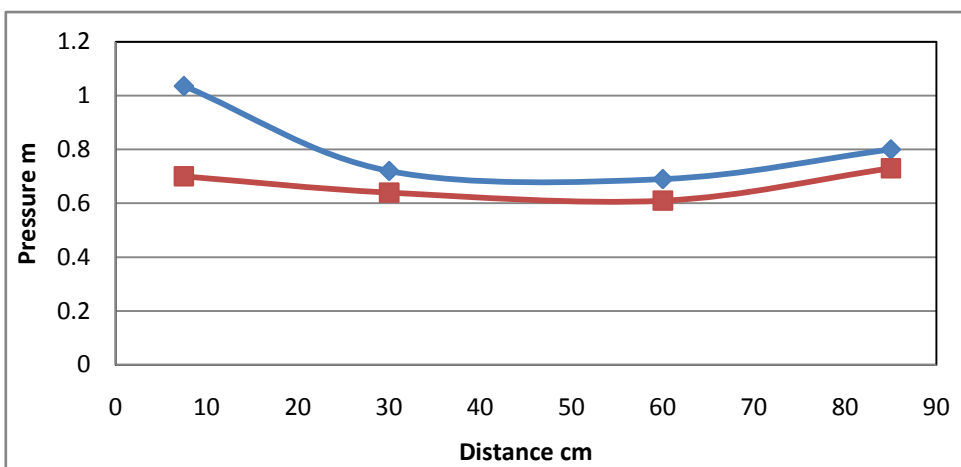
شکل ۲۳-۴: مقایسه نتایج فشار پیزومتریک مدل عددی و آزمایشگاهی در پیزومترهای ۳۲ الی ۳۸ و بازشدنی٪۹۰



شکل ۲۴-۴: مقایسه نتایج فشار پیزومتریک مدل عددی و آزمایشگاهی در پیزومترهای ۳۹ الی ۴۹ و بازشدنی٪۹۰



شکل ۲۵-۴: مقایسه نتایج فشار پیزومتریک مدل عددی و آزمایشگاهی در پیزومترهای ۵۰ الی ۵۶ و بازشدگی٪۹۰



شکل ۲۶-۴: مقایسه نتایج فشار پیزومتریک مدل عددی و آزمایشگاهی در پیزومترهای ۶۳ الی ۶۶ و بازشدگی٪۹۰

با توجه به نتایج مقایسه ای بین مدل عددی و آزمایشگاهی، در فصل بعد این مدل جهت تحلیل عددی جریان عبوری از دریچه فوق با زوایای لبه دریچه ۴۵ و ۶۰ درجه با بازشدگی های٪۷۰ و٪۵۰ مورد استفاده و نتایج آن ارائه می گردد.

# فصل پنجم

## ۵ - فصل پنجم : ارائه و تفسیر نتایج

### ۱ - مقدمه

در فصل قبل مدل عددی بر اساس نتایج آزمایشگاهی انتخاب و کالیبره شد. در این فصل تأثیر زاویه لبه دریچه (زاویه لبه دریچه با افق) بر جریان، هوادهی و میزان غلظت هوا در جریان مورد بررسی قرار می‌گیرد. غلظت جریان بر اساس مقدار فاز آب در مقطع مورد نظر جریان ارائه می‌شود. اگر در هر سلول از مدل عددی ۵٪ و یا بیشتر از ماده فاز یک که همان آب می‌باشد قرار گیرد، می‌توان آن سطح را جزء آب در نظر گرفت. در این مطالعه سه مقطع به شرح زیر مورد بررسی قرار گرفته است :

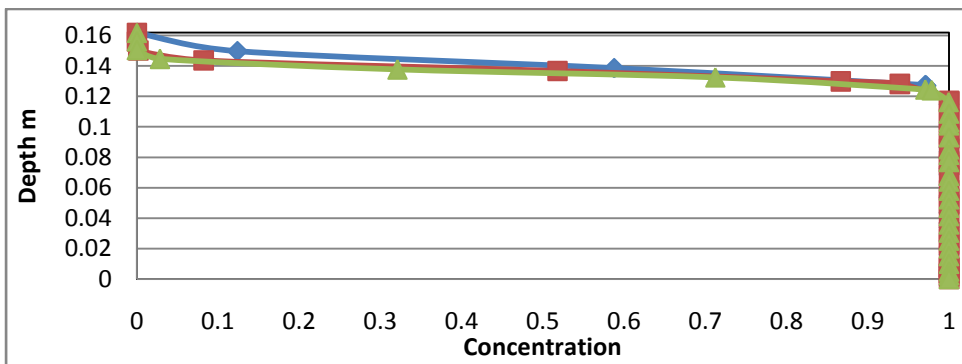
- مقطع پس از دریچه به فاصله  $2/5$  سانتیمتر از زیر لبه دریچه
- مقطع پس از هواده و پس از هواده به فاصله  $6/5$  سانتیمتر از زیر لبه دریچه
- مقطع در انتهای کanal به فاصله  $19/85$  سانتیمتر از زیر لبه دریچه

### ۲ - ارائه نتایج

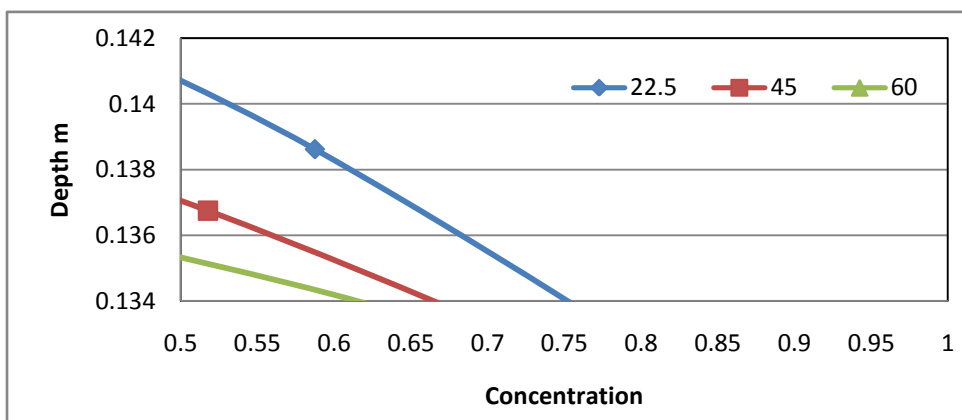
در این بخش ابتدا بازشدگی ۹۰٪ مورد بررسی قرار گرفته است. در نمودار شکل های ۱-۵ الی ۳-۵ مقدار غلظت جریان در آب بر حسب ارتفاع کanal در آن مقطع در راستای عمودی نشان داده شده است. محور افق معرف غلظت و محور قائم معرف فاصله عمودی از کف می‌باشد. در نمودارها عدد ۱ به منزله پر بودن کامل آن قسمت از جریان ( $100\%$ ) از فاز یک یا آب می‌باشد. در نمودار اول کل مقطع نشان داده شده، ولی از آنجا که دقیق مشاهده ای نتایج به دلیل مقیاس کوچک پائین می‌باشد، لذا نمودار دوم بخشی از جریان با بیش از ۵۰٪ آب را بصورت بزرگنمایی بر جسته نموده است. هر یک از نمودارهای نشان داده شده مربوط به یک زاویه لبه دریچه است.

در این نمودارها، غلظت آب  $۰/۵$  معرف وجود  $۰/۵$ ٪ آب در سلول می‌باشد. مطابق نتایج حاصل ملاحظه می‌شود که برای لبه دریچه با زاویه های مختلف، غلظت  $۰/۵$ ٪ در ارتفاع های مختلفی بدست

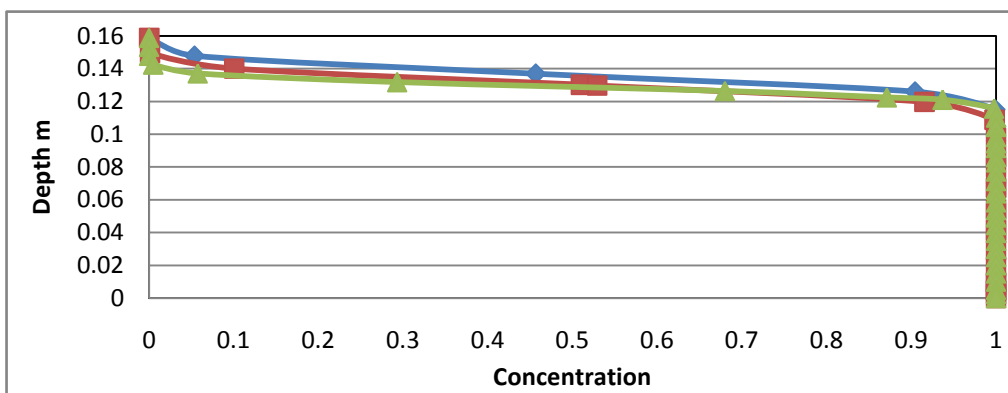
آمده است. در لبه دریچه با زاویه  $22.5^\circ$  درجه در فاصله  $2/5$  سانتیمتری از لبه دریچه ارتفاع مترادف آب با غلظت  $50\%$  هوا برابر  $14/1$  سانتیمتر و ارتفاع آب با غلظت  $100\%$  برابر با  $11/5$  سانتیمتر می باشد. این ارتفاعات برای لبه دریچه با زاویه  $45^\circ$  درجه به ترتیب برابر  $13/7$  و  $10/6$  سانتیمتر و برای لبه دریچه با زاویه  $60^\circ$  درجه به ترتیب برابر  $13/5$  و  $10/9$  سانتیمتر می باشد (شکل ۱-۵ و ۲-۵). در مقطعی در فاصله  $6/5$  سانتیمتر ارتفاع کف تا سقف کanal برابر با  $15/9$  سانتیمتر می باشد. این مقطع بعد از هواده دریچه قرار دارد (شکل ۳-۵ و ۴-۵). همانگونه که در نمودار شکل ۴-۵ ملاحظه می شود، در لبه دریچه با زاویه  $22.5^\circ$  درجه ارتفاع مترادف غلظت  $50\%$  برابر  $13/6$  سانتیمتر و ارتفاع معادل با غلظت  $100\%$  آب برابر با  $10/5$  سانتیمتر می باشد. این مقادیر برای لبه دریچه با زاویه  $45^\circ$  درجه به ترتیب برابر با  $13/0.5$  سانتیمتر و  $9/8$  سانتیمتر می باشد و برای لبه دریچه با زاویه  $60^\circ$  درجه برابر  $12/9$  سانتیمتر و  $11/0.2$  سانتیمتر می باشد.



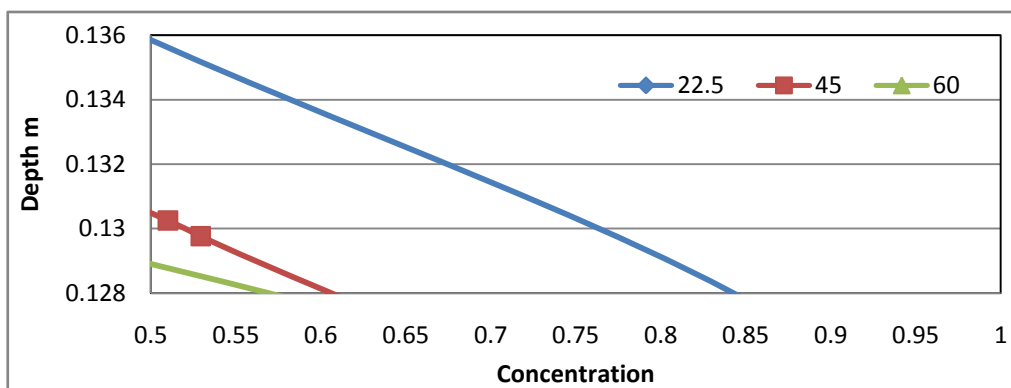
شکل ۱-۵: نمودار تغییرات غلظت در عمق در بازشدن  $90\%$  و فاصله  $x=2.5\text{cm}$



شکل ۲-۵: نمودار بزرگنمایی شده تغییرات غلظت در عمق در بازشدن  $90\%$  و فاصله  $x=2.5\text{cm}$

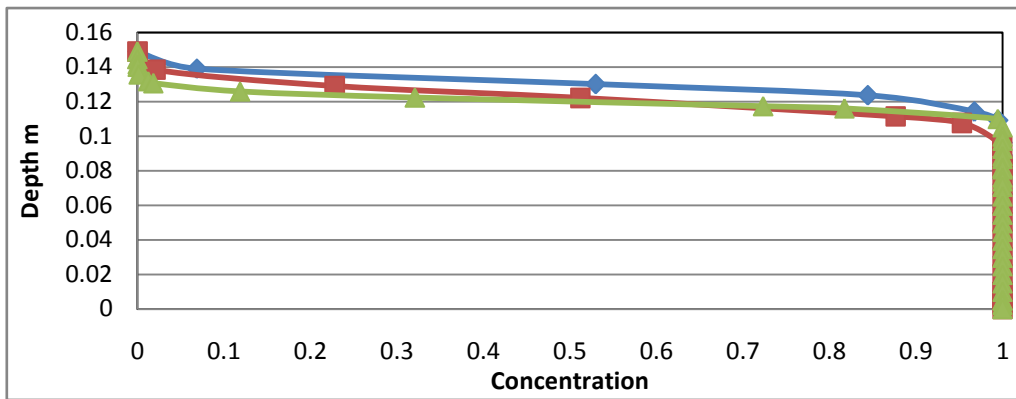


شکل ۵-۳: نمودار تغییرات غلظت در عمق در بازشده ۹۰٪ و فاصله  $x=6.5\text{cm}$

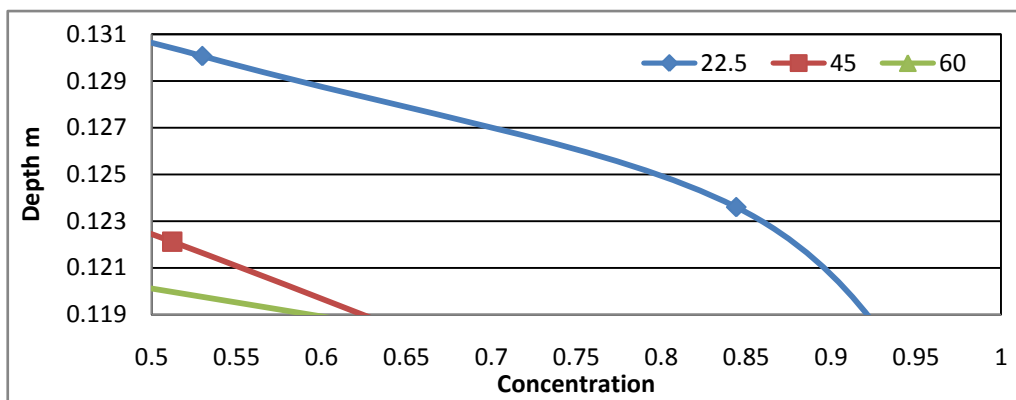


شکل ۵-۴: نمودار بزرگنمایی شده تغییرات غلظت در عمق در بازشده ۹۰٪ و فاصله  $x=6.5\text{cm}$

در انتهای کanal و در مقطع به فاصله ۱۹/۸۵ سانتیمتر، ارتفاع کف تا سقف کanal برابر با ۱۴/۹ سانتیمتر می باشد (شکل ۵-۵ و ۵-۶).. همانگونه که در شکل ۵-۵ ملاحظه می شود، در لبه دریچه با زاویه ۲۲/۵ درجه ارتفاع متراff با غلظت ۵۰٪ برابر ۱۳/۰۶ و ارتفاع معادل با غلظت ۱۰۰٪ آب برابر با ۹/۶۳ سانتیمتر می باشد. این مقادیر برای لبه دریچه با زاویه ۴۵ درجه برابر ۱۲/۲۴ و ۸/۳۱ سانتیمتر و برای لبه دریچه با زاویه ۶۰ درجه برابر ۱۲ و ۱۰/۵۲ سانتیمتر می باشد.



شکل ۵-۵: نمودار تغییرات غلظت در عمق در بازدگی ۹۰٪ و فاصله  $x=19.85\text{cm}$



شکل ۵-۶: نمودار بزرگنمایی شده تغییرات غلظت در عمق در بازدگی ۹۰٪ و فاصله  $x=19.85\text{cm}$

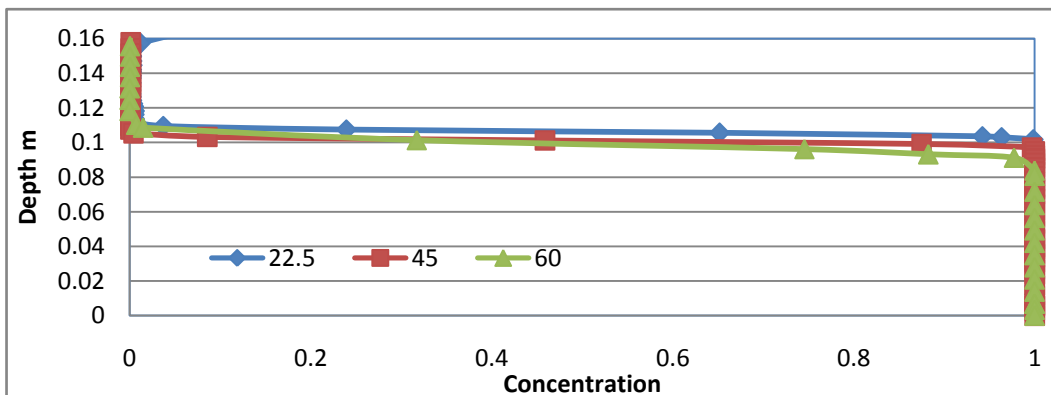
چنانچه در نمودار شکل های ۱-۵ تا ۵-۶ ملاحظه می شود، با افزایش زاویه لبه دریچه در غلظت ۰.۵٪ ارتفاع معادل آن غلظت کاهش می یابد. این تفاوت بین دو لبه دریچه با زاویه  $22.5^\circ$  و  $45^\circ$  درجه بیشتر قابل مشاهده است، بطوریکه در مقطع  $2/5\text{cm}$  اختلاف تراز برابر با  $0.4\text{cm}$  در مقطع  $6/5\text{cm}$  برابر  $0.55\text{cm}$  و در مقطع  $19/85\text{cm}$  واقع در انتهای کanal این اختلاف به  $0.8\text{cm}$  می رسد. این اختلاف ارتفاع در غلظت  $0.5\%$  آب برای دو لبه دریچه با زاویه  $45^\circ$  و  $60^\circ$  درجه مقادیر کمتری را نشان می دهد، چنانچه این مقادیر در فاصله های  $2/5\text{cm}$  و  $6/5\text{cm}$  و  $19/85\text{cm}$  از زیر لبه دریچه به ترتیب برابر با  $0.2\text{cm}$  و  $0.25\text{cm}$  و  $0.15\text{cm}$  می باشد. لازم به ذکر است که دبی خروجی مجراء در هر سه حالت برابر  $76\text{lit/sec}$  در این بازدگی می باشد. البته متذکر می گردد که ارتفاع هد آب

برای زاویه های ۴۵ و ۶۰ درجه به ترتیب برابر با  $2/38$  و  $2/56$  متر برای تامین این دبی یکسان می باشد. برای زاویه  $22/5$  درجه این هد جهت تامین دبی  $76 \text{ lit/sec}$  معادل ۲ متر می باشد.

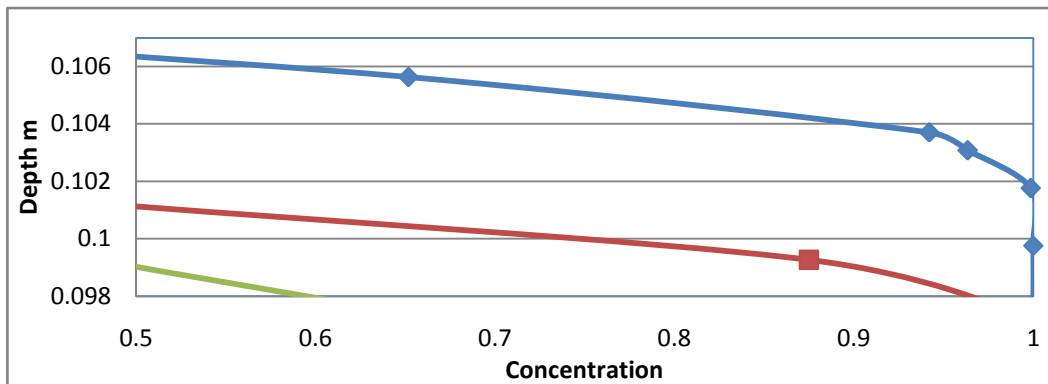
در مدل آزمایشگاهی با باز شدگی  $90\%$  دبی برابر  $78/17 \text{ lit/sec}$  می باشد و با توجه به عرض کanal دریچه که برابر با  $11 \text{ سانتیمتر}$  می باشد دبی واحد عرض برابر با  $71 \text{ lit/sec}$  می گردد، از آنجا که نتایج عددی با نتایج آزمایشگاهی دارای درصدی اختلاف می باشد، برای تامین هد  $2 \text{ متر}$  در مدل آزمایشگاهی، مقدار دبی  $76 \text{ lit/sec}$  با سعی و خطا به دست آمد. برای زوایای  $45$  و  $60$  درجه لبه دریچه نیز از همین مقدار دبی استفاده شد، ولی ملاحظه گردید که ارتفاع هد آب بالا می باشد.

در بازشدگی  $70\%$  دریچه فاصله کف کanal تا زیر لبه دریچه برابر  $11/45 \text{ cm}$  می باشد. در این بخش نیز غلظت هوای  $50\%$  در فواصل  $2/5 \text{ cm}$  و  $6/5 \text{ cm}$  و  $8/5 \text{ cm}$  بعد از دریچه مورد بررسی قرار گرفت که نتایج برای زوایای مختلف در شکل ۷-۵ و بزرگنمایی شده آن در شکل ۸-۵ ارائه شده است.

در فاصله  $2/5 \text{ cm}$  از لبه دریچه با زاویه  $22/5$  درجه ارتفاع آب با غلظت هوای  $50\%$  برابر  $10/63 \text{ cm}$  و در غلظت آب  $100\%$  برابر  $9/98 \text{ سانتیمتر}$  می باشد. این مقادیر برای لبه دریچه با زاویه  $45$  درجه به ترتیب برابر  $10/11 \text{ cm}$  و  $9/50 \text{ سانتیمتر}$  و برای لبه دریچه با زاویه  $60$  درجه برابر  $9/92 \text{ cm}$  و  $8/39 \text{ cm}$  می باشند. اختلاف ارتفاع در غلظت  $50\%$  هوا در دو حالت اول یعنی زوایای  $22/5$  و  $45$  سانتیمتر می باشد. ارتفاع در غلظت  $50\%$  هوا در دو حالت اول یعنی زوایای  $45$  و  $60$  درجه برابر  $52/0 \text{ cm}$  و برای زوایای  $45$  و  $60$  درجه برابر  $19/0 \text{ cm}$  می باشد.

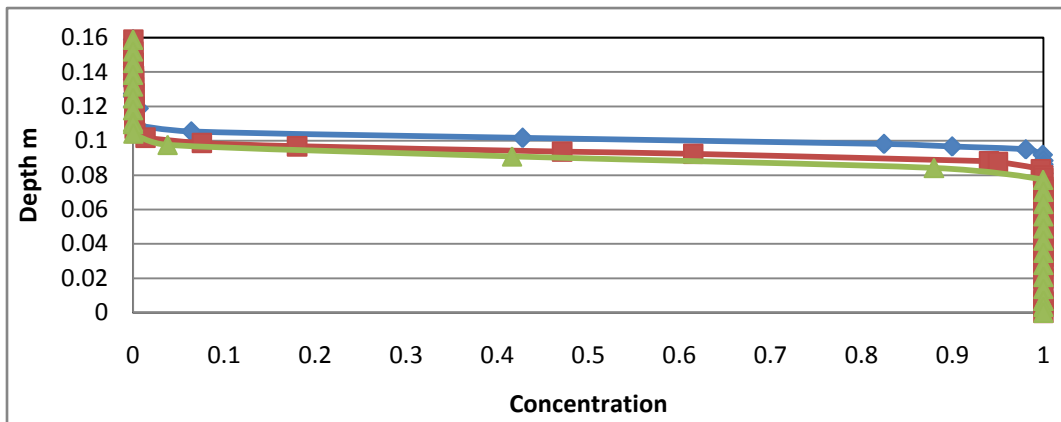


شکل ۷-۵: نمودار تغییرات غلظت در عمق در بازشدگی  $70\%$  و فاصله  $x=2.5 \text{ cm}$

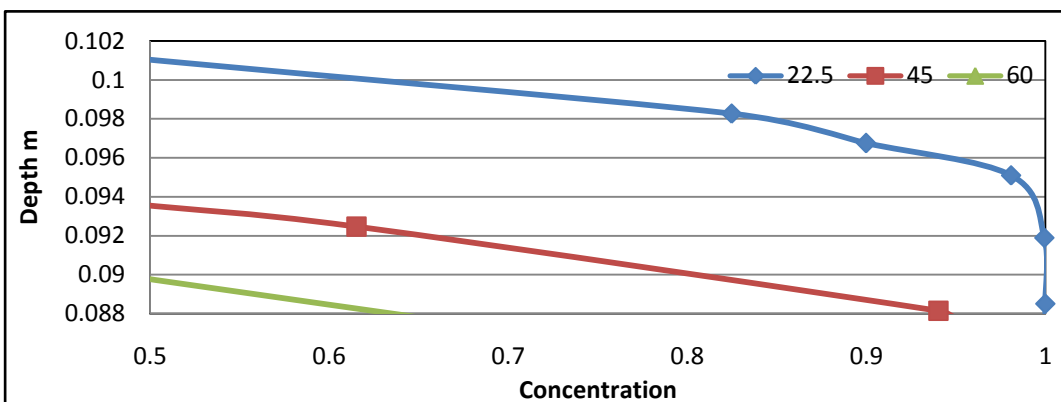


شکل ۸-۵: نمودار بزرگنمایی شده تغییرات غلظت در عمق در بازدگی ۷۰٪ و فاصله  $x=2.5\text{cm}$

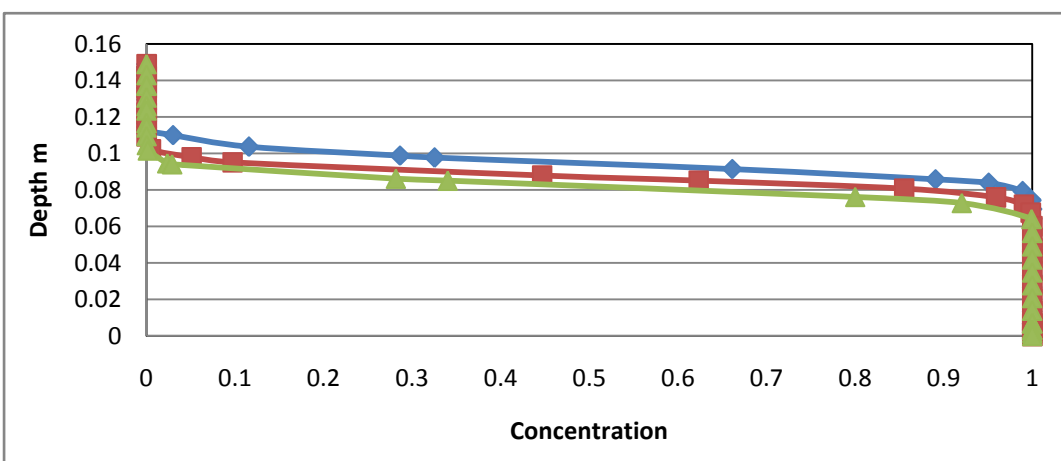
مطابق شکل ۹-۵ و ۱۰-۵ در مقطع به فاصله  $6/5\text{cm}$  از دریچه با زاویه  $22/5$  درجه ارتفاع آب در غلظت هوا  $0.50\%$  برابر با  $10/11\text{cm}$  و در غلظت آب  $100.1\%$  برابر با  $8/49\text{cm}$  می باشد، برای لبه دریچه با زاویه  $60$  درجه برابر  $45$  درجه به ترتیب برابر با  $7/84\text{cm}$  و  $9/36\text{cm}$  و برای لبه دریچه با زاویه  $45$  درجه برابر  $8/98\text{cm}$  و  $7/04\text{cm}$  می باشد. اختلاف ارتفاع آب در غلظت هوا  $0.50\%$  در حالت زوایای  $22/5$  برابر  $8/75\text{cm}$  و زوایای  $45$  و  $60$  درجه برابر  $3/8\text{cm}$  می باشد. مطابق شکل ۱۱-۵ و ۱۲-۵ در مقطع به فاصله  $19/85$  سانتیمتری، در لبه دریچه با زاویه  $22/5$  درجه ارتفاع آب در غلظت هوا  $0.50\%$  برابر  $9/45\text{cm}$  و در غلظت آب  $100.1\%$  برابر  $5/25\text{cm}$  می باشد، برای لبه دریچه با زاویه  $45$  درجه این مقادیر به ترتیب برابر با  $8/71\text{cm}$  و  $6/02\text{cm}$  می باشد و برای لبه دریچه با زاویه  $60$  درجه برابر  $8/2\text{cm}$  و  $8/65\text{cm}$  می باشد. اختلاف ارتفاع آب در غلظت هوا  $0.50\%$  در دو حالت زوایای  $22/5$  و  $45$  درجه برابر  $0/74\text{cm}$  و برای زوایای  $45$  و  $60$  درجه برابر  $0/51\text{cm}$  می باشد.



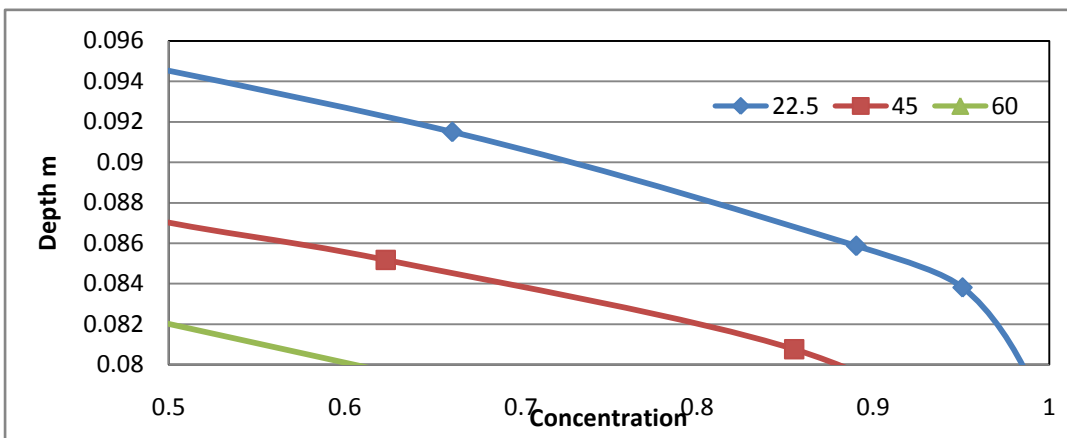
شکل ۹-۵: نمودار تغییرات غلظت در عمق در بازشدگی ۷۰٪ و فاصله  $x=6.5\text{cm}$



شکل ۱۰-۵: نمودار بزرگنمایی شده تغییرات غلظت در عمق در بازشدگی ۷۰٪ و فاصله  $x=6.5\text{cm}$

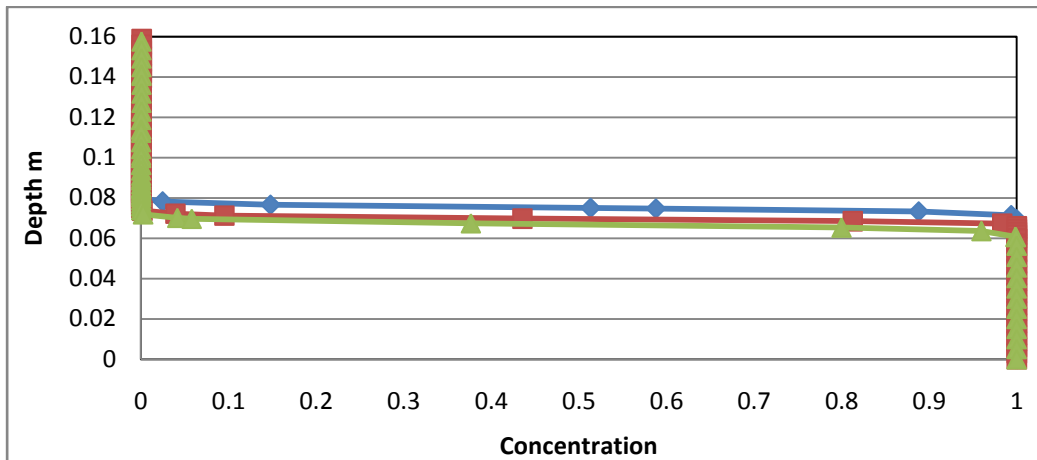


شکل ۱۱-۵: نمودار تغییرات غلظت در عمق در بازشدگی ۷۰٪ و فاصله  $x=19.85\text{cm}$

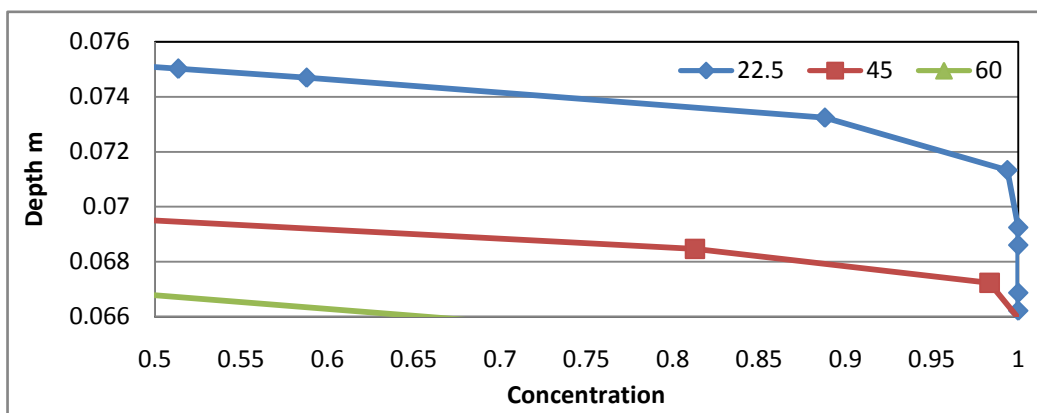


شکل ۱۲-۵: نمودار بزرگنمایی شده تغییرات غلظت در عمق در بازشدگی ۷۰٪ و فاصله  $x=19.85\text{cm}$

چنانچه در نمودارهای شکل ۱۲-۵ الی ۷-۵ ملاحظه می شود، با افزایش زاویه لبه دریچه در غلظت هواي ۵٪ ارتفاع آب کاهش می یابد. لازم به ذکر است که در هر سه حالت لبه دریچه، دبی خروجی برابر بوده و برای بازشدگی ۷۰٪ معادل  $54\text{lit/sec}$  می باشد. ضمناً هد آب ۲ متر برای لبه دریچه  $22/5$  درجه و برای زاویه های ۴۵ و ۶۰ درجه هد آب به ترتیب برابر  $2/58\text{m}$  و  $2/61\text{m}$  می باشد. در بازشدگی ۵٪ مطابق شکل ۱۳-۵ و ۱۴-۵ فاصله کف کanal تا لبه دریچه برابر  $8/175\text{cm}$  می باشد. در فاصله  $2/5\text{cm}$  از دریچه با زاویه لبه  $22/5$  درجه ارتفاع آب در غلظت ۵٪ برابر  $7/51\text{cm}$  و در غلظت آب ۱۰۰٪ برابر با  $6/92\text{cm}$  است، برای لبه دریچه با زاویه ۴۵ درجه این مقادیر برابر با  $6/95\text{cm}$  و  $6/60\text{cm}$  و برای لبه دریچه با زاویه ۶۰ درجه برابر با  $6/68\text{cm}$  و  $6/63\text{cm}$  می باشد. اختلاف ارتفاع در غلظت هوای ۵٪ برای زوایای  $22/5$  و  $45$  درجه برابر  $56\text{cm}$  و برای زوایای  $45$  و  $60$  درجه برابر  $27\text{cm}$  می باشد.



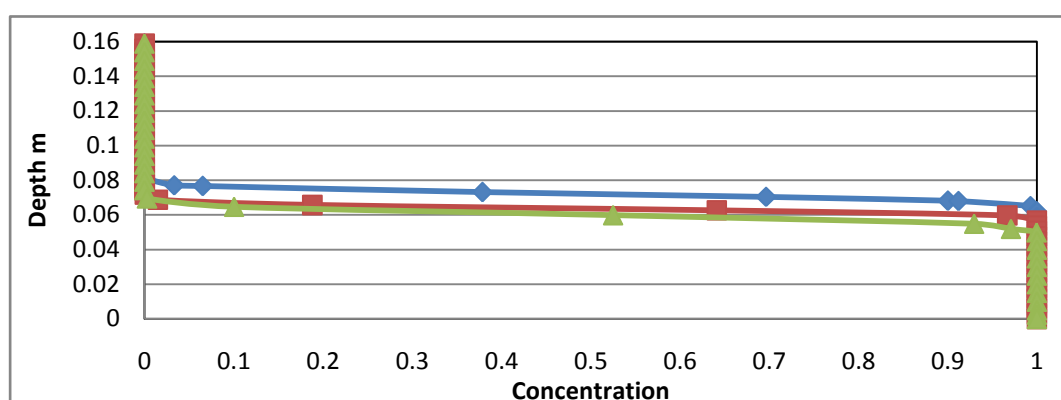
شکل ۱۳-۵: نمودار تغییرات غلظت در عمق در بازشده ۰.۵٪ و فاصله  $x=2.5\text{cm}$



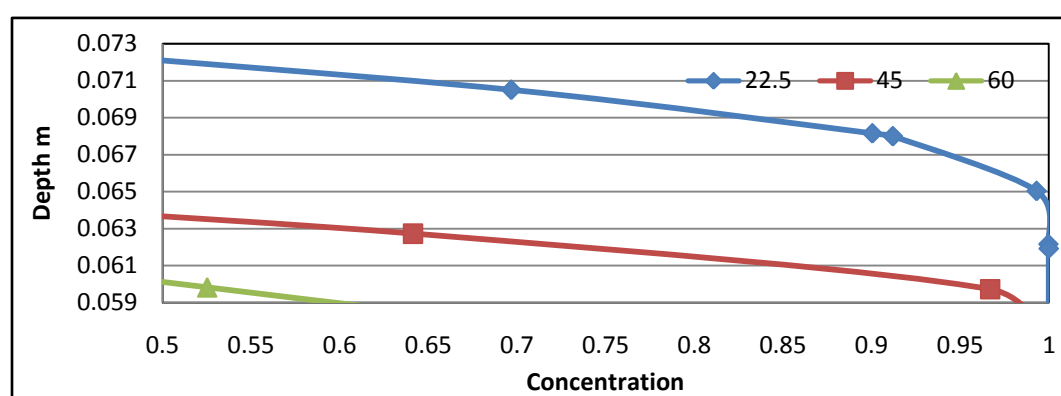
شکل ۱۴-۵: نمودار بزرگنمایی شده تغییرات غلظت در عمق در بازشده ۰.۵٪ و فاصله  $x=2.5\text{cm}$

در مقطع به فاصله  $6/5\text{cm}$  مطابق شکل ۱۵-۵ و ۱۶-۵ در لبه دریچه با زاویه  $22/5$  درجه ارتفاع آب در غلظت ۰.۵٪ هوا برابر  $7/21\text{cm}$  و در غلظت آب  $6/19\text{cm}$  برابر  $100/1\%$  باشد، برای لبه دریچه با زاویه  $45$  درجه این مقادیر به ترتیب برابر  $6/37\text{cm}$  و  $5/67\text{cm}$  و برای لبه دریچه با زاویه  $60$  درجه برابر با  $6/10\text{cm}$  و  $4/5\text{cm}$  می باشد. اختلاف ارتفاع آب در غلظت هوا  $0.5\%$  برای زوایای  $5/2$  درجه برابر با  $1/0.1\text{cm}$  و  $4/5\text{cm}$  می باشد. در مقطع به فاصله  $45$  درجه برابر  $1/0.84\text{cm}$  و برای زوایای  $45$  و  $60$  درجه برابر  $3/6\text{cm}$  می باشد. در مقطع به فاصله  $19/85\text{cm}$  مطابق شکل ۱۷-۵ و ۱۸-۵ در لبه دریچه با زاویه  $22/5$  درجه ارتفاع آب در غلظت  $0.5\%$  هوا برابر  $6/7\text{cm}$  و در غلظت آب  $4/41\%$  می باشد، برای لبه دریچه با زاویه  $45$  درجه این مقادیر برابر  $6/0.5\text{cm}$  و  $5/36\text{cm}$  و برای لبه دریچه با زاویه  $60$  درجه برابر  $5/72\text{cm}$  و  $4/47\text{cm}$  می باشد.

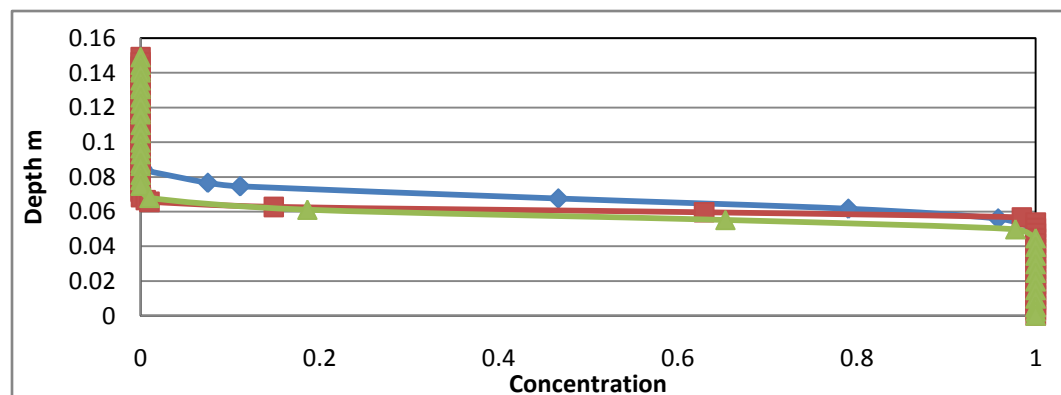
باشد. اختلاف ارتفاع آب در غلظت  $0.5\%$  برای زوایای  $22/5$  و  $45$  درجه برابر  $0/65\text{cm}$  و برای زوایای  $45$  و  $60$  درجه برابر  $0/33\text{cm}$  می باشد.



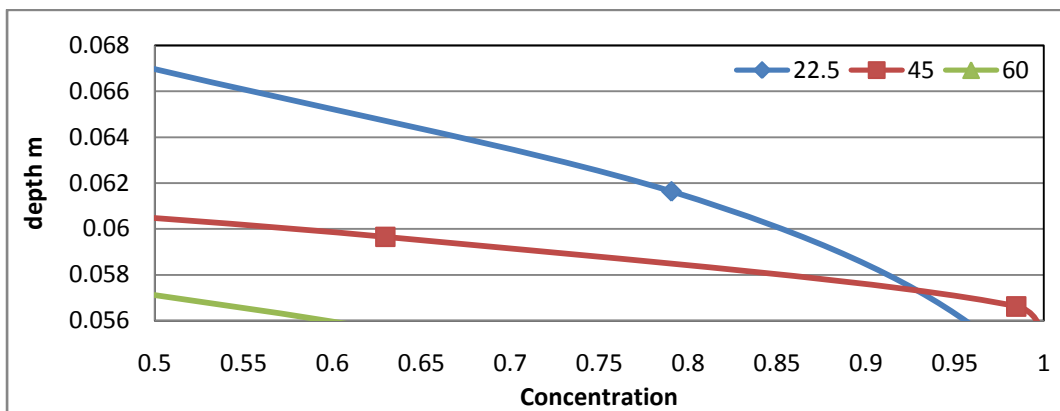
شکل ۱۵-۵: نمودار تغییرات غلظت در عمق در بازشده  $0.5\%$  و فاصله  $x=6.5\text{cm}$



شکل ۱۶-۵: نمودار تغییرات غلظت در عمق در بازشده  $0.5\%$  و فاصله  $x=6.5\text{cm}$



شکل ۱۷-۵: نمودار تغییرات غلظت در عمق در بازشده  $0.5\%$  و فاصله  $x=19.85\text{cm}$



شکل ۱۸-۵: نمودار تغییرات غلظت در عمق در بازشدگی ۵۰٪ و فاصله  $x=19.85\text{cm}$

لازم به ذکر است که در هر سه لبه دریچه، دبی خروجی در این بازشدگی معادل  $38\text{lit/sec}$  می باشد. هد آب ۲ متر برای زاویه های  $45^\circ$  و  $60^\circ$  درجه به ترتیب برابر  $2/46\text{m}$  و  $2/73\text{m}$  می باشد. بر اساس مطالب ارائه شده در سه بازشدگی و سه فاصله از دریچه، می توان نتیجه گرفت که با افزایش زاویه لبه دریچه ارتفاع آب معرف سطح آزاد آب) کاهش یافته و ارتفاع معادل غلظت آب  $100^\circ$  درصد (معرف میزان نفوذ هوا در آب) نیز کاهش یافته است. تغییرات ضخامت تیغه آب و هوا از مقدار  $100^\circ$ ٪ غلظت هوا تا  $50^\circ$ ٪ غلظت آب (صفرا درصد غلظت هوا) در جدول زیر ارائه شده است.

جدول ۱-۵: تغییرات نفوذ هوا در داخل آب در بازشدگی و زاویه لبه دریچه مختلف

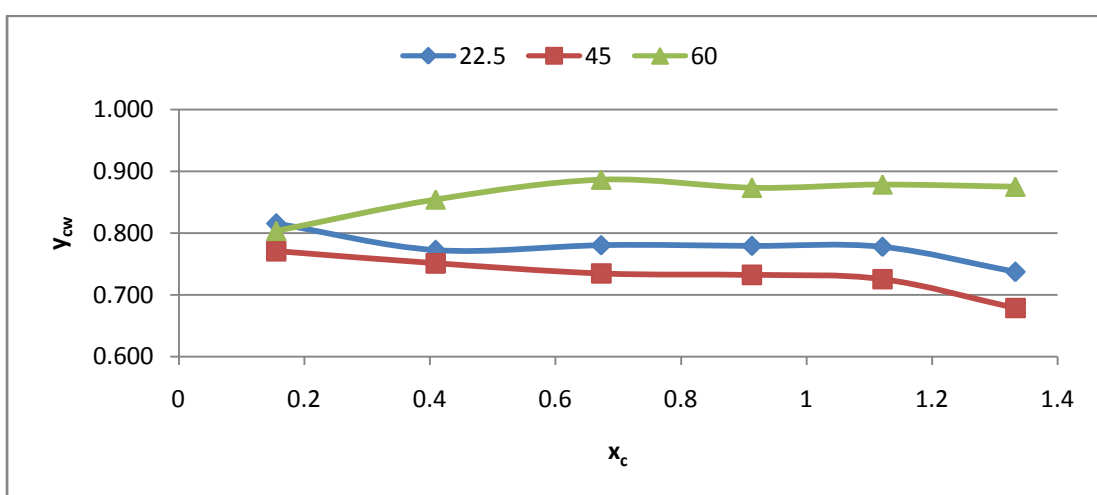
۵۰ درصد			۷۰ درصد			۹۰ درصد			بازشدگی
۶۰°	۴۵°	۲۲/۵°	۶۰°	۴۵°	۲۲/۵°	۶۰°	۴۵°	۲۲/۵°	زاویه لبه دریچه
۶/۰۱	۶/۳۷	۷/۲۱	۸/۹۸	۹/۳۶	۱۰/۱۱	۱۲/۹	۱۳/۰۵	۱۳/۶	ارتفاع آب معادل ٪۵۰ غلظت هوا
۴/۵	۵/۶۷	۶/۹	۷/۰۴	۷/۸۴	۸/۴۹	۱۱/۰۲	۹/۸	۱۰/۵	ارتفاع آب معادل ٪۱۰۰ غلظت آب
۱/۵۱	۰/۷۰	۰/۳۱	۱/۹۴	۱/۵۲	۱/۶۲	۱/۸۸	۳/۲۵	۳/۱	اختلاف

مقدار اختلاف ارائه شده در جدول فوق معرف ضخامتی از سیال است که با هوا درگیر می گردد و عبارتی هوا در داخل آن نفوذ نموده که از نقطه نظر کاویتاسیون حائز اهمیت است. از نقطه نظر هیدرولیکی بازشدگی های زیر ۵۰٪ قابل تأمل نمی باشد زیرا تجربه نشان داده که ضریب هوادهی افزایش یافته و هوا به میزان زیاد وارد جت با ضخامت کم می گردد. در بازشدگی های بالاتر افت فشار قابل توجه بوده و ضخامت تیغه آب افزایش یافته و نفوذ هوا به داخل جریان جهت کنترل کاویتاسیون حائز اهمیت می گردد. مطابق جدول ملاحظه می گردد که زاویه ۶۰ درجه در بازشدگی های نزدیک ۹۰٪ و زاویه ۴۵ درجه در بازشدگی های نزدیک ۴۵ درجه از نقطه نظر هیدرولیکی توصیه نفوذ هوا به داخل آب گردیده است. بنابراین در جمع زاویه ۴۵ درجه از نقطه نظر هیدرولیکی توصیه مناسب تشخیص داده می شود. در ادامه به بررسی نسبت عمق آب و عمق هوا به عمق کل کanal و میزان تغییرات این دو عمق با افزایش زاویه لبه دریچه پرداخته شده است.

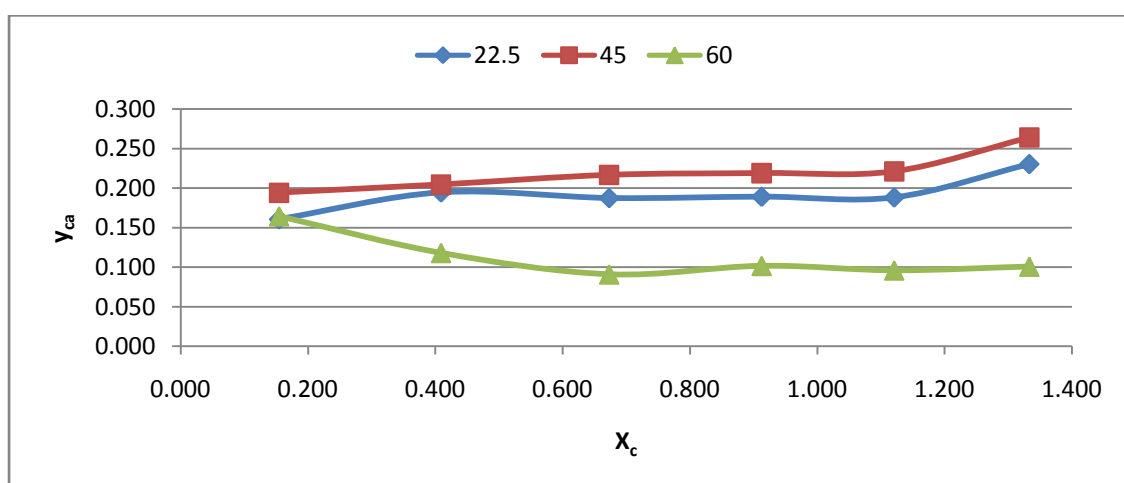
پروفیل سطح آب در جایی در نظر گرفته شده است که مقدار غلظت هوا برابر با ۵۰٪ می باشد و برای اندازه گیری غلظت هوا از ارتفاعی که غلظت هوا در جریان از ۰٪ به ۵۰٪ می رسد استفاده گردیده است. جهت این بررسی، پارامتر  $y_{cw}$  برابر عمق نسبی آب معرفی می شود که از تقسیم عمق آب در هر مقطع به کل عمق آن مقطع حاصل می شود. پارامتر  $y_{ca}$  برابر عمق نسبی هوا است که از تقسیم عمق هوای مخلوط در آب هر مقطع به کل عمق آن مقطع کanal بدست می آید. برای رسم نمودار طولی کanal از طول نسبی  $x_c$  برای معرفی فواصل از لبه دریچه استفاده شده که با تقسیم فاصله آن مقطع از لبه دریچه بر ارتفاع کل مقطع حاصل می شود. در ابتدا بررسی نتایج بازشدگی ۹۰٪ مطابق جدول ۲-۵ ارائه شده است. در این جدول ها مقاطع در فواصل معین معرفی شده از لبه دریچه به همراه ارتفاع کanal در آن مقطع مشخص شده است. در ستون سوم نسبت این دو و در ستون های بعد مقدار  $y_{cw}$  برای هر لبه دریچه معادل عمق نسبی آب به ازای غلظت ۵۰٪ آب ارائه شده است. پارامتر  $y_{ca}$  نیز که معرف عمق نسبی هوای مخلوط در آب به عمق کل کanal است در ستون های انتهائی آورده شده است.

جدول ۲-۵: تغییرات عمق نسبی آب و هوا در طول مسیر در باز شدگی٪۹۰

X (cm)	$y_w$ (cm)	$x_c = x/y_w$	Ycw			Yca		
			22.5	45	60	22.5	45	60
2.5	16.17	0.155	0.815	0.771	0.804	0.185	0.229	0.196
6.5	15.89	0.409	0.772	0.751	0.855	0.228	0.249	0.145
10.5	15.6	0.673	0.780	0.735	0.887	0.220	0.265	0.113
14	15.34	0.913	0.779	0.732	0.873	0.221	0.268	0.127
17.25	15.39	1.121	0.778	0.726	0.879	0.222	0.274	0.121
19.85	14.89	1.333	0.737	0.679	0.875	0.263	0.321	0.125
		average	0.777	0.732	0.862	0.223	0.268	0.138



شکل ۱۹-۵: نمودار تغییرات عمق نسبی آب در طول مسیر در باز شدگی٪۹۰

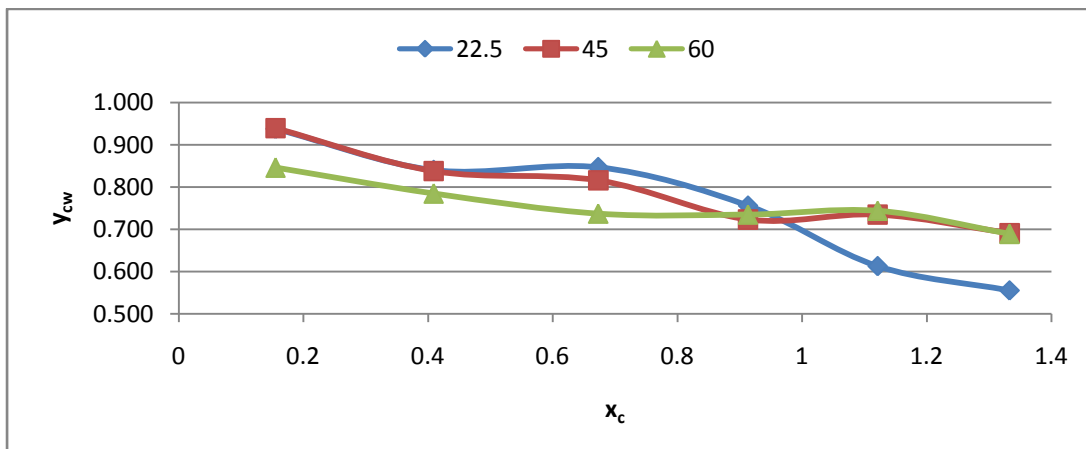


شکل ۲۰-۵: نمودار تغییرات عمق نسبی هوا در طول مسیر در باز شدگی٪۹۰

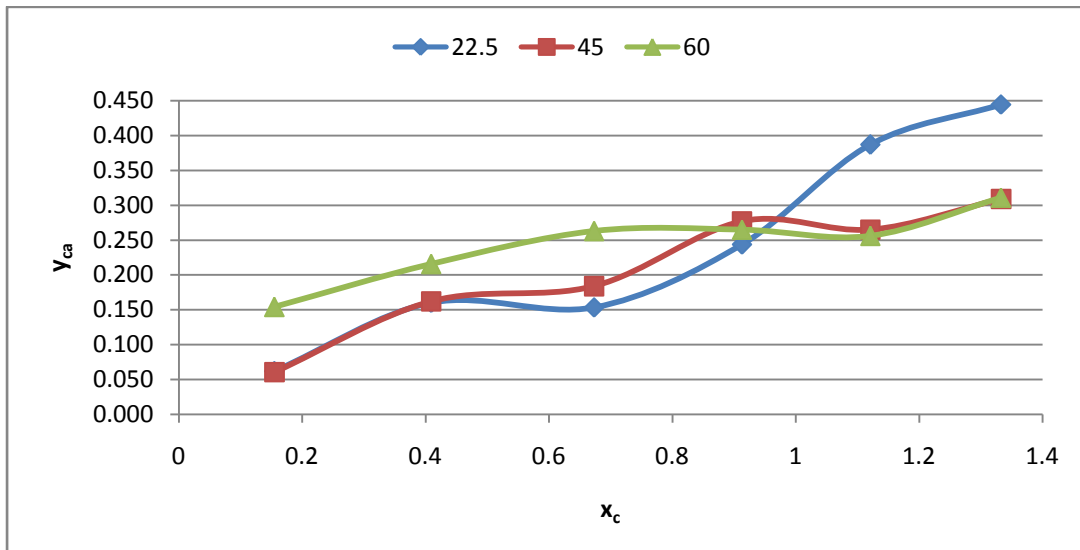
همانگونه که در جدول ۲-۵ و نمودار شکل ۱۹-۵ و ۲۰-۵ مشاهده می شود در بازشدن غلظت نسبی هوا در جریان در لبه دریچه ۲۲/۵ و ۴۵ درجه در طول کanal با شیب ملایمی افزایش یافته و در لبه دریچه با زاویه ۶۰ درجه با شیب ملایمی کاهش یافته است. همچنین با افزایش زاویه لبه دریچه از ۲۲/۵ درجه به ۴۵ درجه غلظت نسبی هوا با افزایش همراه است در صورتیکه با افزایش زاویه لبه دریچه از ۴۵ به ۶۰ درجه از غلظت هوا کاسته شده است. جدول ۳-۵ و نمودار شکل های ۲۱-۵ و ۵-۳ نتایج مدل در بازشدن غلظت را نشان می دهد.

جدول ۳-۵: تغییرات عمق نسبی آب و هوا در طول مجرأ در بازشدن غلظت

X (cm)	y <sub>w</sub> (cm)	x <sub>c</sub> =x/y <sub>w</sub>	Y <sub>CW</sub>			Y <sub>CA</sub>		
			22.5	45	60	22.5	45	60
2.5	16.17	0.155	0.938	0.940	0.846	0.062	0.060	0.154
6.5	15.89	0.409	0.840	0.838	0.784	0.160	0.162	0.216
10.5	15.6	0.673	0.847	0.816	0.737	0.153	0.184	0.263
14	15.34	0.913	0.756	0.723	0.735	0.244	0.277	0.265
17.25	15.39	1.121	0.613	0.735	0.744	0.387	0.265	0.256
19.85	14.89	1.333	0.555	0.691	0.689	0.445	0.309	0.311
		average	0.758	0.790	0.756	0.242	0.210	0.244



شکل ۲۱-۵: نمودار تغییرات عمق نسبی آب در طول مجرأ در بازشدن غلظت

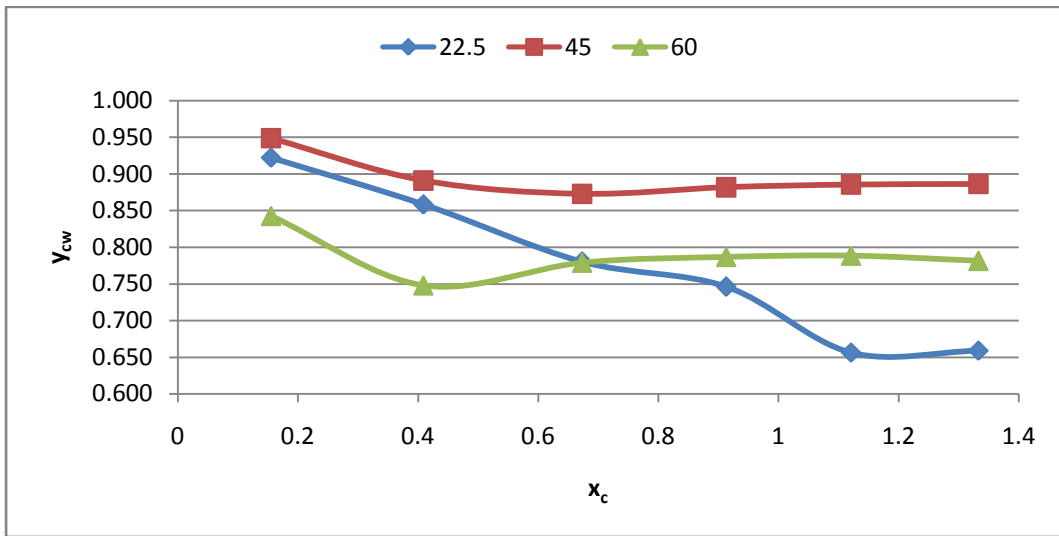


شکل ۲۲-۵: نمودار تغییرات عمق نسبی هوا در طول مgra در بازشدگی٪ ۷۰

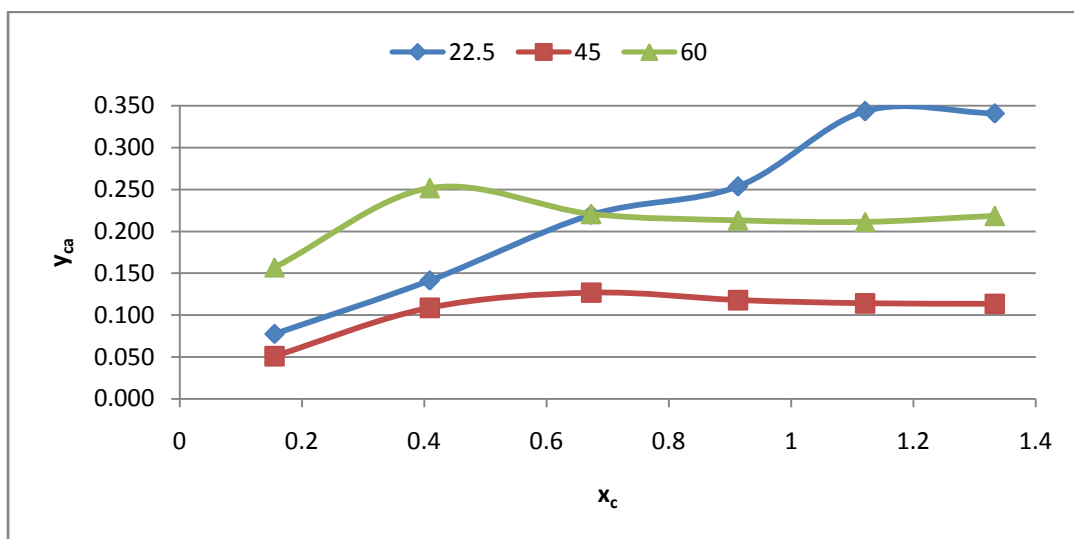
همانگونه که در جدول ۳-۵ و نمودار شکل ۲۱-۵ و ۲۲-۵ ملاحظه می شود، در باز شدگی٪ ۷۰ غلظت نسبی هوا در جریان در لبه دریچه ۲۲/۵ و ۴۵ و ۶۰ درجه در طول کanal با افزایش همراه است. تا طول نسبی ۱ در کanal پس از دریچه، با افزایش زاویه لبه دریچه از ۲۲/۵ به ۶۰ درجه غلظت نسبی هوا با افزایش همراه است در صورتی که بعد از طول نسبی ۱ در کanal از غلظت هوا کاسته شده است. جدول ۴-۵ و نمودار شکل ۲۳-۵ و ۲۴-۵ نتایج مدل در بازشدگی٪ ۵۰ را نشان می دهد.

جدول ۴-۵: تغییرات عمق نسبی آب و هوا در طول Mgra در باز شدگی٪ ۵۰

X	$y_w$	$x_c=x/y_w$	Y <sub>cw</sub>			Y <sub>ca</sub>		
			22.5	45	60	22.5	45	60
2.5	16.17	0.155	0.922	0.949	0.843	0.078	0.051	0.157
6.5	15.89	0.409	0.859	0.891	0.748	0.141	0.109	0.252
10.5	15.6	0.673	0.780	0.873	0.779	0.220	0.127	0.221
14	15.34	0.913	0.746	0.882	0.787	0.254	0.118	0.213
17.25	15.39	1.121	0.657	0.886	0.789	0.343	0.114	0.211
19.85	14.89	1.333	0.659	0.886	0.782	0.341	0.114	0.218
		average	0.770	0.895	0.788	0.230	0.105	0.212



شکل ۲۳-۵: نمودار تغییرات عمق نسبی آب در طول مGRA در بازشدگی ۵۰٪

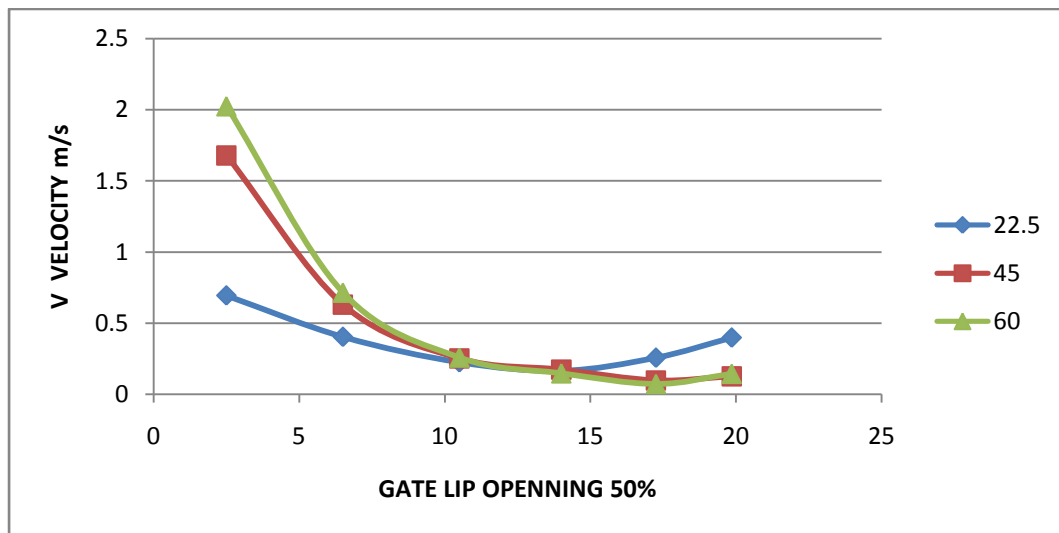


شکل ۲۴-۵: نمودار تغییرات عمق نسبی هوا در طول MGRA در بازشدگی ۵۰٪

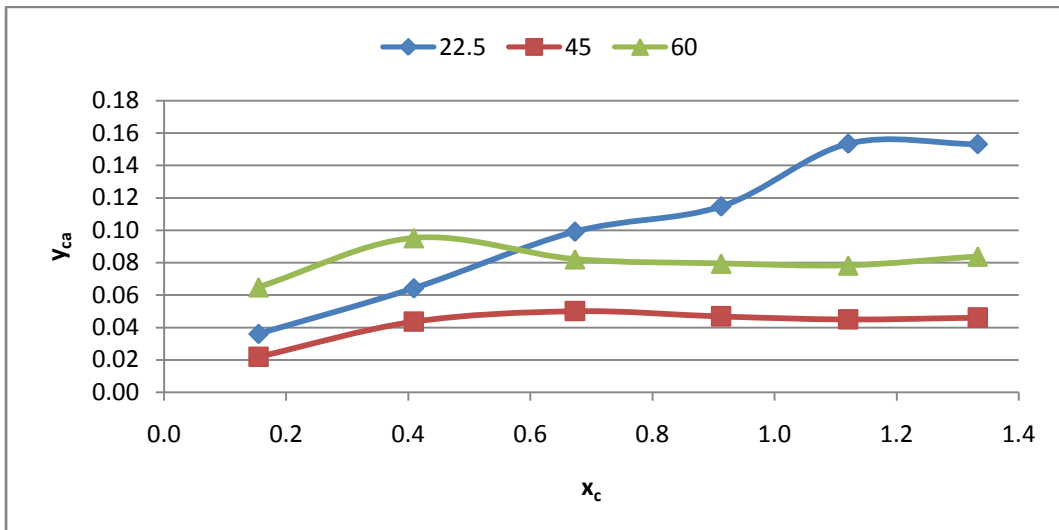
همانگونه که در جدول ۳-۵ و نمودار شکل های ۲۳-۵ و ۲۴-۵ ملاحظه می شود، در باز شدگی ۵۰٪ از طول نسبی  $0/6$  از لبه دریچه با زاویه  $22/5$  تا  $45$  درجه غلظت هوا در جریان کاهش یافته است و از زاویه  $45$  تا  $60$  درجه غلظت هوا افزایش پیدا کرده است و در لبه دریچه با زاویه  $60$  درجه از لبه دریچه با زاویه  $22/5$  درجه غلظت هوا بیشتر می باشد. در صورتیکه بعد از طول نسبی  $0/6$  در طول کanal غلظت هوا در لبه دریچه با زاویه  $60$  درجه از لبه دریچه با زاویه  $22/5$  درجه کمتر می باشد.

در ادامه سرعت قائم جریان پس از لبه دریچه با مقدار غلظت هوا در جریان مورد مطالعه قرار گرفته است. و نمودار این دو پارامتر با یکدیگر مقایسه شده است. آنچه که باعث ورود هوا به درون جریان آب می شود نوسانات قائم سرعت جریان آب است که افزایش آن باعث افزایش غلظت هوا در جریان می گردد.

با توجه به شکل ۲۵-۵ در بازشدگی ۵۰٪ ملاحظه می گردد که در نیمه اول تونل پس از لبه دریچه افزایش زاویه لبه دریچه باعث افزایش سرعت قائم جریان آب گردیده است و همین روند در شکل ۲۶ که بیانگر غلظت است مشاهده می شود. ولی در نیمه دوم ملاحظه می گردد که سرعت قائم در زاویه لبه دریچه ۲۲/۵٪ بیشتر است به همانصورت غلظت هوا در جریان بیشتر می باشد. ستون افقی نمودار شکل ۲۵-۵ و ۲۷-۵ فاصله افقی سطح جریان از زیر لبه دریچه بر حسب سانتیمتر می باشد و ستون قائم نمودار بیانگر سرعت ماکریم عمودی جریان در سطح پروفیل آب می باشد.

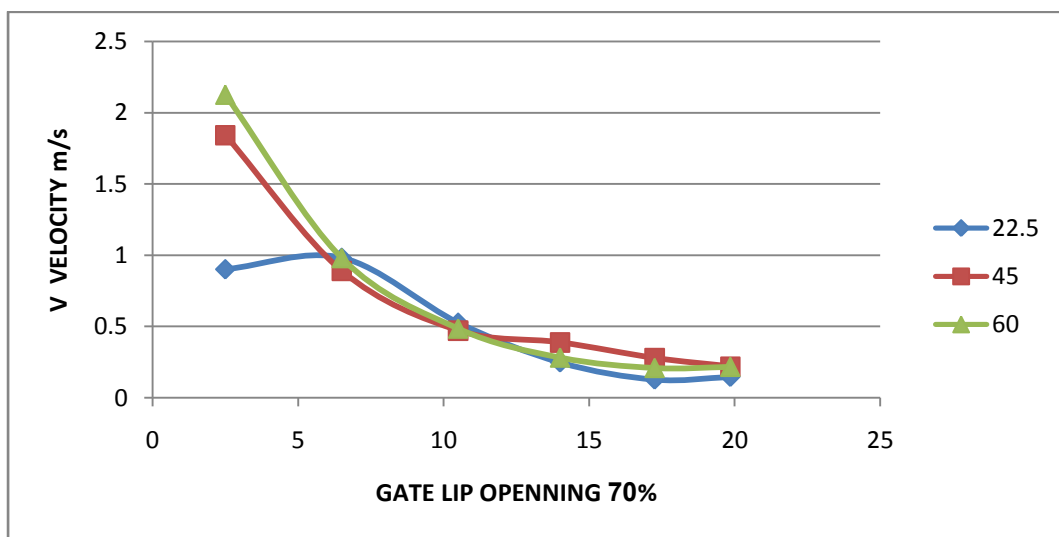


شکل ۲۵-۵: نمودار سرعت عمودی جریان آب در بازشدگی ۵۰٪

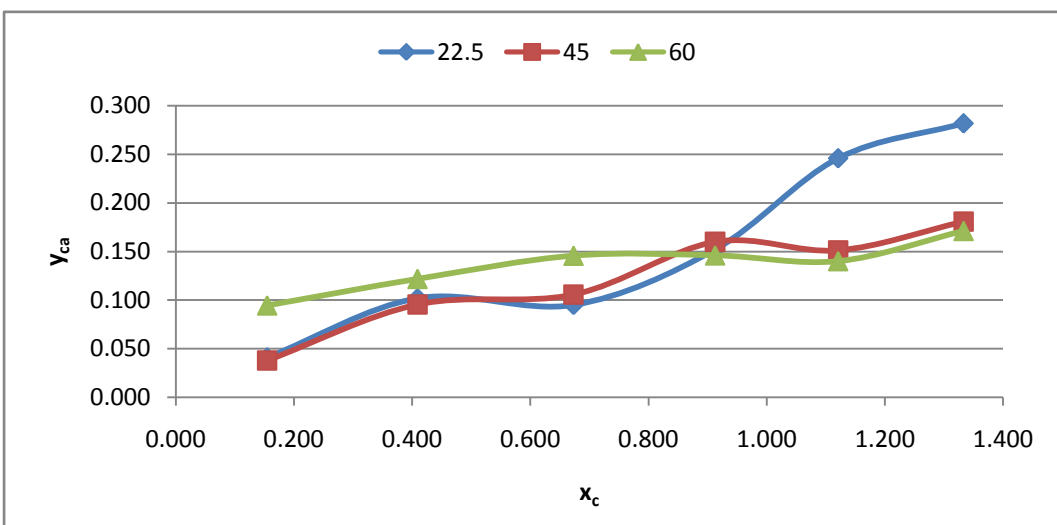


شکل ۲۶-۵: نمودار تغییرات عمق نسبی هوا در طول مجراء بازشدگی ۵۰٪

با توجه به شکل ۲۷-۵ در بازشدگی ۷۰٪ با افزایش زاویه لبه دریچه مقدار سرعت قائم افزایش یافته است و به همانصورت با توجه به شکل ۲۸-۵ مقدار غلظت جریان نیز افزایش داشته است.

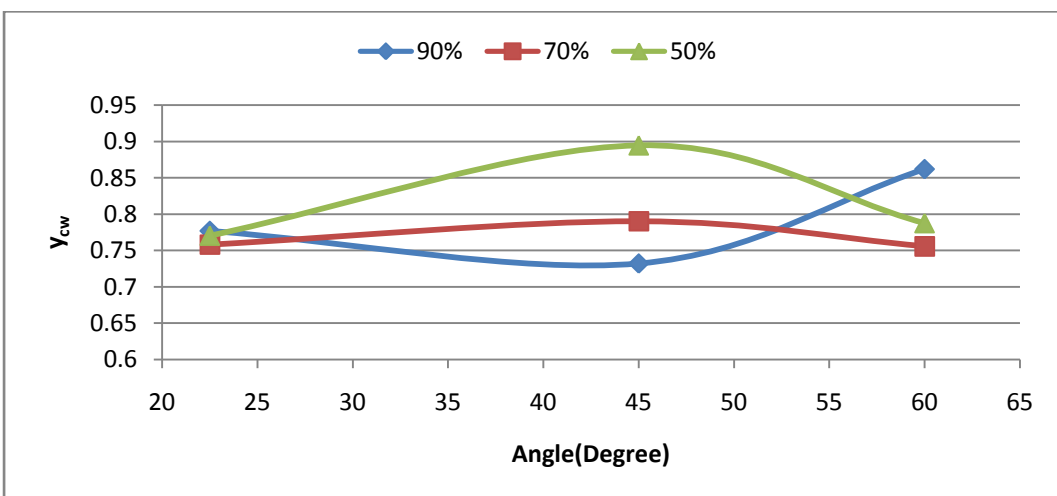


شکل ۲۷-۵: نمودار سرعت عمودی جریان آب در بازشدگی ۷۰٪



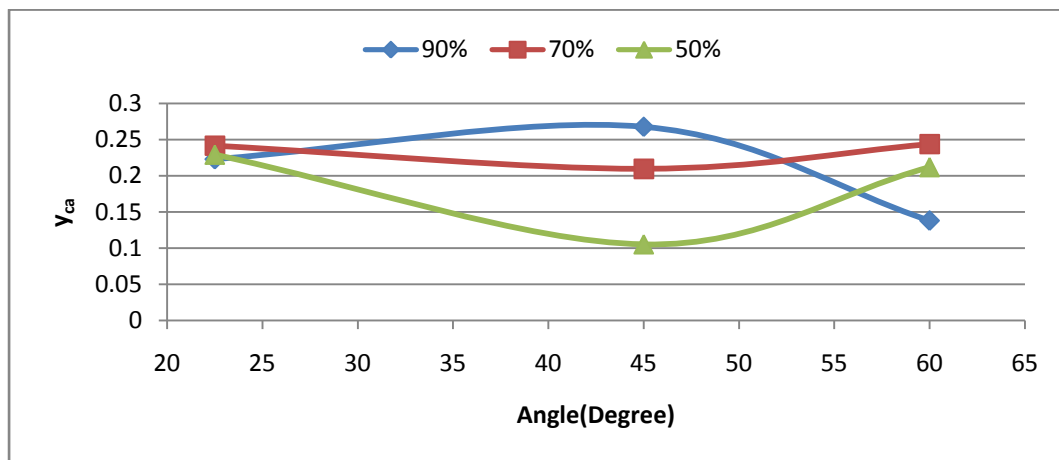
شکل ۲۸-۵: نمودار تغییرات عمق نسبی هوا در طول مجرا در بازشدگی٪ ۷۰

شکل های ۲۹-۵ و ۳۰-۵ بر اساس میانگین مقادیر  $y_{cw}$  و  $y_{ca}$  در سه نقطه در طول کanal محاسبه شده است. بنابراین هر نقطه روی این شکل ها معرف میانگین شش نقطه در طول کanal می باشد. با توجه به نمودار شکل ۲۹-۵ تغییرات برای عمق نسبی معادل آب مشاهده می شود و اثر تغییر زاویه در بازشدگی های مختلف دریچه بخوبی نشان داده شده است.



شکل ۲۹-۵: تغییرات عمق معادل آب با زاویه لبه دریچه در بازشدگی های مختلف

در نمودار شکل ۳۰-۵ تغییرات عمق معادل هوا در طول کanal برای زاویه و بازشدگی مختلف ملاحظه می شود. چنانچه مشاهده می شود با افزایش باز شدگی مقدار غلظت هوا افزایش پیدا کرده است. در بازشدگی ۵۰٪ و ۷۰٪ با افزایش زاویه لبه دریچه از ۲۲/۵ تا ۴۵ درجه غلظت جریان کاسته شده ولی با افزایش زاویه لبه دریچه از ۴۵ به ۶۰ درجه غلظت هوا افروده شده است در باز شدگی ۹۰٪ این روند متفاوت بوده و ابتدا با افزایش زاویه لبه دریچه از ۲۲/۵ به ۴۵ درجه غلظت هوا افزوده می شود و از لبه دریچه ۴۵ تا ۶۰ درجه مقدار غلظت هوا کاسته شده است.



شکل ۳۰-۵: تغییرات عمق معادل هوا با زاویه لبه دریچه در بازشدگی های مختلف

### ۳ - ۵ - ارائه نتایج سرعت هوا در هواده

در مدل فیزیکی سرعت هوا در تمام آزمایش ها با بازشدگی و هدهای مختلف اندازه گیری شد. هواده مدل آزمایشگاهی یک لوله دایره ای به قطر ۲ سانتیمتر بوده است. لذا در مدل عددی ورودی هوا به عرض ۲ سانتیمتر مدل شده است. نتایج مدل آزمایشگاهی در جدول ۵-۵ نشان داده شده است.

جدول ۵: تغییرات سرعت و دبی هوا در هواده های تخلیه کننده تحتانی در هد و بازشدنی های مختلف

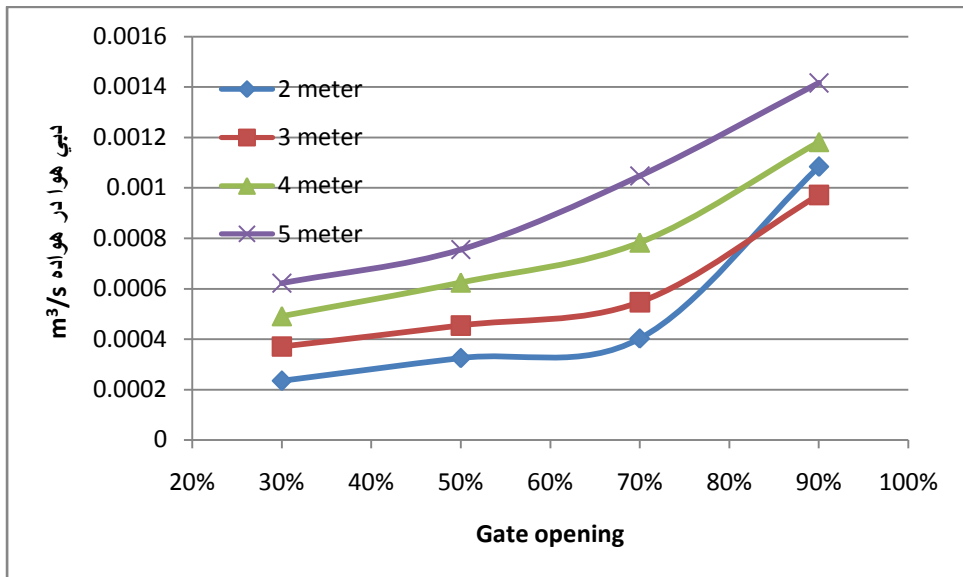
water head m	Gate Opening	speed of air (m/s)			Qa(m <sup>3</sup> /s)
		Left aerator	Right aerator	average	
2	90%	3.32	3.58	3.45	0.00108
2	70%	1.26	1.3	1.28	0.0004
2	50%	0.97	1.1	1.035	0.00032
2	30%	0.77	0.72	0.745	0.00023
3	90%	3.1	3.09	3.095	0.00097
3	70%	1.74	1.74	1.74	0.00055
3	50%	1.52	1.37	1.445	0.00045
3	30%	1.25	1.11	1.18	0.00037
4	90%	3.63	3.9	3.765	0.00118
4	70%	2.39	2.6	2.495	0.00078
4	50%	1.88	2.1	1.99	0.00062
4	30%	1.63	1.5	1.565	0.00049
5	90%	4.54	4.48	4.51	0.00142
5	70%	3.47	3.2	3.335	0.00105
5	50%	2.42	2.39	2.405	0.00076
5	30%	1.99	1.97	1.98	0.00062

شكل ۳۱-۵ تغییرات سرعت هوا در هواده را نشان می دهد. روند تغییرات افزایشی سرعت با بازشدنی

دریچه و هد کاملا مشهود می باشد. همانطور که در شکل مشاهده می شود، با افزایش باز شدنی بر

میزان دبی در هواده افزوده می شود و این سیر در همه هدها تکرار می شود. همچنین با افزایش هد

آب در اکثر بازشدنی ها سرعت هوا افزایش یافته است.

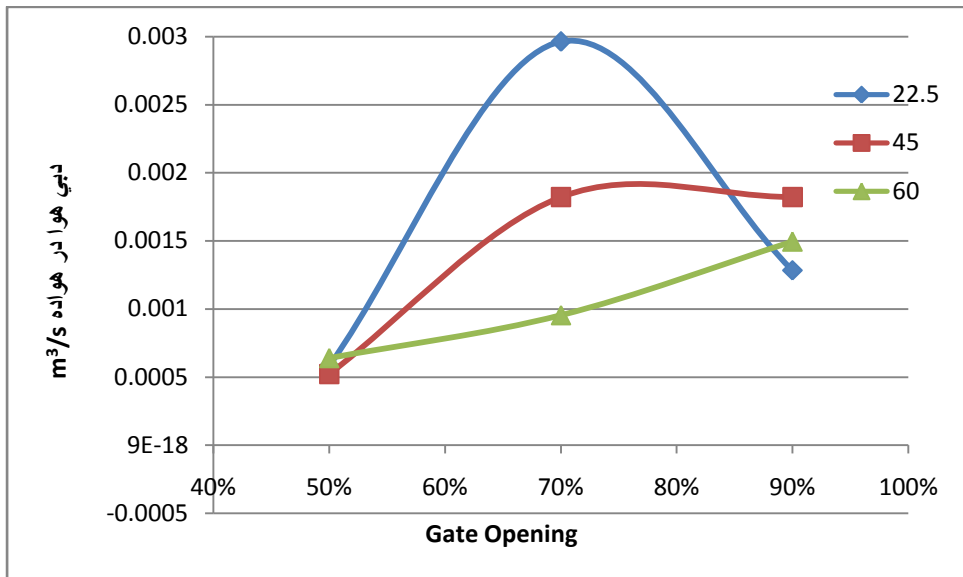


شکل ۳۱-۵: تغییرات دبی هوا در هواده با هد و بازشدگی دریچه

در مدل عددی تحقیق حاضر سرعت هوا در هواده با هد ۲ متر بررسی گردیده است. در جدول ۶-۵ حداکثر سرعت هوا در هواده برای تستهای مختلف ارائه شده است. شکل ۳۲-۵ نیز تغییرات دبی هوا در هواده را بر حسب درصد بازشدگی دریچه برای زاویه های مختلف لبه دریچه نشان می دهد.

جدول ۶-۵: تغییرات دبی هوا در هواده دریچه تحتانی با بازشدگی و هد

Gate Lip	22.5	45	60
Opening	Qa ( $m^3/s$ )		
50%	0.00058	0.00052	0.00064
70%	0.00296	0.00182	0.00095
90%	0.00128	0.00182	0.0015



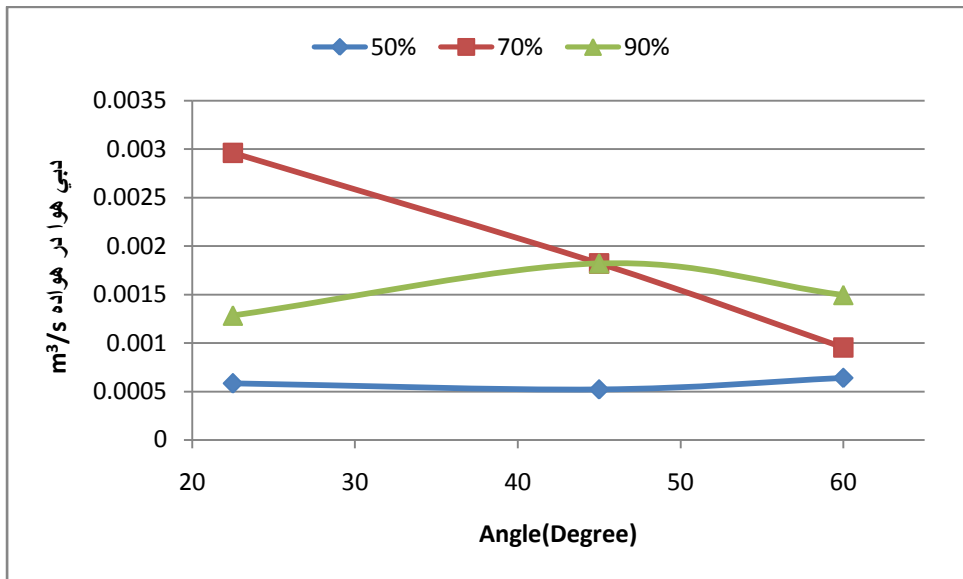
شکل ۳-۵ نتایج عددی تغییرات دبی هوا در هواده دریچه تحتانی با بازشدگی و هد

در این شکل ملاحظه می شود که در زاویه  $22.5^\circ$  درجه، با افزایش بازشدگی از  $50\%$  تا  $70\%$  دبی هوا در هواده افزایش یافته است. بعد از بازشدگی  $70\%$  دبی هوا در هواده کاهش می یابد. در دریچه های با زوایای  $45^\circ$  و  $60^\circ$  درجه با افزایش بازشدگی دریچه دبی هوا در هواده بطور نسبی افزوده می شود. در نتیجه دیده می شود که زاویه لبه دریچه در بازشدگی  $70^\circ$  درصد بیشترین تأثیر را بر دبی هوا در هواده دارد.

. در جدول ۷-۵ و شکل ۳-۵ نتایج دبی هوا در هواده برای زاویه های مختلف در بازشدگی های مختلف نمایش داده شده است.

جدول ۷-۵: تغییرات دبی هوا در هواده دریچه تحتانی با بازشدگی و زاویه های مشخص شده

Gate Lip	Opening		
	50%	70%	90%
22.5	0.00058	0.00296	0.00128
45	0.00052	0.00182	0.00182
60	0.00064	0.00095	0.0015



شکل ۳۳-۵: تغییرات دبی هوا در هواده با بازشدگی و زاویه های مشخص شده

آنگونه که در شکل ۳۳-۵ مشاهده می شود شرایط افزایش میزان دبی هوا در هواده برای هر کدام از باز شدگی ها مختلف می باشد. برای باز شدگی ۵۰٪ با افزایش زاویه لبه دریچه دبی هوا در هواده ابتدا کمتر شده و در نهایت افزایش می یابد و می توان گفت تغییرات اندکی در کل گراف مشاهده می شود. در باز شدگی ۷۰٪ با افزایش زاویه لبه دریچه مشاهده می شود که افت شدیدی در دبی هوا در هواده رخ می دهد. و این شرایط در کل این باز شدگی ثابت است. در باز شدگی ۹۰٪ مشاهده می شود که با افزایش زاویه لبه دریچه ابتدا بر میزان دبی هوا در هواده افزوده و سپس با افت دبی هوا در هواده مواجه می شود. البته ذکر این نکته ضروری است که اگرچه سرعت هوا در هواده بعنوان معیاری از هواده می توجه می باشد، ولی با توجه به افزایش دبی هوا و ضخامت تیغه آب، نسبت دبی هوا به دبی آب معمولاً بعنوان پارامتر موثر در بحث هواده مورد عنایت طراحان می باشد.

# فصل ششم

## ۶ - فصل ششم : جمع بندی و پیشنهادات

### ۶ - مقدمه

برای تحقق اهداف مورد نظر این پایان نامه، ابتدا با استفاده از مدل آزمایشگاهی موجود در مؤسسه تحقیقات آب ایران (مدل آزمایشگاهی با مقیاس ۱:۱۰ سد مخزنی ژاوه) آزمایشات مورد نظر انجام شده است. پس از تستهای آزمایشگاهی که توسط نگارنده به انجام رسید اقدام به شبیه سازی مدل عددی با استفاده از نرم افزار FLUENT گردید. مدل عددی اولیه مدلی با شرایط شکل لبه دریچه در مدل آزمایشگاهی بوده است و با استفاده از نتایجی که از مدل آزمایشگاهی حاصل شده است نتایج مدل سازی عددی کالیبره شده و بهترین نوع مش بندی و روش های حل معادلات میدان جریان و فشار و همچنین مدل آشفتگی، انتخاب شده است. پس از آنکه مدل عددی با زاویه لبه دریچه مطابق با مدل آزمایشگاهی سد ژاوه کالیبره شد ، لبه های مختلف دیگر با زاویه های ۴۵ و ۶۰ درجه مدل سازی گردید.

در مشبندی همانگونه که در جداول ۱-۴ و ۲-۴ مشخص شده است درصد اختلاف بین مش بندی با تعداد کمتری مش در مدل ۱ با مدل ۲ با تعداد بیشتر مش در حدود ۲/۸۳٪ شده است. این مقدار اختلاف بیش از مقدار ۵٪ اختلاف مجازیست که توصیه می شود. بنابراین با توجه به تعداد بسیار زیاد مش در مدل ۲، مبادرت به تولید مدل ۳ با تعداد مش کمتر از مدل ۲ و تعداد مش بیشتر از مدل ۱ شد. در مدل ۳ تعداد مش در کناره مرزها دارای اندازه ریزتری نسبت به مش مدل ۱ هستند تا مدل قابلیت بهتری را داشته باشد. نتایج مدل ۲ و مدل ۳ دارای اختلاف نسبی برابر با ۴٪ می باشد که قابل قبول می باشد. در نتیجه برای مدل سازی در این تحقیق از مشهایی با این نوع خصوصیت یعنی ریز تر در کناره دیواره استفاده شد. در این تحقیق برای مدل سازی جریان آشفته از روش مدل سازی آشفتگی تنش رینولدز (Reynolds Stress) استفاده و مشاهده گردید که نتایج این مدل آشفتگی با مدل آزمایشگاهی دارای تطابق بسیار خوبی می باشد. در حل میدان جریان سرعت و فشار نتایج روش

حل PISO با نتایج مدل آزمایشگاهی از روش حل Simple دارای تطابق مناسبتری می باشد. برای بدست آوردن نتایج بهتر با کوچکتر کردن شبکه مش بندی مدل در نقاط حساس و همچنین در کناره های دیوار تلاش گردید نتایج بهتری بدست آید. در ادامه شرایط مدل عددی برای زاویه  $22/5$  درجه با مدل آزمایشگاهی کنترل شده و سپس مدل های دیگر با زاویه های  $45$  و  $60$  درجه و هد  $2$  متر و بازشدگی  $50\%$  و  $70\%$  و  $90\%$  مدل سازی شد تا تاثیر زاویه لبه دریچه بر توزیع غلظت هوا در پائین دست دریچه ها ارزیابی گردد. جمع بندی نتایج حاصل به شرح زیر می باشد.

## ۶ - جمع بندی و نتیجه گیری

- در بازشدگی  $50\%$  میانگین اختلاف نتایج فشار آزمایشگاهی و عددی  $10/42$ ٪ و در بازشدگی  $70\%$  برابر  $7/75$ ٪ و در بازشدگی  $90\%$  معادل  $10/9$ ٪ است. میانگین سه حالت برابر  $9/69$ ٪ می باشد.
- بر اساس نتایج حاصل روند صعودی و نزولی مقادیر فشار پیزومتریک در دو حالت عددی و آزمایشگاهی همخوانی بسیار خوبی را نشان داده است.
- در تمام مدل ها، با افزایش زاویه لبه دریچه ارتفاع عمق نسبی آب با غلظت  $50\%$  کاهش می یابد.
- در باز شدگی  $90\%$  حداقل غلظت نسبی هوا در لبه دریچه با زاویه  $45$  درجه اتفاق می افتد و کمترین مقدار غلظت نسبی هوا در لبه دریچه با زاویه  $60$  درجه می باشد.
- در باز شدگی  $50\%$  حداقل غلظت نسبی هوا در لبه دریچه با زاویه  $22/5$  درجه اتفاق می افتد و کمترین مقدار غلظت نسبی هوا در لبه دریچه با زاویه  $45$  درجه می باشد.

- زاویه  $60^{\circ}$  درجه در بازشدگی های نزدیک  $50\%$  و زاویه  $45^{\circ}$  درجه در بازشدگی های نزدیک  $90\%$  که اهمیت بیشتری دارد منجر به افزایش میزان نفوذ هوا به داخل آب گردیده است. بنابراین در جمع، زاویه  $45^{\circ}$  درجه از نقطه نظر هیدرولیکی توصیه و مناسب تشخیص داده می شود.
- در بازشدگی های  $50\%$  و  $90\%$  تغییر اندازه زاویه لبه دریچه تأثیر چندانی بر میزان دبی هوا در هواده ندارد. ولی در باز شدگی  $70\%$  با افزایش زاویه لبه دریچه میزان دبی هوا در هواده کاهش می یابد. به نظر می رسد علت این امر انحنای خطوط جریان بعد از لبه دریچه می باشد که باعث ایجاد توربولنس بیشتر می گردد.

### ۶ ۳ - پیشنهادات :

- در راستای ارتقای نتایج حاصل از این تحقیق موارد زیر پیشنهاد می گردد :
- آزمایشات لازم بیشتری با بازشدگی های مختلف و هدهای مختلف انجام شده و تغییرات غلظت هوا در طول مجراء اندازه گیری شود و سپس مدل عددی برای شرایط فوق دوباره کالیبره شود.
  - آزمایشات و شبیه سازی عددی با زوایای متفاوت دیگری از صفر تا  $90^{\circ}$  درجه انجام شده و نتایج مورد ارزیابی قرار گیرند.
  - در طول تونل بعد از دریچه به بررسی تأثیر شکل لبه دریچه بر میزان هوادهی و تغییرات غلظت جریان در فواصل مختلف انجام شود. این کار با تونل های با طول های مختلف جهت ارزیابی پارامتر طول تونل انجام پذیرد تا تأثیر آن بر میدان نیز ملاحظه شود.
  - در کنار پارامترهای مطرح هیدرولیکی، تأثیر هندسه مجراء بر عملکرد لبه دریچه حائز اهمیت بوده که توصیه می گردد مورد توجه قرار گیرد.

- با توجه به تاثیر همه این عوامل بر کاویتاسیون، در نهایت ارزیابی وقوع کاویتاسیون بر میدان ایجاد شده ناشی از اختلاط آب و هوا مدنظر قرار گیرد.
- با توجه به شرایط پائین دست مجا بر عملکرد آن، این تاثیر بخصوص در اندرکنش با تاثیر لبه دریچه مورد توجه قرار گیرد.
- کاربرد مدل های مطرح دیگر در کنار مدل حاضر امکان ارزیابی آنها را فراهم نموده و کاستی ها و توانمندی های این مدل ها پیش روی طراحان قرار می دهد.

## ۷ - مراجع

---

- (۱) راهنمای طراحی و بهره برداری تخلیه کننده های تحتانی مخازن سدها، استاندارد مهندسی آب، مؤسسه تحقیقات آب ، وزارت نیرو.
- (۲) میری، م، ۱۳۸۸، پایان نامه ارشد، بررسی عددی و آزمایشگاهی عملکرد هواده ها در سرریز های آزاد، دانشکده عمران، دانشگاه صنعتی خواجه نصیرالدین طوسی.
- (۳) Speerli and Hager, W.H., "Air water flow in bottom outlets". Canadian journal of civil Engineering, Vol.27, (2000)
- (۴) Falvey, H.T.(1980), "Air water flow in Hydraulic structures", USBR Engrg. Monograph, No. 41, Denver, Colorado, USA.
- (۵) Peterka A.J., The effect of entrained air on cavitations pitting , Proceeding of Minnesota International Hydraulic Convection, USA,(1953).
- (۶) Kavianpour, M.R. (1997), " The Reattaching Flow Downstream of Deflectors Including the Effect of Air Injection", A thesis submitted to the University of Manchester Institute of Science and Technology for the degree of PhD.
- (۷) Kavianpour, M.R. (2000), "Statistical Characteristics of Pressure Fluctuations Downstream Of Deflectors", 8<sup>th</sup> Int. Symp. On Stochastic Hydraulics, Beijing, china.
- (۸) Falvey, H.T.(1990), "Cavitation in Chutes and Spillways", USBR Engrg. Monograph, No. 42, Denver, Colorado, USA.
- Falvey, H.T.(1980), "Air water flow in Hydraulic structures", USBR Engrg. Monograph, No. 41, Denver, Colorado, USA.
- (۹) Harshbarger, E. D., Vigander, s., Hecker G. E., "Air Entrainment in High Head gated Conduits", Discussion of paper by H. R. Sharma, Proc., Am. Soc. Civ. Eng., vol. 93, No. HY12, pp. 1486-1489, December 1977.
- (۱۰) Sikora, A., "Zavdusnenie Sachtovych Priepadov," Vyskumny Ustav Vodohospodarsky, Bratislava, Prace a studie 37, p. 112, (Air Entrainment in Shaft Spillways, Czechoslovakia), 1965.
- (۱۱) Kalinske, A.A., Robertson, J.M. (1943). Closed conduit flow. Transactions, ASCE, 108, 1435-1447.

- (۱۲) Sharma, H.R., (1976). Air-Entrainment in high head gated conduits. *Journal of the Hydraulics Division, Proceedings of the American Society of Civil Engineers*, 102(HY11), 1629-1646.
- (۱۳) U.S. Army Corps of Engineers, 1964. *Air-demand Regulated Outlet Works. Hydraulic Design Criteria, Chart 050-1*.
- (14) Oliveto G., Biggiero V., and Hager W.H., Botto, outlet for sewers, *Journal of Irrigation and Drainage*, (1997).
- (۱۵) Boes, R.M., and Hager, W. H., (2003a). "Two-Phase Flow Characteristics of Stepped Spillways," *ASCE Journal of Hydraulic Engineering*. September 2003, pp. 66 1-670.
- (۱۶) Boes, R.M.. Hager, W.H., (2003b). "Hydraulic Design of Stepped Spillways". *ASCE, Journal of Hydraulic Engineering*. 129(9), September, pp. 671-679.
- (17) Shamsai A., soleymanzadeh R., Numerical simulation of Air-water flow in bottom outlet , *International Journal of Civil Engineering*. Vol.4, No.1 March (2006).
- (۱۸) معظمی ، ص. ۱۳۸۶ ، پایان نامه ارشد، تحلیل عددی جریان دو فازی آب و هوا در تونل های تخلیه کننده تحتانی، دانشکده عمران، دانشگاه صنعتی خواجه نصیرالدین طوسی.
- (19) Najafi M.R., Roshan R., Zarrati A.R., Kavianpour M.R., Numerical modeling of flow condition in a bottom outlet , 16th IAHR-APD & 3rd IAHR-ISHS (2008).
- (۲۰) حسینی س.ا، حبیبی م، پاره کار م، بررسی وقوع پدیده کاویتاسیون در مجرای تخلیه کننده تحتانی سدها (مطالعه موردي تخلیه کننده تحتانی سد نرماشیر)، هشتمین کنفرانس هیدرولیک ایران، دانشگاه تهران، (پاییز ۱۳۸۸).
- (۲۱) حسینی س.ا، صانعی م، پاره کار م، حبیبی م، مطالعه آزمایشگاهی ارتعاشات و نیروهای وارد بر دریچه های سرویس و اضطراری در مجرای تخلیه کننده سدها (مطالعه موردي تخلیه کننده تحتانی سد نرماشیر)، مجله علمی کشاورزی علوم و مهندسی آبیاری، انتشارات دانشگاه شهید چمران، جلد سی و سوم شماره ۱۳۸۹ ، (۱۳۸۹).
- (۲۲) نوذری، ن، ۱۳۸۸، پایان نامه ارشد، بررسی آزمایشگاهی و عددی جریان دو فازی در تونل تخلیه کننده تحتانی سدها، دانشکده عمران، دانشگاه صنعتی خواجه نصیرالدین طوسی.

(۲۳) حسینی، م، کاویانپور، م، ر، بررسی خصوصیات جریان دو فازی بر روی سریز پلکانی (مطالعه موردی: سریز سیاه بیشه)، پنجمین کنگره ملی مهندسی عمران، دانشگاه فردوسی مشهد، ۱۳۸۹.

(۲۴) مشتاقیان، آ، کاویانپور، م، ر، بررسی مکانیزم هواگیری در سریزهای پلکانی، هفتمین کنفرانس هیدرولیک ایران، دانشگاه صنعت آب و برق (شهید عباسپور).

(۲۵) امامی، م، ک، کاویانپور، م، ر، بررسی عددی تأثیر ورود ذرات معلق غیرچسبنده در جریان در تخلیه کننده تحتانی سد ها، ششمین کنگره ملی مهندسی عمران، دانشگاه سمنان، ۱۳۹۰.

(۲۶) غزالی ف، صالحی نیشابوری ع، محمد رضا کاویانپور، بررسی عددی تأثیر هندسه مجراء بر میدان فشار پیرامون دریچه های تحتانی، انجمن هیدرولیک ایران، دهمین کنفرانس هیدرولیک ایران، دانشگاه گیلان، (۱۳۹۰)

(۲۷) منظمی، م، پایان نامه ارشد، بررسی عددی و آزمایشگاهی تاثیر شکل لبه دریچه بر میدان جریان پایین دست دریچه های تحتانی، دانشکده عمران، دانشگاه صنعتی شاهرود.

Novak, P. and Cabelka. (1981) "Models in Hydraulic Engineering ." Pitman (۲۸) advanced Publishing Program, London.

(۲۹) مقصومی، ۱۳۸۹، گزارش اولیه مدل هیدرولیکی تخلیه کننده تحتانی و حوضچه آرامش سد مخزنی ژاوه، مؤسسه تحقیقات آب ایران، گروه سازه های هیدرولیکی.

(۳۰) مقیمی، م، پایان نامه ارشد، بررسی پارامترهای هیدرولیکی و خلازایی جریان بر روی سریزهای تندآب و پایانه های کاهنده انرژی، دانشکده عمران، دانشگاه صنعتی خواجه نصیرالدین طوسی.

(۳۱) وايت ، ا ، ف.، (۱۳۸۲) " مکانیک سیالات . " موسوی نسب ، ک . مترجم ، جلد اول

(۳۲)Yakhot, V. and Orszag, S.A. (1986) "Renormalization Group Analysis of Turbulence." I. Basic Theory. Journal of Scienti\_Computing,11-51.

(۳۳) Launder , B.E. and Spalding, D.B. (1972)." Lectures in Mathematical Model of Turbulence. " Academic Press, London, England.

(۳۴) Henkes, R.A.W.M. and Van Der Flugt, F.F. and C.J. (1991) . | Hoogendoorn Turbulence Models." Int. J. Heat Mass Transfer, 34:1543-1557.

(۳۵) Manual Fluent 6.1. "Overview of Numerical Schemes." Vol 3, 17-1-1,17-1-2

- (۳۶) هافمن.ک.، ۱۳۷۷، " دینامیک سیالات محاسباتی" ترجمه، دکتر احمد رضا عظیمیان
- (۳۷) Patankar, S.V,(1980) "Numerical Heat transfer and Fluid Flow." Hemi-sphere Washington, D.C.
- (۳۸) Barth, T.J. and Jespersen , D. (1989) " The design and application of up-wind schemes on unstructured meshes."Technical Report AIAA-89-0366, AIAA 27 th Aerospace Sciences Meeting , Reno, Nevada.
- (۳۹) Vandoormaal, J. P. and Raithby, G. D. (1984) "Enhancements of the SIM-PLE method for Predicting Incompressible Fluid Flows."
- (۴۰) امامی، م، ۱۳۸۹، پایان نامه ارشد، تحلیل عددی جریان رسوب در توپل تخلیه کننده تحتانی سدها، دانشکده عمران، دانشگاه صنعتی خواجه نصیرالدین طوسی.
- (۴۱) Hirt C. W. and Nichols, B. D. (1981) "volume of Fluid (VOF) Method for the dynamics of free Boundaries." J. Comput. Phys., 39:201-225.

## Abstract

Outlet gates have attracted a great attention in dam engineering and related industry. In this regard, the tasks of many investigations are focused on providing the discussion and solutions of related problems for such structures. Increasing the velocity and pressure reduction are the common problems in high head conduits, which lead to cavitation formation. Cavitation is the main factor of sever damages in outflow tunnels downstream of gates; therefore, it is necessary to decrease or eliminate its destructive impacts on the structures. Previous investigations have shown that air entrainment into the flow reduces cavitations damages; thus, aeration just downstream of the gates by air vents has become a common solution for such problem.

The main aim of this research is to study the effects of gate lip on aeration process and its distribution downstream of the gates. The effect of gate lip is examined experimentally, and then is supported by numerical simulation. A physical model was constructed at Water Research Institute of Iran and examined with gate openings of 50%, 70% and 90% with the gate lip angel of  $22.5^\circ$ , and water head of 2m. Then, a numerical model was provided and calibrated by experimental results. The model was used to simulate the lip angles of  $45^\circ$  and  $60^\circ$  degrees to check its impact on the aeration mechanism. The results showed the reasonable agreements between the numerical and experimental information. It is also concluded that, increasing the gate lip angle changes the flow characteristics and thus, the air density downstream of outlet gates.

Keywords: Gate Lip Angle, Aeration, Cavitation, Numerical Model, Physical Model.